



الجمهورية العربية السورية

جامعة دمشق

كلية طب الأسنان

قسم تعويضات الأسنان الثابتة

مقارنة الانطباق الحفافي للقبعات الزركونية المصنعة

بطريقة *Slip-cast* و *CAD\CAM*

دراسة سريرية ومخبرية

Comparison the marginal fit of zirconium coping fabricated by CAD\CAM and Slip-cast techniques

In-Vivo and In Vitro studies

أطروحة قدمت إلى جامعة دمشق لنيل درجة الدكتوراه

في قسم تعويضات الأسنان الثابتة

إعداد الباحث

ماهر قصبة

إشراف الأستاذ المساعد الدكتور

إياد سويد

دكتوراه

2015هـ/1436م

جامعة دمشق

مجلس البحث العلمي والدراسات العليا

القرار رقم ٢٨٧/٢٠١٤/١٢/٢٩

الدارسون: ٢٠١٤/١٢/٢٩

السيد الأستاذ الدكتور محمد كلية طب الأسنان

نقدم في هذه نسخة من القرار رقم ٢٨٧/٢٠١٤/١٢/٢٩ / الذي أخذ مجلس البحث العلمي والدراسات العليا في جلسته رقم ١٨ / التي انعقدت بتاريخ ٢٠١٤/١٢/٢٩ في شأن تأليف بحثة الحكم على رسالة الدكتوراه للطالب ماهر قصبة .

علمياً يأن ملة جامعة البعث قد وافقت في كتابها رقم ١٥٤٢ / بتاريخ ٢٠١٤/٧/١٧ ورقم ١٧٣٦ / بتاريخ ٢٠١٤/١٢/٢٢ على نشر البحثين المقددين من الطالب .

يرجى الاطلاع وإجراء المختاري

دمشق في ساس

طالب رئيس جامعة دمشق لشؤون البحث العلمي والدراسات العليا
رئيس مجلس البحث العلمي والدراسات العليا

الأستاذ الدكتور جمال العباس

صورة إلى :

السيد الأستاذ الدكتور وزير التعليم العالي

ديوان الكلية (صاحب العلاقة)

مجلس البحث العلمي والدراسات العليا

فَرَار لجنة الحكم على رسالة دكتوراه

الأدبية - إيمان الزملاء

قرار لجنة حكم

بيان على قرار مجلس الشورى العلمي في جامعة دمشق رقم /٨٨٧/ تاريخ ٢٠١٤/١٢/٩٩ المتقد باللحنة رقم /٨/ بالموافقة على تأليف لجنة الحكم على رسالة الدكتوراه للسيد الباحث ماهر قصبة

- ١- الاستاذ الدكتور ملدي الشعراوي
 ٢- الاستاذ المساعد الدكتور ابراهيم سعيد
 ٣- الاستاذ المساعد الدكتور محمد نسمة الجبن
 ٤- الاستاذ المساعد الدكتور جهاد ابو نصار ((عضواً))
 ٥- الاستاذ المساعد الدكتور خليل عزيزة ((عضواً))

وقد أتت مناقشة هذه الأطروحة والاطلاع عليها والنتائج عنها بحضور أستاذة وطلاب الدراسات العليا في كلية طب الأسنان وعدد من المهتمين بالبحث العلمي، وذلك في تمام الساعة العاشرة صباحاً من يوم الثلاثاء الواقع في ١٥/١٣/٢٠١٤م على درج كتبة طب الأسنان بجامعة دمشق.

عنوان البحث

مقدمة الانطلاق الحديث للتحولات إلى كوتني المصنفة بعد بقية

Slip-Casting & CAD/CAM

دعاية واعلام

وبعد أن كثارت اللجة في تقويم الأذروحة و الدقاع عنها، فقد فررت اللجة بالإجماع ما يلي :

- ١- منح السيد الباحث ماهر قصبة ابن طوري مواليت اللقب ١٩٧٧م بدرجة الدكتوراه في اختصاص توعيّضات الأسلان الثانية بتلر، عالمة فخرها سكينة

٢- يرجو هذا القرار إلى المجالس المختصة للحصولة عليها أصولاً

الأستاذ الدكتور
فؤاد الشعراوي

الأستاذ الدكتور
خليل عزيمة

د. المساعد الدكتور
مختار سعيد

ستاد المساعد الثالث
جهاد ابو نصار

الأستاذ المساعد الدكتور
محمد إسماعيل الجبان

جامعة المنصورة

" لا يوجد أيٌ جزءٌ من هذه الأطروحة تم أخذها بشكلٍ كاملٍ

من عملٍ آخر أو أنجز للحصول على شهادةٍ أخرى في

هذه الجامعة أو أية جامعةٍ أخرى أو أيٌ معهدٍ تعليميٍّ"

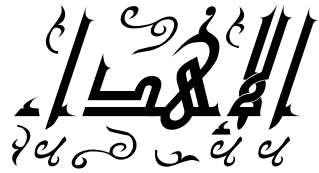
بِسْمِ اللَّهِ الرَّحْمَنِ الرَّحِيمِ

﴿قَالُوا سُبْحَانَكَ لَا عِلْمَ لَنَا إِلَّا مَا

عْلَمْتَنَا إِنَّكَ أَنْتَ الْعَلِيمُ الْحَكِيمُ﴾

بِسْمِ اللَّهِ الرَّحْمَنِ الرَّحِيمِ

"سورة البقرة - آية 32"



DEDICATION

كما هي طيور النورس تلوح في الأفق

ها هو الشاطئ يتلور رويداً رويداً

نعم لقد قاربت رحلتنا على النهاية وها نحن نستعد لإنزال الشراع

ها نحن نعْنِي النظر في آخر صفحات الطريق والهفة تقودنا

والذكرى عينا والعلم هدانا

بطاقة شكر وتقدير وباقية ورد عربون مودة واحترام . . . ومحبة

إلى من تكرم علي وأشرف على بحثي وقدم لي المساندة ومنحني من
وقته وعلمه الكثير كما أولائي الرعاية والعون وسارعي خطوة بخطوة دون أن
يخل علي بعرفته وجهه وكان لي الأخ النصوح الصديق الوفي

إلى أ.م.د إيهاد سعيد

إلى قيارة الحنان ونبع الحب والجمال ورحمة لي من الله تعالى
إلى من أوصانا الله ورسوله صلى الله عليه وسلم ببرها
إلى من جعل الله الجنة تحت قدميها
إلى الحضن الدافئ الذي أتجه إليه في كربتي بعد الله تعالى ...
إلى من سهرت كي أنام وجعلت نفسها ظلاماً تظليني وأرضاً تقلني ...
إلى من كانت دعواتها توفيقاً لي من الله تعالى
أسائل الله تعالى أن يحفظها من كل سوء

أمِي الغالية

إلى من زرع في قلبي حب العلم والمعرفة
فكان همه الوحيد نجاحنا وتفوقنا

أبي الغالي

إلى من كتبتُ على أوراق الخريف اسمها وفي قلبي حفرتها ...
على الصخر نقشتها
على القمر علقتها
وفي كتب التاريخ حفظتها
و فوق أشجار الميلاد زينتها
وعلى لسانني ردتها

زوجتي الغالية

حبيبتى

إلى ملائكة الله على الأرض

ونعمة الله من السماء

إلى الأمل الجديد الذي سطع بحياتي

إلى نور عيوني ونبض قلبي وروح حياتي

أولاده

فيها، حمورابي

إلى من يمنى لي السعادة وقلبه يهتف بالدعاء

إلى من تعلم منهم كيف أشق طرقني في الصخر بصمت وصبر

إلى من يمنى لي دائمًا أعلى مراتب العلم

والد ووالدة حبيبتي

م. طراف وفدياء

إلى المرأة الوحيدة التي تستحق الحب والتضحية

إلى القلب الذي ما عرف بضمًا إلا المذاق

إلى بريق عينيك عند كل لقاء ووداع

إلى أول الكلمات وأخر الكلمات

أم الثانية.....نوال

إلى من تعلق قدرى بقدرها وامتزجت فرحتي بفرحته

إلى الذي لا تم سعادتي إلا به

إلى الذي لم يتوقف يوماً عن دعمي

أخيه: أ.م.د. سامر

نسيم الوديان وعبر الرياحان

إلى ذكريات ليست لها نسيان

إلى زهارات البيت أتمنى لكم حياة ملئها الخير والعطاء

أخواتي : سهام، وفاء

إلى من اعتنوا في صغراً واقتصرروا ببيـ كيراً

إلى تلك الرياحين العبة التي لا تعرف الذبول .. .

إلى من كنـ بيـتاً دافـاً، وحضرـناـ حـنـونـاً

أخواتي : أمير، نهاد، سمر

إلى شلات النرجس الطيرية التي يـفـحـ عـطـرـهـا

إلى من جمعـيـ الـقـدـرـبـهـمـ فـأـحـبـبـهـمـ حـبـ الأـخـوـاتـ

إلى أخـوةـ لمـ تـلـدـهـمـ أـمـيـ

إلى منـ أـعـزـ بـاخـلاـصـهـمـ .. .

إلى منـ كـتبـ قـلـبيـ لـهـمـ فـي دـفـاتـرـهـمـ أـجـمـلـ الذـكـرـيـاتـ .. .

إلى منـ سـابـقـيـ أـتـذـكـرـهـمـ عـلـىـ الدـوـامـ .. .

جميع أصدقائي

جميع أقربائي وأحبابي



ACKNOWLEDGMENT

اليوم وأنا على مشارف نيل أرفع شهادة علمية، لا يسعني في هذه اللحظة الحاسمة والتاريخية في حياتي إلا أن أوجه بالشكر والامتنان لأساتذتي الأفضل الذين كانوا مصابيحًا أنارت لنا طريق العلم والمعرفة.

وأخص بالذكر أستاذي المشرف للأستاذ المساعد الدكتور إبراهيم سعيد، أستاذ مساعد في قسم تعويضات الأسنان الثابتة في كلية طب الأسنان بجامعة دمشق، الذي ساعدني على إنجاز هذا البحث مما قدمه لي من نصائح قيمة وتوجيهات سديدة وإرشادات وتشجيع وأشرف على البحث وسعي دوماً ليظهر البحث بأفضل صورة ممكنة فكان بحق أخي وصديقاً وأستاذًا لأنسي فضلاته.

كما أتوجه بالشكر والاحترام والتقدير إلى الأستاذ الدكتور فندي الشعراوي، في قسم تعويضات

الأسنان الثابتة في كلية طب الأسنان بجامعة دمشق، الأ卜 الحنوف ونبع العلم الذي لا

ينبع على كل جهوده ونصائحه وعلمه الذي قدمه، وليس ذلك بغريب على من استحق لقب

"أبو التيجان والجسور"، فله مني كل التقدير والمحبة والعرفان بالجميل، والشكر الجزييل له

على تفضيله بقبول المشاركة بلجنة الحكم.

كما أتوجه بالشكر إلى أعضاء لجنة الحكم، السادة الأفاضل:

الأستاذ المساعد الدكتور جماد أبو نصار، في قسم التعويضات الثابتة في كلية طب الأسنان

بجامعة دمشق والأستاذ المساعد الدكتور محمد أسامة الجبار، الأستاذ المساعد في قسم مداواة

الأسنان في كلية طب الأسنان بجامعة دمشق والأستاذ الدكتور خليل عزيمية، الأستاذ الدكتور

في قسم الميكانيك العام في كلية الهندسة الميكانيكية والكهربائية بجامعة دمشق، الذي

ساعدني في إجراء القياسات الجهرية بدقة واقتان. لفضلهم بقبول المشاركة في تحكيم هذه

الرسالة وتدقيقها فكان ذلك مداعاة فرح وبهجة وسرور.

الشكر الجزيل للأستاذة الدكتورة ميرزا علاف رئيسة قسم التعويضات الثابتة في كلية طب الأسنان

جامعة دمشق، لما بذله من جهود، فلها مني فائق التقدير والمحبة والاحترام

أوجه بالشكر لإدارة كلية طب الأسنان ممثلة بالأستاذة الدكتورة رزان خطاب عميدة الكلية ،

والأستاذ الدكتور إبراهيم شعراني نائب العميد للشؤون العلمية، والأستاذ الدكتور ياسر مدلل نائب

العميد للشؤون الإدارية، للجهود الكبيرة التي يبذلونها لإنجاح المسيرة التعليمية في الكلية.

وأوجه جزيل شكري واحترامي إلى السادة الأساتذة أعضاء الهيئة التدريسية والتعليمية

وجميع الموظفين في قسم التعويضات الثابتة في كلية طب الأسنان بجامعة دمشق ، لما

يبذلون من جهد كبير في سبيل تطوير البحث العلمي .

ولابد لي أن أشكر جميع طلاب الدراسات العليا في جميع الأقسام، وخصوصاً في قسم

التعويضات الثابتة، وأتمنى لهم التوفيق والنجاح

وافر الشكر والتقدير للدكتورة ازدهار اسماندر، أستاذة اللغة العربية، والدكتور حسين نعنة، أستاذ اللغة

الإنجليزية، لتكريمهما بالقيام بالتدقيق اللغوي لهذه الاطروحة .

شكراً خاصاً للسيد عبد الرحمن نجيب الذي ساهم في إنجاز الدراسة الإحصائية للبحث .

كما أتوجه بالشكر لفني الأستان السيد رامي حداد الذي كان أخاً وصديقاً لما قدمه لي من مساعدة في إنجاز الكثير من الأعمال الفنية والتقنية الخاصة بالبحث بوضعه مخبره الخاص بكل معداته تحت تصرفه لإنجاز البحث.

وأتقدم بالشكر لفني الأستان السيد وائل كركوتني ولفريق العمل في مخبره السيني، اللذان ساهموا في احتضان بعض المراحل العملية للبحث في مخبرهما، أوجه لهما فائق الامتنان والشكر.

الشكر كل الشكر لعائلتي الغالية التي أكن لها الحب والتي لها الفضل فيما أنا عليه الآن.
وأخيراً كل المودة والعرفان لكل من وقف بجانبي وأزرني وأخذ بيدي حتى أنجز هذا البحث ونسى ذكر اسمه سهوا مني لا تجاهل لفضله

فِلَمْبَعَةُ الْمَكْنُوبَاتِ

12	المقدمة
15	الهدف من البحث
17	الباب الأول: المراجعة النظرية
18	1.1. المراجعة النظرية
18	1.1.1. الخزف السنّي
19	1.1.1.1. تعريف الخزف السنّي
20	2.1.1.1.1. البورسلين السنّي
27	2.1. الزيركونيا
27	2.1.1. ما هو الزيركونيا
28	2.2.1. الخواص البنوية
31	3.2.1. التقبل الحيوي للترميمات المقواة بنوأة الزيركونيا
32	4.2.1. استطبابات الزيركونيا
34	5.2.1. مضادات استطباب الزيركونيا
34	3.1. طرق تصنيع التعويضات الزيركونية
34	1.3.1. نظام الخزف المقوى بنوأة أوكسيد الألمنيوم المشربة بالزراج
38	2.3.1. تقنيات تصنيع نظام الخزف المقوى بنوأة أوكسيد الألمنيوم المشربة بالزراج
51	4.1. الانطباق الحفافي
54	1.4.1. طرائق قياس الانطباق الحفافي
59	2.4.1. القياس المقبول سريريًّاً لفرجة الحفافية
62	5.1. الدراسات السابقة

67	الباب الثاني: المواد والطائق
68	1.2. مواد البحث وأجهزته في الدراسة المخبرية
68	1.1.2. عينة البحث
69	2.1.2. أجهزة البحث ومواده
69	1.2.1.2. أجهزة البحث
71	2.2.1.2. مواد البحث
71	3.1.2. طرائق البحث في الدراسة المخبرية:
71	1.3.1.2. تحضير العينة
73	2.3.1.2. الأنظمة الخزفية المستخدمة في البحث
85	3.3.1.2. دراسة الانطباق الحفافي للعينات المخبرية
92	2.2. مواد البحث وأجهزته في الدراسة السريرية
92	1.2.2. عينة البحث
94	2.2.2. مواد البحث وأجهزته
95	3.2.2. طرائق البحث
95	1.3.2.2. تحضير الأسنان وأخذ الطبعات
96	4.2.2. دراسة الانطباق الحفافي والداخلي للعينات
100	5.2.2. دراسة مخبرية لمقارنة تقنيّي النسخ المضاعف و النسخ المضاعف المطورة
100	1.5.2.2. مواد البحث وأجهزته في الدراسة المخبرية الثانية
101	2.5.2.2. أجهزة و مواد البحث
102	3.5.2.2. طرائق البحث في الدراسة المخبرية الثانية
106	الباب الثالث: النتائج
107	1.3. نتائج الدراسة المخبرية
107	1.1.3. وصف العينة
108	2.1.3. الدراسة الإحصائية التحليلية
109	3.1.3. محاور الدراسة المخبرية
109	1.3.1.3. دراسة تأثير المجموعة المدروسة في مقدار الفجوة الحفافية في عينة البحث المخبرية وفقاً لموقع القياس

112	2.3.1.3 دراسة تأثير موقع القياس في مقدار الفجوة الحفافية في عينة البحث المخبرية وفقاً للمجموعة المدروسة
114	2.3 نتائج الدراسة السريرية
114	1.2.3 وصف العينة
115	2.2.3 الدراسة الإحصائية التحليلية
116	3.2.3 محاور الدراسة المخبرية
116	1.3.2.3 دراسة تأثير المجموعة المدروسة في مقدار الفجوة الحفافية في عينة البحث وفقاً لموقع القياس
118	2.3.2.3 دراسة تأثير موقع القياس في مقدار الفجوة الحفافية في عينة البحث وفقاً للمجموعة المدروسة
121	3.3 الدراسة المخبرية الثانية لمقارنة تقنيتي النسخ المضاعف المطورة و النسخ المضاعف التقليدية
121	1.3.3 عينة البحث
122	2.3.3 الدراسة الإحصائية التحليلية
124	3.3.3 محاور الدراسة المخبرية الثانية
124	1.3.3.3 دراسة تأثير طريقة القياس المتبعة في مقدار الفجوة الحفافية في عينة البحث وفقاً لموقع القياس
126	2.3.3.3 دراسة تأثير موقع القياس في مقدار الفجوة الحفافية في عينة البحث وفقاً لطريقة القياس المتبعة
129	الباب الرابع: المناقشة
130	1.4 مناقشة نتائج الدراسة المخبرية
132	1.1.4 مناقشة محاور الدراسة المخبرية
134	1.1.1.4 دراسة تأثير تقنية التصنيع المتبعة في الفجوة الحفافية موقع السن
135	2.1.4 مقارنة النتائج مع الدراسات السابقة
136	2.4 مناقشة نتائج الدراسة السريرية
137	1.2.4 مناقشة محاور الدراسة السريرية
137	1.1.2.4 دراسة تأثير المجموعة المدروسة في مقدار الفجوة الحفافية في عينة البحث وفقاً لموقع القياس

139	2.1.2.4 دراسة تأثير موقع القياس في مقدار الفجوة الحفافية في عينة البحث وفقاً للمجموعة المدروسة
140	2.2.4 مقارنة النتائج بالدراسات السابقة
141	3.2.4 مناقشة نتائج الدراسة المخبرية الثانية
145	الباب الخامس الاستنتاجات
147	الباب السادس: المقترنات والتوصيات
151	الباب السابع: المراجع
172	الملخص

فهرس المحتوى

46	جدول (1) استعراض لأنظمة CAD/CAM المعروفة
48	جدول (2) جدول يوضح المواد المستخدمة في أنظمة CAD/CAM
58	جدول (3) طرق قياس الانطباق الحفافي
68	جدول (4) يبين توزع الجسور في عينة البحث وفقاً للمجموعة المدروسة
78	جدول (5) الخبزة الأولى بفرن Vita In-Ceramat لتقنية Slip-cast
79	جدول (6) الخبزة الثانية بفرن Vita In-Ceramat 3T لتقنية Slip-cast
80	جدول (7) الخبزة الثالثة بفرن 3T Inceramat لتقنية Slip-cast
82	جدول (8) توزع المرضى في عينة الدراسة السريرية
93	جدول (9) يبين توزع الجسور في عينة البحث السريرية وفقاً للمجموعة المدروسة
100	جدول (10) يبين توزع الثخانات المطاطية في عينة البحث المخبرية الثانية وفقاً للمجموعة المدروسة
107	جدول (11) يبين توزع الجسور في عينة البحث المخبرية وفقاً للمجموعة المدروسة
109	جدول (12) يبين المتوسط الحسابي والانحراف المعياري والخطأ المعياري والحد الأدنى والحد الأعلى لمقدار الفجوة الحفافية (بالميكرون) في عينة البحث المخبرية وفقاً للمجموعة المدروسة وموقع القياس
110	جدول (13) يبين نتائج اختبار T ستيفونز للعينات المستقلة لدراسة دلالة الفروق في متوسط مقدار الفجوة الحفافية بين مجموعة جسور Slip-Casting ومجموعة جسور CAD\CAM في عينة البحث المخبرية وفقاً لموقع القياس

		جدول (14) يبين المتوسط الحسابي والانحراف المعياري والخطأ المعياري والحد الأدنى والحد الأعلى لمقدار الفجوة الحفافية (بالميكرون) في عينة البحث المخبرية وفقاً لموقع القياس والمجموعة المدروسة
112		جدول (15) يبين نتائج اختبار T ستيفونز للفروقات المترابطة لدراسة دلالة الفروق في متوسط مقدار الفجوة الحفافية بين مجموعة القياسات المُجرأة عند الرحي ومجموعة القياسات المُجرأة عند الضاحك في عينة البحث المخبرية وفقاً للمجموعة المدروسة
113		جدول (16) يبين توزع الجسور في عينة البحث السريرية وفقاً للمجموعة المدروسة
114		جدول (17) يبين المتوسط الحسابي والانحراف المعياري والخطأ المعياري والحد الأدنى والحد الأعلى لمقدار الفجوة الحفافية (بالميكرون) في عينة البحث السريرية وفقاً للمجموعة المدروسة وموقع القياس
116		جدول (18) يبين نتائج اختبار T ستيفونز للفروقات المترتبة لدراسة دلالة الفروق في متوسط مقدار الفجوة الحفافية بين مجموعة جسور Slip-Casting ومجموعة جسور CAD في عينة البحث السريرية وفقاً لموقع القياس
117		جدول (19) يبين المتوسط الحسابي والانحراف المعياري والخطأ المعياري والحد الأدنى والحد الأعلى لمقدار الفجوة الحفافية (بالميكرون) في عينة البحث السريرية وفقاً لموقع القياس والمجموعة المدروسة
119		جدول (20) يبين نتائج اختبار T ستيفونز للفروقات المترتبة لدراسة دلالة الفروق في متوسط مقدار الفجوة الحفافية بين مجموعة القياسات المُجرأة عند الرحي ومجموعة القياسات المُجرأة عند الضاحكة في عينة البحث السريرية وفقاً للمجموعة المدروسة
120		جدول (21) يبين توزع التخانات المطاطية في عينة البحث المخبرية الثانية وفقاً للمجموعة المدروسة
122		جدول (22) يبين المتوسط الحسابي والانحراف المعياري والخطأ المعياري والحد الأدنى والحد الأعلى لمقدار الفجوة الحفافية (بالميكرون) في عينة البحث المخبرية الثانية وفقاً لطريقة القياس المتبعة وموقع القياس

125	<p>جدول (23) يبين نتائج اختبار T ستيفيدنت للعينات المترابطة لدراسة دلالة الفروق في متوسط مقدار الفجوة الحفافية (بالميكرون) بين مجموعة القياسات المُجرأة بطريقة النسخ المضاعف المعدلة ومجموعة القياسات المُجرأة بطريقة النسخ المضاعف التقليدية في عينة البحث المخبرية الثانية وفقاً لموقع القياس</p>
127	<p>جدول (24) يبين المتوسط الحسابي والانحراف المعياري والخطأ المعياري والحد الأدنى والحد الأعلى لمقدار الفجوة الحفافية (بالميكرون) في عينة البحث المخبرية الثانية وفقاً لموقع القياس وطريقة القياس المتبعة</p>
128	<p>جدول (25) يبين نتائج اختبار T ستيفيدنت للعينات المترابطة لدراسة دلالة الفروق في متوسط مقدار الفجوة الحفافية (بالميكرون) بين مجموعة القياسات المُجرأة عند الرحى ومجموعة القياسات المُجرأة عند الضاحكة في عينة البحث المخبرية الثانية وفقاً لطريقة القياس المتبعة</p>

فهرس الأشكال

29	شكل (1) البنية البلورية للزركون والتحولات البنوية
29	شكل (2) بلورات الزيركونيا عند مختلف درجات الحرارة
30	شكل (3) التحولات البنوية بينية الزيركونيا بسبب إجهادات الشد
31	شكل (4) تفتت الزيركونيا بفعل التحولات البنوية الحرارية المائية
34	شكل (5) خطوط إنهاء للتحضير من أجل الترميمات الخزفية
35	شكل (6) البنية البلورية لنظام In-ceram Alumina
37	شكل (7) البنية البلورية لنظام In-ceram Spinell
38	شكل (8) البنية البلورية لنظام In-ceram Zirconia
40	شكل (9) بنية الترحال الكهربائي لحببات أوكسيد الزركونيوم وأوكسيد الألミニوم
42	شكل (10) ختم القبعة و حواف التحضير طريقة الرحلان الكهربائي بشوارد السيراميك ELC
42	شكل (11) حواف التحضير
43	شكل (12) المراحل المتتابعة لصنع قبعة Wol-ceram
44	شكل (13) المراحل المتتابعة لصنع جسر Wol-ceram
52	شكل (14) الفجوة الحفافية (MG)- الفجوة الداخلية (IG)- العيب الحفافي المطلق (AMD)
53	شكل (15) يبين مصطلحات الانطباق الحفافي
53	شكل (16) شكل ترسيمي للشكل الصحيح لمنطقة اتصال التاج مع السن
53	شكل (17) الأشكال الخطأ لمنطقة اتصال التاج مع السن عند الحدود العنقية
68	شكل (18) يمثل النسبة المئوية لتوزع الجسور في عينة البحث المخبرية وفقاً للمجموعة المدروسة

69	شكل (19) فرازاكو Typodont، ميكرومotor Kavo، مجهر ضوئي Olympus optical
70	شكل (20) الماسح الخاص ZirkoDenta b : الحاسوب الخاص ZirkoDenta ، آلة النحت الخاصة c ،
70	شكل (21) جهاز المزج بالتلبية، جهاز الأمواج فوق الصوتية، الفرن الخاص (Inceramat 3T)
71	شكل (22) علبة Slip-cast (VITA In-Ceram® ZIRCONIA) من أجل Zircodenta بلوكات CAM\CAM من أجل نظام
73	شكل (23) سنابل التحضير المستخدمة بالبحث
74	شكل (24) تحضير المثال الجبسي و تقسيمه Slip-cast
74	شكل (25) تطبيق مادة Varnish Interspace على المثال الجبسي
75	شكل (26) نسخ المثال بالمطاط البولي فينيل ميتيل سيلوكسان ذو تفاعل ضم GC لشركة Kerr
75	شكل (27) صب القوالب المطاطية بمادة Special Plaster
76	شكل (28) تقسيم النموذج و تحديد الحواف على النموذج Slip-cast
76	شكل (29) مزج Zirconia Powder مع السائل Mixing liquide بواسطة جهاز الهزاز الكهربائي
77	شكل (30) تطبيق المزيج Slip بفرشاة خاصة على النموذج
77	شكل (31) تشذيب وإزالة الزوائد في منطقة الحواف للمثال Slip-cast
78	شكل (32) وضع النموذج الخاص بعد تطبيق مادة Slip في فرن خاص In- ceramat Vita 3T
79	شكل (33) تطبيق مادة In-Ceram Optimizer
80	شكل (34) تطبيق مادة Testing Liquid لكشف التصدعات و الشقوق
81	شكل (35) التسريب بالزرجاج (Glass Infiltration) بمادة powder (Zirconia glass
81	شكل (36) إزالة زوائد الزجاج من على النواة و الترميل بتيار أوكسيد الألمنيوم Slip-cast
82	شكل (37) خبز النواة الخبزة النهائية بفرن Vacumat
82	شكل (38) البناء التجميلي للهيكل الخزفي باستخدام VITAVM7
85	شكل (39) المثال المعدني الرئيسي
85	شكل (40) طبعات المثال المعدني

86	شكل (41) الأمثلة الجبسية، و الجسور الزركونية، حقن المطاط الإضافي الرخو داخل الجسر ، تثبت الجسر على مثاله
86	شكل (42) الثخانات المطاطية المراد معالجتها لقياس الانطباق الحفافي
87	شكل (43) ثبت الجسر و بداخله الثخانة المطاطية على كتلة مطاطية و تعليب الكتلة المطاطية
88	شكل (44) صب الثخانة المطاطية المعلبة بالمطاط الإضافي الرخو مختلف اللون و دعمه بالمطاط القاسي
88	شكل (45) فصل الجسر الخزفي عن كتلة الثخانة المطاطية
89	شكل (46) تعليب الكتلة المطاطية الناتجة و صبها بنفس المطاط الرخو مختلف اللون
89	شكل (47) الكتل المطاطية الناتجة عن تقنية النسخ المضاعف المطورة
90	شكل (48) مراحل تقسيم الكتلة المطاطية لإجراء قياسات الانطباق الحفافي
90	شكل (49) حفظ العينات في أكياسها و تثبيتها بشكل عامودي تحت العدسة بواسطة المطاط الصناعي
90	شكل (50) العينات و قياس الانطباق الحفافي تحت المجهر
93	شكل (51) يمثل النسبة المئوية لتوزع الجسور في عينة البحث السريرية وفقاً للمجموعة المدرosa
94	شكل (52) المطاط السيليكوني الإضافي الرخو و القاسي (HD ⁺ Elite) ، خيوط تبعيد لثوي (Racestyptine) ، فرد حقنٍ خاصًّ (Dispenser D2)
99	شكل (53) حالة سريرية و مراحل العمل السريري
101	شكل (54) يمثل النسبة المئوية لتوزع الجسور في عينة البحث المخبرية الثانية وفقاً للمجموعة المدرosa
102	شكل (55) مشرط ستانلي سناب متعدد الاستخدام لقطع الكتلة المطاطية وشفرات مشرط (Rayko)
102	شكل (56) مشرط جراحي مع شفرة رقم 15 شمع تعليب (Modelling wax) (B.M.S Dental) من شركة (

103	شكل (57) حقن المطاط السيليكوني الإضافي منخفض اللزوجة (تقنية النسخ المضاعف التقليدية)
104	شكل (58) الكتلة المطاطية المصبوبة للثخانة المطاطية عن الجسر (تقنية النسخ المضاعف التقليدية)
105	شكل (59) قص الكتلة المطاطية الناتجة عن تقنية النسخ المضاعف التقليدية
107	شكل (60) يمثل النسبة المئوية لتوزع الجسور في عينة البحث المخبرية وفقاً للمجموعة المدروسة
110	شكل (61) يمثل المتوسط الحسابي لمقدار الفجوة الحفافية (بالميكرون) في عينة البحث المخبرية وفقاً للمجموعة المدروسة وموقع القياس
112	شكل (62) يمثل المتوسط الحسابي لمقدار الفجوة الحفافية (بالميكرون) في عينة البحث المخبرية وفقاً لموقع القياس والمجموعة المدروسة
114	شكل (63) يمثل النسبة المئوية لتوزع الجسور في عينة البحث السريرية وفقاً للمجموعة المدروسة
117	شكل (64) يمثل المتوسط الحسابي لمقدار الفجوة الحفافية (بالميكرون) في عينة البحث السريرية وفقاً للمجموعة المدروسة وموقع القياس
119	شكل (65) يمثل المتوسط الحسابي لمقدار الفجوة الحفافية (بالميكرون) في عينة البحث وفقاً لموقع القياس والمجموعة المدروسة
122	شكل (66) يمثل النسبة المئوية لتوزع الجسور في عينة البحث المخبرية الثانية وفقاً للمجموعة المدروسة
125	شكل (67) يمثل المتوسط الحسابي لمقدار الفجوة الحفافية (بالميكرون) في عينة البحث المخبرية الثانية وفقاً لطريقة القياس المتبعة وموقع القياس
127	شكل (68) يمثل المتوسط الحسابي لمقدار الفجوة الحفافية (بالميكرون) في عينة البحث المخبرية الثانية وفقاً لموقع القياس وطريقة القياس المتبعة

المقدمة

Introduction

المقدمة

إن الهدف الأساسي من أي نظام ترميمي هو تقليد بنية السن الطبيعية بشكلها و وظيفتها وبمظهرها التجميلي، و هذا أمر صعب، حيث أن بنية السن الطبيعي تجمع المقاومة الذاتية و الجمالية التي لا يمكن الوصول إليها في مادة صناعية مفردة. لذلك كان الهدف هو الوصول إلى مادة تبدي مقاومة كافية و سهل متاغم و انطباق حفافيًّا مناسب حتى تعمل بشكل مشابه لبنية السن الطبيعية بينما تبدي بنفس الوقت الشفافية الطبيعية و الخصائص البصرية المطلوبة لترضي المتطلبات التجميلية لمريض القرن الحادي و العشرين.

أدى ضعف النواحي التجميلية الناجم عن استخدام الترميمات الخزفية المعدنية إلى البحث عن مواد ترميمية جديدةٍ، لها خصائص فيزيائيةٌ عاليةٌ، إضافةً إلى صفاتها التجميلية. وهذا ما جعل الشركات تطرح أنظمة عديدة للتعويضات الخزفية الخالية من المعدن. إن استخدام مثل هذه المواد كان محصوراً في المنطقة الأمامية نظراً لمحودية إمكانياتها الميكانيكية، وكان التحدي الأكبر هو إنجاز جسرٍ خلفي دون دعمٍ معدني. يتميز بالاستقرار الكيميائي، و التلاويم الحيوي، والخصائص البصرية المشابهة للأسنان، كما يؤمن الدعم الأساسي للخزف المغطى للجسر، وهنا برع دور الزيركونيا الهام في مثل هذه التعويضات.

إن نجاح هذه التعويضات يتعلق بشكل أساسى بمدى ديمومتها في خدمة المريض، وهذا الأمر مرتبط بعدد من العوامل منها دقة الحواف (الانطباق الحفافي)، يعتبر الانطباق

المقدمة

الحفافيّ عاملًا كبيرًا للأهمية في تقييم النجاح السريري للمواد السنية (Noack, 1994).
ويعتبر الانطباق الحفافيّ للترميمات السنية عاملًا هامًا جدًا في طول فترة النجاح السريري
للترميم في الحفرة الفموية (Limkangwalmongkol, 2007)، فالترميمات ذات
الانطباق الحفافيّ السيئ يؤدي إلى تراكم أكبر للوبيحة الجرثومية وتدفق متزايد
للسائل اللثوي في الميزاب اللثوي وأمراض النسج الداعمة وبالتالي تراجع بالمستوى
العظمي، مما يساهم في حدوث التسرب الحفافي، وبالتالي نخورًا ثانويًا في العاج
السنوي للسن المحضرة والتهاباً ليبياً بسبب حدوث تغييرٍ في تركيب اللوبيحة
(Shiratsuchi et al, 2006 - Bindle et al, 2005 - Yeo et al, 2003).
نظراً لما تقدم اتسع في السنوات الأخيرة نطاق استخدام الترميمات الخزفية الخالية من
المعدن والمقواة بالزيركونيا في قطتنا، لتغطيتها مجالاً واسعاً من الاستطبابات السريرية،
كما تطورت تقنيات تصنيع هذه الترميمات بشكلٍ كبيرٍ وسرعٍ مما أدى إلى ظهور تقنيات
تصنيعٍ مختلفةٍ، لذلك دُرس الانطباق الحفافيّ لهذه الترميمات في هذا البحث بالمقارنة بين
التقنيات المختلفة المستخدمة في تصنيعها للوصول إلى التقنية التي تعطي ترميماتٍ خزفيةٍ
أكثر دقةً وجودةً لينصح باستخدامها في العيادات والمخابر السنية.

الهدف من البحث

Aims of Study

المهدف من البحث

1. دراسة و مقارنة للانطباق الحفافي للجسور الخزفية الخالية من المعدن و المقواة بنواة الزيركونيا بنسبة أساسية والمصنعة بتقنيتين مختلفتين، وهي التقنية الآلية بمساعدة الكمبيوتر أي تقنية التصميم بمساعدة الكمبيوتر/ التصنيع بمساعدة الكمبيوتر أو مايسى اختصاراً (ZircoDenta) ، و التقنية التقليدية (Slip-Cast Technique) التي يدخل الزيركونيا في تركيبها بالإضافة إلى أوكسيد الألمنيوم نظام (In-ceram Zirconia) بدراسة مخبرية و سريرية.
2. تأثير تقنية القياس المتبعه لقياس الانطباق الحفافي في مقدار الفجوة الحفافية :
 - تقنية النسخ المضاعف.
 - تقنية النسخ المضاعف المعدلة.

الباب الأول

المراجعة النظرية

Literature
Review

1.1. المراجعة النظرية

1.1.1. الخزف السني:

إن المواد التعويضية و الترميمية المستخدمة حالياً في طب الأسنان يمكن تقسيمها إلى

المجموعات الأربع التالية (Anusavice et al, 2003) :

1. المعادن، 2. البوليمرات، 3. الكمبوزيت، 4. الخزف

1.1.1.1. تعریف الخزف السني :

هو مركب يتكون من عناصر معدنية و غير معدنية (O'Brien et al, 1997) و بهذا

التعریف تصنف كل المواد التي تمتد بين أوكسيد الألمنيوم و ملح الطعام على أنها مواد

خزفية. أما في طب الأسنان فالجبس و عدة أنواع من الأسمنت كأوكسيد فوسفات الزنك

و البورسلينات هي أمثلة عن المواد السيراميكية. يبدي الخزف السني خصائص كيميائية

وميكانيكية وفيزيائية تميّزه عن المواد الأخرى المستخدمة في طب الأسنان كالأكريل

والمعادن، فهو لا يتفاعل مع معظم السوائل أو الغازات أو القلوبيات والأحماض، كما يتميّز

بثبات خصائصه على المدى البعيد، وهو مادة قصبة يمكن كسره عند لدنه أو عند تسخينه

وتبريد بسرعة. يشمل الخزف السني الزجاج، البورسلين، الخزف الزجاجي، الخزف

عالي المحتوى من البلورات (Anusavice KJ et al, 2003)

2.1.1.1 البورسلين السنّي :

وهو نوع من أنواع الخزف يتَّأْلُفُ من طور زجاجي غير منتظم الشكل ذي بنية مسامية، وطور أو أكثر من البَلُورات.

1.2.1.1.1 لمحَةٌ تارِيخية

يعود استخدام البورسلين في طب الأسنان إلى منتصف القرن الثامن عشر حين استخدمه الصيدلاني الفرنسي **Duchateau** لصنع جهاز كامل، ثم قام طبيب الأسنان **Dechement** في عام 1789 بإدخال التحسينات على محتواه (**Fonzi**, في عام 1808 قام طبيب الأسنان الإيطالي **Anusavice KJ et al, 2003**) بصناعة أول سن مفردة من مادة البورسلين يتَّصل مع قاعدة الجهاز الكامل بواسطة دبابيس بلاتينية (**Kurdvk et al, 1999**).

عام 1837 أدخل **Ash** تحسينات إضافية على أسنان البورسلين، وفي عام 1903 صنع أول تاج من البورسلين عالي الانصهار باستخدام تقنية الرقاقة البلاتينية. توصلت أبحاث **McLean** في الخمسينات من القرن العشرين إلى اكتشاف طريقة لربط الخزف مع المعدن، وفي عام 1956 انتشرت الترميمات الخزفية المعدنية. في عام 1962 أدخل **Weinstien** ومساعدوه (**Manappallili et al, 2003**) تعديلات مهمة على تركيب البورسلين الفلدسباري بهدف التقليل من نقلّصه بعد الخبز والتحكم بدرجات حرارة الخبز ومعامل التمدد الحراري. في بداية الثمانينيات ابتكَرَ

البورسلين الكتفي shoulder porcelain يهدف تحسين الناحية الجمالية في منطقة
الحوف العنقية.

في منتصف الثمانينيات ظهر نوع جديد من البورسلين الأقل خشونة less abrasive porcelain الحراري أكبر من البورسلين التقليدي، ويتميز بالنقليل من اهتراء الأسنان المقابلة. في عام 1992 طُور البورسلين الأكثر انخفاضاً بدرجة الانصهار ويتميز هذا النوع من البورسلين بإعطاء مظهر أكثر جمالية وشفافية مشابهة إلى حد بعيد للأسنان الطبيعية .(Anusavice KJ et al, 2003)

2.2.1.1.1 تركيب البورسلين السندي:

يشبه تركيب البورسلين إلى حد بعيد تركيب الزجاج والذي يعتمد على شبكة ثلاثة الأبعاد من السيليكا، إلا أنه يختلف عنه في ارتفاع محتواه من القلوبيات (كالصودا والبوتاسي واللوسيت) وذلك ضروري لرفع معامل تمدد الحراري إلى مستوى يتاسب مع الهيكل المعدني في الترميمات الخزفية المعدنية (Manappallili et al, 2003). يتركب البورسلين بشكل رئيسي من الفلدسبار، الکوارتز، والکاؤولین . (Van Noort et al, 2002)

الفلدسبار

يشكل الفلدسبار 60% من ثمانية الأميال العلوية من قشرة الأرض، ويكون على شكل صخور بلورية، ويترکب من البوتاسيوم والصوديوم بالإضافة إلى الألومينا Al_2O_3 والسيليكا SiO_2 ، وهو المكون الرئيسي للبورسلين (70% - 80%) لذلك يطلق على هذا النوع من البورسلين اسم البورسلين الفلدسباري .**feldspathic porcelain**

يكون الفلدسبار بطوره الزجاجي غير المنتظم، ويبداً بالانصهار عند حرارة 1150°C متحوّلاً إلى بلورات اللوسيت ($\text{K}_2\text{O} \cdot \text{Al}_2\text{O}_3 \cdot 4\text{SiO}_2$) في طور زجاجي سائل، ويتم التبريد المفاجئ لحصول على نسبة معينة من البلورات في قالب زجاجي . (Manappallili et al, 2003)

الكوارتز

وهو أحد الأشكال البلورية للسيليكا يتوزع ضمن الشبكة الزجاجية، ويقوم بدور الهيكل المقاوم للبورسلين، إذ إنّه يبقى ثابتاً أثناء عملية الخرز (Shillingburg et al, 1997) يشكل الكوارتز 11-18% من تركيب مسحوق البورسلين السني (Ferracane J et al, 2001) ويملك مدى انصهار مرتفعاً . (Anusavice KJ et al, 2003) (1400°C - 1600°C).

الكاولين

كمياً هو عبارة عن سيليكات الألミニوم المماهنة **hydrated aluminum silicate** وهو نوع من الصلصال، لونه أبيض ويقوم بدور الرابط $\text{Al}_2\text{O}_3 \cdot 2\text{SiO}_2 \cdot 2\text{H}_2\text{O}$

binder بين ذرات مسحوق البورسلين عند تشكيل الترميم قبل عملية الخبز، ويعطي الكاولين الفلدسبار الزجاجي الشفاف بعض الظلالية (Shillingburg et al, 1997) يشكل الكاولين 3-5% من تركيب مسحوق البورسلين السنّي، إلا أنّ غالبية المنتجات الحديثة للبورسلين السنّي تخلو من الكاولين وتستبدلها بالنشاء والسكر ليقوما بدور المادّة الرابطة (Van Noort et al, 2002)

معدّلات الزجاج :Glass modifiers

يُطلق عليها أيضاً المسيلات (fluxes)، تضاف بعض الأكاسيد المعدنية مثل أكسيد الصوديوم وأكسيد البوتاسيوم وأكسيد الكالسيوم بهدف تخفيض مجال انصهار شبكة السيليكا، إذ تقوم هذه الأكاسيد بكسر الرابط بين السيليكا رباعية الوجه **silica tetrahedra** محدثة تخللاً فيها، مشكلة بذلك سلاسل خطية من السيليكا سهلة الحركة، وينتج عن ذلك انخفاض لزوجة البورسلين ودرجة حرارة خبزه، وزيادة معامل تمدد الحراري (Rosenstiel et al, 2006). يقلّ التركيز المرتفع لمعدّلات الزجاج من الديمومة الكيميائية للبورسلين، كما تزيد قابلية الزجاج للتحوّل إلى بلورات **devitrification** أثناء خبز البورسلين. تقوم الشركات المصنعة للبورسلين بتغيير نسبة معدّلات الزجاج ضمن محتوى البورسلين للحصول على درجات خبز مختلفة، ومعامل تمدد حراري يتوافق مع المعدن المستخدم لصنع الهيكل في الترميمات الخزفية المعدنية (Rosenstiel et al, 2006). يعتبر أكسيد البوريك B_2O_3 من معدّلات الزجاج، إذ يشكّل شبكة زجاجية خاصة تتوضع بين شبكة السيليكا، ويقوم بتنفسية الزجاج وزيادة

مقاومة لقوى الميكانيكية والصدمات الحرارية، وهذا الأمر مهم في البورسلين السنّي الذي يتعرّض لقوى إطباقية وعوامل حرارية مختلفة (Manappallili et al, 2003).

الألومنيا :Alumina

تتوسط كبلورات صغيرة ضمن الشبكة الزجاجية وتعطي البورسلين المقاومة وتزيد من لزوجته و مقاومته للتشوه أثناء عملية الخبز (Shillingburg et al, 1997).

بلورات اللوسيت :Lucite crystals

وهي بلورات معدنية لسيليكات الألمنيوم والبوتاسيوم، تتشكل عند صهر الفلسبار والزجاج معاً ضمن البورسلين، كما يمكن إضافتها إلى محتوى البورسلين لتكتسبه المقاومة والمثانة ولرفع معامل تمدّه الحراري (Ferracane J et al, 2001). تتوزع بلورات اللوسيت ضمن القالب الزجاجي وتشكل 20% حجماً من البورسلين.

المواد الظلالية :Opacifiers

البورسلين الفلسباري النقي لا لون له، لذلك تُضاف المواد الظلالية ليقارب ظلالية الأسنان الطبيعية، يستخدم أكسيد الزيركونيوم وأكسيد التيتانيوم وأكسيد القصدير كمواد ظلالية (Shillingburg et al, 1997).

معدلات اللون :Color modifiers

تُضاف بعض الأكسيدات المعدنية الملونة إلى البورسلين للحصول على اللون المطلوب لمحاكاة الأسنان الطبيعية، كل واحد من هذه الأكسيدات يعطي لوناً خاصاً للبورسلين. تُمزج

مكونات مسحوق البورسلين جمِيعاً ثم تُصهر لتشكل كتلة زجاجية يتم تبريدها بالماء البارد بشكل مفاجئ وسريع، مما يتسبب في تصدع هذه الكتلة وتكسرها وتشكل ما يسمى بالفريت (frit)، وهو ذو بنية زجاجية غير منتظمة عالية الشفافية، ثم يطحن هذا الفريت إلى مسحوق دقيق الحبيبات (Rosenstiel et al, 2006).

إنَّ معظم التفاعلات الكيميائية بين مكونات البورسلين تحدث أثناء عملية التصنيع، أمَّا أثناء خبز البورسلين في مخابر الأسنان فلا يحدث أيَّ تفاعل كيميائي، لكنَّ ما يحدث بالفعل هو انصهار الزجاج عند درجة حرارة أعلى من درجة التحول الزجاجي لتناسق بعملية تعرف بالتلبيب (sintering)، ومع استمرار التعرَّض لحرارة الخبز المرتفعة يسحل الزجاج أكثر وتقرب الجزيئات أكثر فأكثر ويملاً الزجاج المسال الفراغات الصغيرة بين تلك الحبيبات لحصول على كتلة صلبة متماسكة من البورسلين (Van Noort et al, 2002). يتقلَّص البورسلين في هذه المرحلة بنسبة 45–27% (Rasmussen et al, 1997) ويقلُّ التلبيب اليدوي الجيد لمزيج البورسلين قبل الخبز من هذا التقلَّص ليصل إلى 12–17%.

إنَّ توزيع حجم جزيئات البورسلين يُعتبر مهماً لضمان تكثيفها مع بعضها بشكل جيد، إذ تقوم الجزيئات الصغيرة بملء الفراغات بين الجزيئات الأكبر، وهذا ضروري للتقليل من تقلَّص البورسلين بعد الخبز (Rasmussen et al, 1997).

تعود أسباب تقلَّص البورسلين إلى:

1. تكثيف مزيج البورسلين وخسارته جزءاً من الماء.

2. احتراق المواد العضوية التي أضيفت إلى ماء المزج (نشاء، غليسيرين) عند تسخينه.

3. تقارب حبيبات المسحوق وإغلاقها المسامات فيما بينها عند خبزه.

إن التقلص الناتج عن التكثيف اليدوي واحتراق المواد العضوية يكون محدوداً ويمكن إهماله، أما التقلص الناتج عن خبز البورسلين فهو المسؤول عن تقلص كتلة البورسلين.

3.2.1.1.1 تصنيف البورسلين السني:

يُقسم البورسلين السني إلى أربعة أنواع وذلك حسب درجة حرارة انصهاره:

البورسلين عالي درجة الانصهار (درجة انصهاره من 1290°C إلى 1370°C).

البورسلين متوسط درجة الانصهار (درجة انصهاره من 1090°C إلى 1260°C).

البورسلين منخفض درجة الانصهار (درجة انصهاره من 870°C إلى 1070°C).

البورسلين الأكثر انخفاضاً بدرجة الانصهار (درجة انصهاره أقل من 850°C).

يُستخدم البورسلين عالي درجة الانصهار لصنع الأسنان البورسلينية الجاهزة للأجهزة السنية المتحركة، بينما يُستخدم البورسلين متوسط درجة الانصهار لصنع تيجان جاكيت البورسلينية للأسنان الأمامية، أما البورسلين منخفض درجة الانصهار والبورسلين الأكثر انخفاضاً بدرجة الانصهار فيُستخدمان لصنع التعويضات السنية الثابتة .(Manappallili et al, 2003)

طُور مؤخراً نوع خاص من النمطين الثالث والرابع من البورسلين، وأظهر تحسناً واضحاً في خصائصه، ويعود هذا التحسن إلى التعديل المُجرى على محتواه من بلورات اللوسيت، فقد خُفضت نسبتها لتصل إلى 8–10%， بينما تكون نسبتها في البورسلين عالي درجة الانصهار 35–40%， ويبلغ حجمها 3–13 ميكرونًا فقط مقارنة بحجمها الذي يبلغ 30 ميكرونًا في البورسلين منخفض درجة الانصهار التقليدي، وبهذا تتحسن درجة سحل الأسنان المقابلة مقارنة بالأنواع الأخرى (McLaren et al, 1998)

وتكون بلورات اللوسيت موزعة بشكل أكثر انتظاماً وتجانساً ضمن القالب الزجاجي، بينما تكون مرتبة على شكل مجموعات كبيرة الحجم في البورسلين الفلديباري التقليدي تاركة بذلك مساحات كبيرة من الزجاج خالية من البلورات، وبالتالي تكون هناك فرصة أكبر لتشكل التصدعات ضمن القالب الزجاجي، كما ينتج عن هذا التوزيع المتجانس للبلورات اللوسيت تحسن ملحوظ في الخصائص الفيزيائية للبورسلين (Kappert HF et al, 1996) كما أن هناك إمكانية استعمال خلائق ذات محتوى عالي من الذهب بسبب انخفاض درجة حرارة الخبز، وبالتالي تتحسن الناحية الجمالية. يتلاصق هذا النوع من البورسلين أكثر قليلاً من النوع التقليدي بسبب دقة حجم حبيبات المسحوق (McLaren et al, 1998).

2.1.2. الزيركونيا

1.2.1. ما هو الزيركونيا:

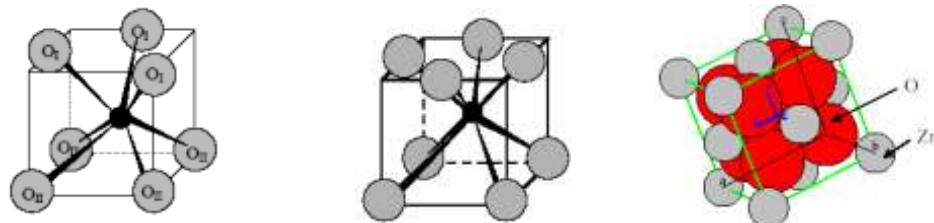
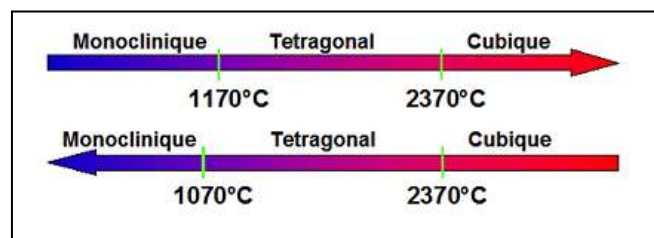
يُعرف علمياً بأوكسيد الزيركون، وهو يوجد في الطبيعة كفلزٍ على شكل بلوراتٍ من سيليكات الزيركونيا ZrSiO_4 والذي يتم إرجاعه للحصول على أوكسيد الزيركونيا يعود أصل الكلمة (الزيركونيوم) إلى **zargon** (ذهب اللون) الذي اشتقت من كلمتين فارسيتين **zar** (ذهب) و **gun** (لون). اكتشف ثانوي أكسيد الزيركون (الزيركونيا) من قبل الكيميائي الألماني **Martin Heinrich Klaproth** عام 1789 (Piconi et al, 1999)، وعزل من قبل الكيميائي السويدي **Jöns Jakob Berzelius** عام 1824، وهو يعتبر من العناصر النادرة إذ تبلغ نسبة وجوده في الأرض 0.025 %. تم اكتشافه عام **1789** و كان أول استخدام للزيركونيا في طب الأسنان عام **1990**، حيث استخدم في صنع الأوتاد الجذرية ودعامات الزرعات السنية والحاصلرات التقويمية (Jeong et al, 2002). ونظراً لخواصه الفيزيائية الممتازة ولونه الأبيض وتفوقه في التقبيل الحيوي استخدم كنواة داعمة للترميمات والتعويضات الخالية من المعدن (Conrad et al , 2007) تعتبر هذه المادة حالياً البديل الأساسي لكل الأنظمة الخالية من المعدن. ولفت الزيركونيا الأنظار في السنوات الأخيرة في مجالات طب الأسنان بسبب جودة خواصه الميكانيكية والكيميائية والحيوية (Ferraris et al, 2000 - Denry et al, 2008)، وخصوصاً عند مقارنتها بالخزف الفيلدسباتي وخزف اللوسيت وخزف الليثيوم ثنائي السيليكات

.(Tsumita et al, 2010 – Mehl et al, 2010 – Ozkurt et al, 2010)

فقد بلغت مقاومة الانحناء (1100 MPa - 900 MPa /m²)، والقساوة (10 - 8 MPa)، ومقاومة الضغط (2000 MPa)، والكتافة بعد التبييد (6.07 cm³/g) إضافةً إلى الاستقرار الكيميائي والتلاؤم الحيوي والخصائص البصرية المشابهة للأنسنان .(Aboushelib et al, 2000 – Piconi et al, 1999)

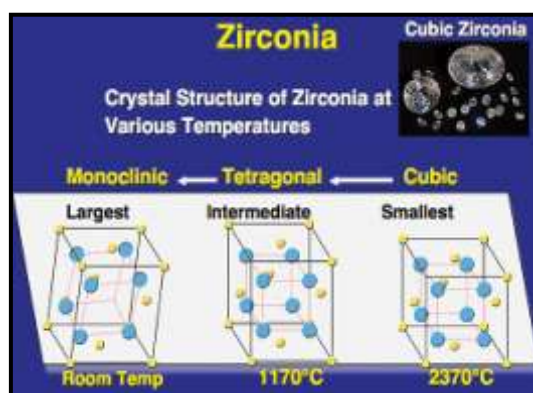
2.2.1 الخواص البنوية :

يوجد الزيركونيا في الطبيعة في ثلاثة أشكال بدون أن تتغير بنيته الكيميائية : الشكل الأحادي monoclinic (M)، والشكل المكعب cubic (C)، والشكل الرباعي tetragonal (T). الزيركونيا النقي في حرارة الغرفة يكون أحادي الطور ومستقراً حتى درجة الحرارة 1170 ° م و بينما يكون في الشكل الرباعي T في درجة حرارة ما بين 1170 ° م – 2370 ° م وبعد ذلك يتحول إلى الشكل المكعب عند الدرجة 2370 ° م حتى درجة الانصهار 2680 ° م. وإن التحول من الطور الرباعي إلى الطور الأحادي الانحراف عند التبريد باعتدال يكون مصحوباً بازدياد ملحوظ في الحجم الأحادي هذا التحول العكوس عند درجة حرارة 950 ° م (4.5~ %) ، وبدأ هذا التحول العكوس عند درجة حرارة 950 ° م .(Thompson et al, 2011)



مكعب $\rightarrow \approx 2370\text{ C}^{\circ}$ ← رباعي الوجوه $\rightarrow \approx 1170\text{ C}^{\circ}$ ← أحادي الانحراف

(Gremillard L, 2002)

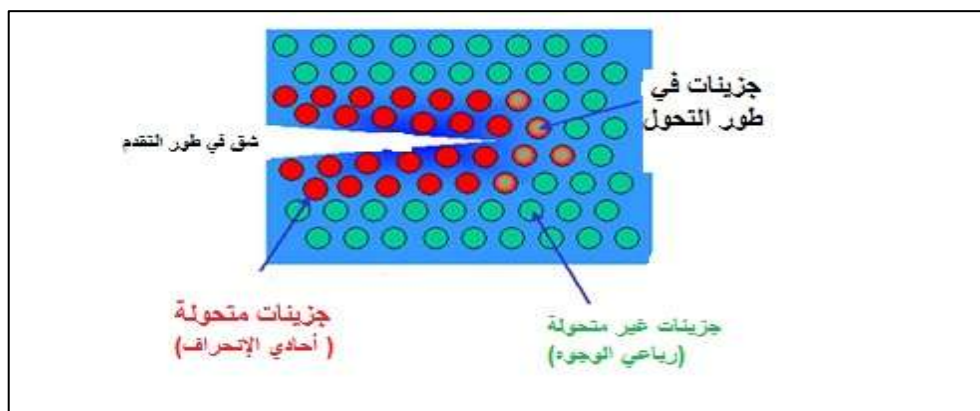


(Gremillard L, 2002)

إن إضافة أكسيد مثبتة مثل ($\text{CaO}-\text{MgO}-\text{CeO}_2-\text{Y}_2\text{O}_3$) إلى الزيروكونيوم النقي يسمح بثبيت الشكل الرباعي في درجة حرارة الغرفة، وبالتالي يسمح بالسيطرة على الضغط المحدث بالتحول من رباعي الوجوه (T) إلى أحادي الانحراف (M) و يكبح انتشار الصدع بفعالية وقود إلى قساوة عالية وهذا ما يعرف باسم الزيروكونيا المستقرة . (Garvie & Nicholson et al, 1972 - Heuer et al , 1986)(PSZ) جزئياً .

أثبتت الدراسات أن الزيركونيا المعالج بأوكسيد البيتيريوم يمتلك خصائص ميكانيكية أعلى من الأنواع الأخرى، وعلى الرغم من أن تثبيت هذا النوع صعب لكنه أكثر الأنواع استخداماً في المجالات الطبية (Manicone et al, 2007).

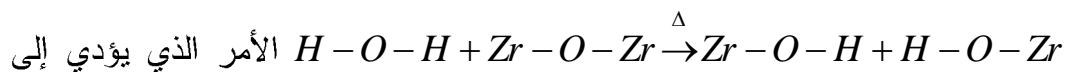
تسبب إجهادات الشد المتشكلة عند منطقة التصدعات تحولاً في بنية الزيركونيا من الشكل الرباعي إلى الشكل الأحادي و يتراافق ذلك مع زيادة في حجم البلورات بنسبة 3-5% مما يولد إجهادات ضغط حول منطقة التصدع تمنع الصدع من الامتداد مما يعطي الترميم ثباتاً و مقاومة كبيرة للتصدعات في الحفرة الفموية. و صلت مقاومة الكسر في إحدى الدراسات إلى 2000 نيوتن إذ تم في هذه الدراسة تطبيق ضغط مستمر على جسور من ثلاثة وحدات (Tinschert et al, 2001)، كما سجلت دراسات أخرى مقاومة التواء (Guazzato et al, 2004 - Brochu et al, 2000) (1200-900 MPa).



شكل (3) التحولات البنوية بينية الزيركونيا بسبب إجهادات الشد (Lothar P, 2006)

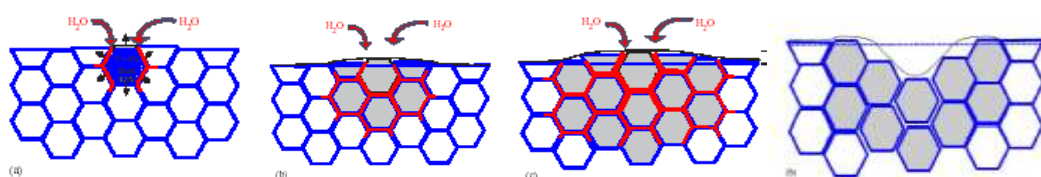
جدير بالذكر بأن الحرارة الرطبة هي من العوامل المحرضة على التحولات من الشكل الرباعي إلى الشكل الأحادي (Stevens et al, 1986) ولكن بتأثير سلبي على الزركونيا، لأن الماء المماس لسطح الزركونيا يتفاعل، لدى ارتفاع درجة الحرارة، مع

جزئيات الزركونيا مفككة للرابط Zr-O-Zr وفقاً لِلتفاعل



انتشار الشقوق بشكل بطيء وصامت كما في الشكل (4).

في الوقت نفسه تحرض جزيئات الماء المتسرية داخل التشققات تحولاً في بنية الزيركونيا من الشكل الرباعي إلى الشكل الأحادي مسببة، نتيجة الزيادة الحجمية المرافقة، بروزات على سطح الزركونيا سهلة الانتفاع لدى التعرض لقوى الاحتكاك الشكل (5). لذلك ينصح بالتوقف عن استعمال الأوتوكلاف في تعقيم زرارات الزركونيا السنية الأمر الذي يضعف من خصائصها الميكانيكية ويؤدي بها للكسر كما حصل مع رأس المفصل الوركي (المصنوع من الزركونيا Prozir ®).



شكل (4) تفتت الزركون بفعل التحولات البنوية الحرارية المائية (Gremillard L, 2002)

3.2.1. التقبيل الحيوي للترميمات المقواة بنواة الـزيركونيا:

تعتبر هذه الترميمات ذات تقبيلٍ حيويٍ ممتازٍ في الحفرة الفموية وذلك للأسباب التالية:

1.3.2.1. البنية المجهرية للـزيركونيا :

يعتبر هذا النظام خالياً من الزجاج وذا بنية مجهرية متعددة البلورات أو مايسمي بالمادة متعددة البلورات عالية الكثافة ويتراوح حجم البلورات بين 200-300 ميكرون، مما يعطيه

مقاومةً كبيرةً للتآكل بالوسط الفموي (Studart et al, 2007) تعتبر الترميمات المصنعة من هذا النظام عازلةً للمؤثرات الحرارية كغيرها من الترميمات الخزفية الخالية من المعدن، لذلك تساهم هذه الترميمات في التخفيف من الناقصية الحرارية التي يمكن أن تسبب التخريش اللبي (Raigradoski et al, 2001). و التخلص من الحساسية الناتجة عن استخدام الخلاط المعدني (Hansen et al, 1997).

درس التقبيل الحيوي للترميمات المقواة بنواة الزيركونيا الصافي مخبرياً وسريرياً ولم تلاحظ أية تأثيراتٍ مرضيةٍ سينيةٍ موضعيةٍ أو جهازيةٍ (Scarano et al, 2003 - Ichikawa et al, 1992). أظهرت بعض الدراسات بأن تراكم اللويحة الجرثومية حول هذه المادة هو أقل من التيتانيوم، وكانت الجراثيم المتسلكة عصوية الشكل (Scarano et al, 2002 - Rimondini et al, 2004). تناولت التقييم المخبري للقدرة المسرطنة للزيركونيوم النقي بأن ليس له أية تأثيراتٍ مسرطنةٍ للخلايا الحية (Covacciv et al, 1999).

4.2.1 استطبابات الزيركونيا:

يستطبب الزيركونيا في صناعة:

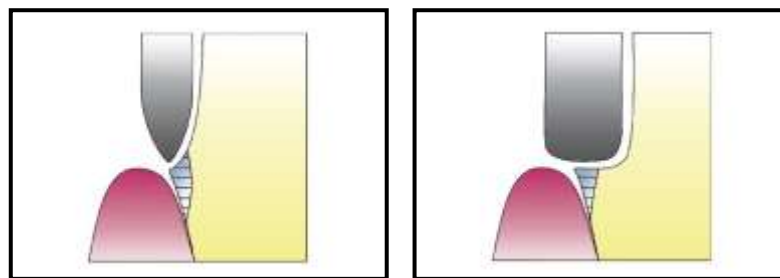
- ❖ القلوب والأوتاد الجذرية (Koutayas et al, 1999).
- ❖ دعامات الزرعات.
- ❖ التيجان المفردة الأمامية والخلفية (Vult et al, 2006).

- ❖ التعويضات المتحركة الجزئية (Sturzenegger et al, 2000)
- ❖ جسور الحشوat.
- ❖ الجسور الطويلة والتعويضات فوق الزرع.

فيما يتعلق بتحضير الأسنان لاستقبال تيجان الزيركونيا فإن الكتف دور الزاوية بعرض 1م يستخدم من أجل التوزيع الأمثل للقوى الإطباقية على الأسنان الداعمة خلال الوظيفة (Vult Von et al, 2005). يجب ألا تقل كمية التحضير عن 1.2-1.5 ملم على

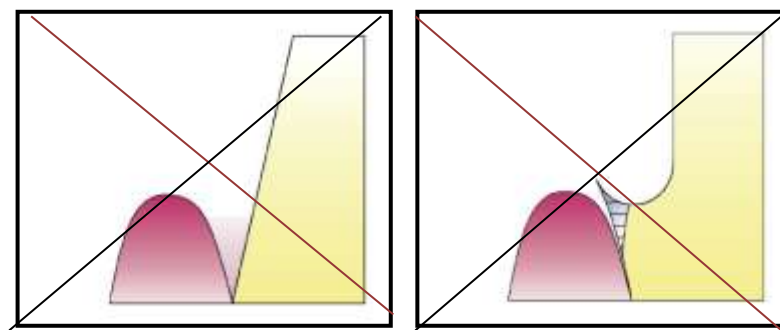
كامل محيط السن، كما أن خط الإناء يجب أن يكون إما كتفاً، أو شبه كتف عميق، ويشكل زاوية قائمة مع المحور الطولي للسن المحضر. لا ينصح بتحضير خط الإناء على شكل حد السكين في الترميمات الخزفية الخالية من المعدن، لأن الإجهادات تتركز في المناطق ذات الثخانات الرقيقة من الترميم، و التي تنتج عن التحضير غير الكافي، وخصوصاً في منطقة الحواف (Comlekoglu et al, 2009 – Lin et al, 1998)

أكد كل من McLaren و Hyo عام 2006 أن ثخانة التحضير من الناحية الدهليزية للسن يجب ألا تقل عن 1.5 ملم في ترميمات الزيركونيا، وذلك للوصول إلى ناحية تجميلية جيدة من جهة، وللحصول على قنسوة زيركونية لا تقل ثخانتها عن 0.3 ملم، كما بينا أن تخفيض الحد القاطع بمقدار 2 ملم يعطي نواحي تجميلية أفضل، إن تحضير السطوح المحورية والسطح اللسانى بمقدار 1 ملم كاف للحصول على ترميم جيد (McLaren & Hyo et al, 2006)



خط إنتهاء شبه كتف عميق

خط إنتهاء الكتف مدور الزاوية



خط إنتهاء على شكل حد السكين

خط إنتهاء بشكل J

شكل (5) خطوط إنتهاء للتحضير من أجل الترميمات الخزفية (Lothar P, 2006)

5.2.1 مضادات استطباب الزيبركونيا:

❖ الجسور التي تحتاج إلى وصلات إحكام.

❖ عدم وجود مسافات إطباقية ومحورية كافية.

3.1 طرق تصنيع التعويضات الزيبركونية:

1.3.1 نظام الخزف المقوى بنواة أوكسيد الألمنيوم المشربة

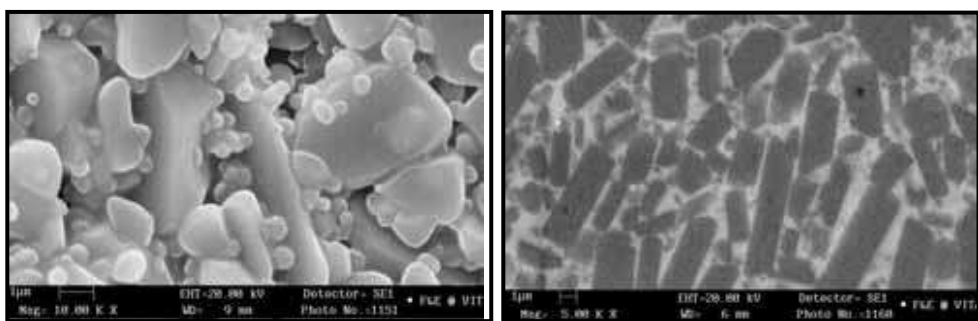
بالزجاج (In – ceram):

مادة حيوية أوجدها ميخائيل سعدون عام (Sadoun et al, 1985) مؤلفة من مزيج من الألومنيوم (أوكسيد الألمنيوم 85% وزناً) والزجاج (أوكسيد السيلسيوم 15%) تستخدم

كبنية تحتية بديلة عن المعدن في مجال التيجان و الجسور. قام سعدون بتحسين الخواص الميكانيكية للإنسرام في عام 1989 وذلك بإفحام الزركون في الخليطة بنسبة 33% ليقي كل من الألومين والزجاج 66% و 1% على الترتيب. الأمر الذي مكن من استخدام الإنسرام في الجسور الأمامية و الخلفية القصيرة.

أجيال نظام الغزو المقوى بنواعة الألومينا المشربة بالزجاج :

يوجد عدة أجيال لهذا النظام حسب (Rosenstiel et al, 2006) :
نظام الألومينا المشرب بالزجاج (الجيل الأول) :
يعتمد هذا الجيل على استخدام نوأة مرکبة من أوكسيد الألمنيوم مشبعة بالزجاج المشرب بدرجات حرارة عالية. يعتبر هذا النظام أول نظام استخدم لصنع جسورٍ أماميةٍ من ثلاث وحداتٍ. تركيب النواة من أوكسيد الألمنيوم Al_2O_3 بنسبة 70% مشربة بزجاج لانثانيوم - صوديوم (Sodium-Lanthanum) بنسبة 30% حسب (Anusavice et al, 2003) . يمكن مشاهدة البنية المجهرية التالية لمقطعٍ في نواةٍ مصنوعةٍ وفق هذا النظام تحت المجهر الإلكتروني :



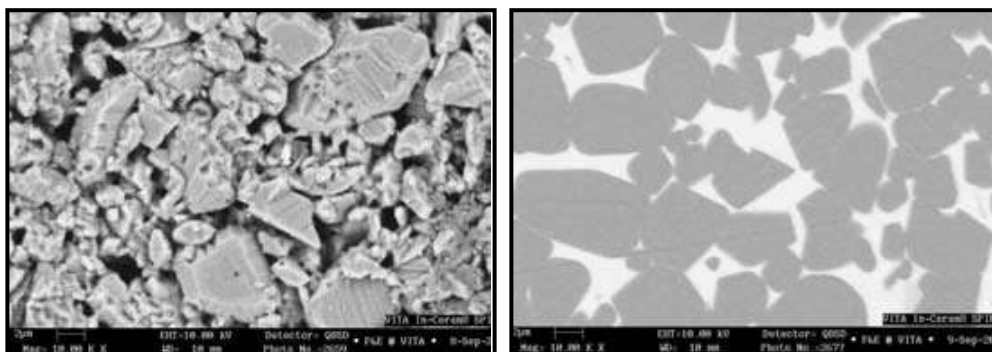
شكل (6) البنية البلورية لنظام In-ceram Alumina (تكبير $\times 5000$ و تكبير $\times 1000$)

تتميز الترميمات المصنعة وفق هذا النظام بمقاومةٍ عاليةٍ للاحتواء تفوق الخزف الفيلدسباتي التقليدي بثلاثة أو أربعة أضعافٍ لكونها عالية المحتوى من البلورات (Giordano et al, 1995 - Della et al, 2002) و لا ينصح على العموم باستخدام هذا النظام في تصنيع الجسور الخلفية، حيث يؤكّد معظم الباحثون من خلال خبراتهم العملية أن نسبةً تفوق 30% من الجسور الخلفية المصنعة من هذا النظام تفشل خلال سنتين من تثبيت الترميم (Sorensen et al, 1998) بينما يمكن استخدام هذا النظام في تصنيع جسورٍ أماميةٍ من ثلاثة وحداتٍ (Sorensen et al, 1992). تعتمد الخواص الميكانيكية الجيدة لهذا النظام على قدرة بلورات الألومنينا على عكس التصدعات مما يمنع امتدادها ضمن الترميم ، كما أن ترکز الإجهادات في منطقة القالب الزجاجي حول بلورات الألومنينا يلعب الدور نفسه في عكس التصدعات (Della et al, 2007).

نظام In-ceram Spinell (الجيل الثاني) :

تم تطوير هذا الجيل نظراً للظلالية العالية التي يتمتع بها الجيل الأول. يمتاز هذا الجيل بأنه أكثر شفوفيةً، إذ تعد شفافية النواة المصنعة من هذا الجيل مماثلةً تقريرياً لشفافية العاج السني وبالتالي يعتبر أكثر استطباباً في الناحية التجميلية وبالتالي يعتبر أكثر استطباباً في الناحية الأمامية (Ironside et al, 1993)، تتركب النواة من الألومنينا والمعنيزيا المشربة الزجاج ($MgAl_2O_4$).

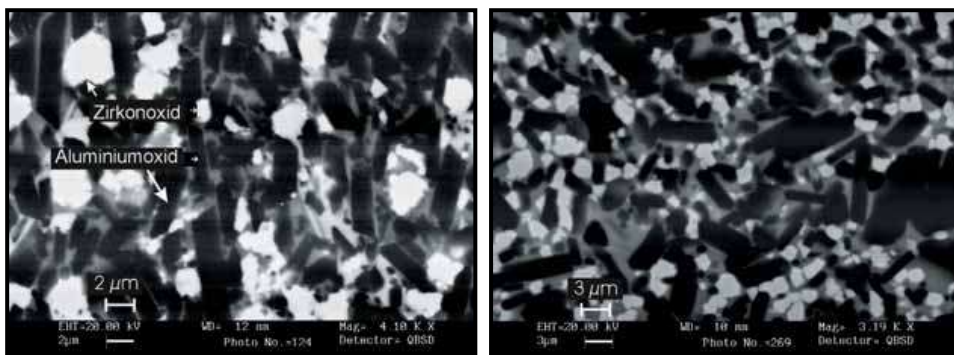
يمكن مشاهدة البنية المجهرية التالية لقطعٍ في نواةٍ مصنوعةٍ وفق هذا النظام تحت المجهر الإلكتروني :



شكل (7) البنية البلورية لنظام In-ceram Spinell (تكبير $\times 5000$ و تكبير $\times 1000$)

نظام In-ceram Zirconia (الجيل الثالث) :

طور هذا الجيل للحصول على ترميماتِ أمنٍ و ذات مقاومةٍ عاليةٍ للكسر ليتم استخدامها كجسورٍ في المنطقة الخالية. لا ينصح باستخدام هذه الترميمات في المنطقة الأمامية بسبب ضعف شفوفيتها. تتركب النواة من بلورات أوكسيد الألミニوم وأوكسيد الزيركونيا مبعثرةً ضمن قالب زجاجي، نسبة الألومنينا والزيركونيا والقالب الزجاجي هي 20-25-55% على التوالي (Murat et al, 2009) يُبدي المركب ألومنينا - زيركونيا المشرب بالزجاج بنيةً مجهريةً خشنةً مع وجود حبيبات بلورات الألومنينا والزيركونيا التي يتراوح حجمها بين (2-10) ميكرونات مبعثرةً ضمن القالب الزجاجي. يختلف المحتوى البلوري بعد الصقل والتلميع .(Murat et al, 2009)



شكل (8) البنية البلورية لنظام In-ceram Zirconia (تكبير $\times 5000$)

يلعب أوكسيد الزيركونيا دوراً في زيادة مقاومة الترميمات للكسر بآلية التحول الذري وهي التي تم شرحها سابقاً (Guazzato et al, 2002)

2.3.1. تقنيات تصميم نظام الغزف المقوى بنواة أوكسيد

الألمانيوم المشربة بالزجاج :

يتم تصميم الأجيال الثلاثة السابقة إما بالتقنية التقليدية اليدوية (Slip-cast) أو باستخدام تقنية التصنيع الآلي بمساعدة الكمبيوتر أو ما يسمى نظام CAD/CAM كنظام التقنية التصنيع الآلي (Raigrodski et al, 2004) . تميز التقنية الأخيرة بإعطائها نواة داعمة قليلة المسامات مقارنةً بالتقنية التقليدية. تلعب المسامات المتشكلة في النواة أثناء تصنيعها دوراً في إضعاف الخواص الميكانيكية للنواة لكونها تتشكل نقاط ضعفٍ في الترميم (McLaren et al, 1998)

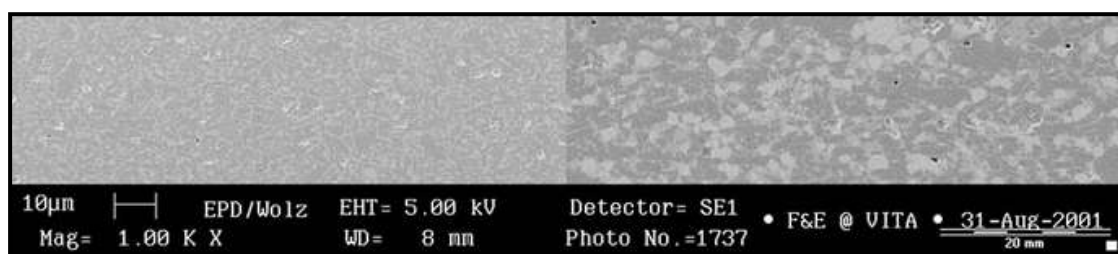
1.2.3.1 تقنية Slip-cast حسب (Rosenstiel et al, 2006) :

تعتبر هذه التقنية تقنيةً تقليديةً في صناعة الخزف، تعتمد على استخدام معلق من بلوراتٍ خزفيةٍ في الماء (حاويةٍ على بلورات الألومنيا). يُطبق المعلق على نموذجٍ خاصٍ للسن المحضره مصنوعً من المسحوق الكاسي ليتحمل درجات الحرارة العالية ويمتص بدوره الماء من المعلق مما يؤدي لتكثيف المزيج على النموذج. يُخزى بعدها النموذج بالفرن بدرجة حرارةٍ تصل إلى 1150°C ، إذ يتخلص النموذج بشكلٍ أكبر من المعلق مما يسمح بنزع النواة الناتجة من النموذج بسهولةٍ. يتم بعدها تشريب النواة الناتجة ذات المسامية العالية بالزجاج. تبدي النواة الناتجة بهذه التقنية مساميةً وعيوبًا أقل مقارنةً بالخزف التقليدي. يُنصح باستخدام كلٍّ من **Vitadur Alpha** أو **VM7** لشركة **Vita** (في بناء الشكل التشريري الخارجي فوق النواة المصنعة بأي جيل من الأجيال الثلاثة).

يعتبر الانطباق الحفافي للترميمات المصنوعة وفق هذا النظام المعتمد على التقنية التقليدية بأجياله الثلاثة قليلاً مقارنةً بالأنظمة الأخرى، إذ سجل (Suliman et al, 1997) بأجياله الثلاثة انطباقاً ضعيفاً لهذا النظام (قيمة الفجوة الحفافية 161 ميكروناً) مقارنةً بنظام **Procera** (83 ميكروناً) ونظام **Empress** (63 ميكروناً). بينما سُجلت دراسات أخرى انطباقاً حفافياً جيداً (Shearer et al, 1996) يُعزى الاختلاف بين نتائج الدراسات لكون هذا النظام حساساً جداً للإجراءات المخبرية ويحتاج إلى فني أسنانٍ ذي خبرةٍ عاليةٍ (Rosenstiel et al, 2006).

نظام Wol-ceram 2.2.3.1

نظام Wol-ceram وضع من قبل Stephane Wolz لإنجاز قبعات للتيجان الخزفية، و الجسور الخزفية المؤلفة من ثلاثة وحدات سنية و الدعامات فوق الزرعات بشكل أوتوماتيكي، وذلك باستخدام حصري لمواد Inceram-vita بطريقة المعلق المائي (Slip-casting) (GOBERT et al, 2004). يستخدم أوكسيد الألمنيوم في 95% من الحالات لأن طريقة الترحال الكهربائي تمنحه صفات ميكانيكية مشابهة لأوكسيد الزركونيوم المصنوع بالطريقة نفسها، و يسمح الترحال الكهربائي بزيادة كثافة السيراميك والتقليل من نسبة الزجاج المرت翔. في حالة الإنسرام (أوكسيد الألمنيوم) تتوزع الجزيئات المتوسطة الحجم (5-2 ميكروناً) بمنهجية ثنائية الشكل. والبنية الطبوسورية تتشكل بخبز المنتج بدرجة حرارة 1140° حيث تربط جزيئات أوكسيد الألمنيوم باستطلاعات الاندماج السطحية المتوضعة بنقاط التماس.



شكل (9) بنية الترحال الكهربائي لحببات أوكسيد الزركونيوم (يسار) و أوكسيد الألمنيوم (يمين) (Benoit G, 2004)

ميزات نظام Wol-ceram :

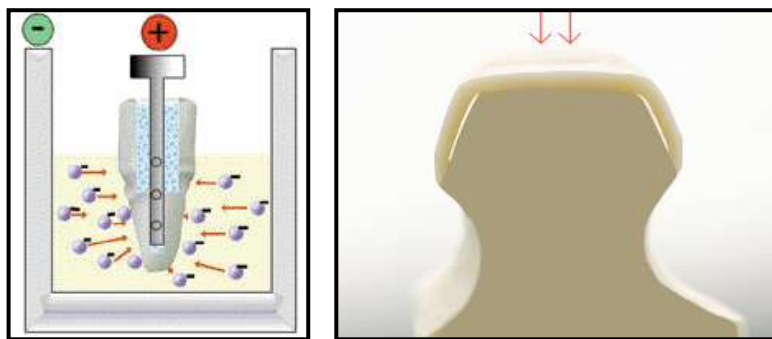
- يقدم نوعية و سهولة في العمل، و قصراً في وقت التصنيع، و انخفاضاً في سعر التكلفة. إذ إن الشوارد المترسبة بالترحال الكهربائي مباشرةً على المثال الرئيسي تلغى

الأخطاء المتراكمة من عملية المسح الضوئي (scan) و نسخ المثال و تقطيع المثال الرئيسي، و التشميم أو الصب الخ.....

- الصناعة الدقيقة جداً للقبعات، و الجسور الخزفية و الدعامات فوق الزرعات. يغطس التوأم في أوكسيد الألミニوم أو الزركونيوم لكسوها بطريقة الرحلان الكهربائي بشوارد السيراميك Electro Layreing Ceramic (ELC) لتشكيل قبعة ذات انطباق داخلي صميمي مع صادمة إطباقية مانعة لحركة القبعة دورانها. تظهر الثخانة المرادة في نهاية العملية التي يقودها برنامج لا CAM - ELC بشكل أوتوماتيكي .(PELEKANOS et al, 2009)

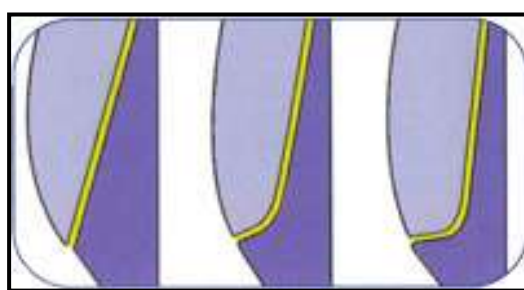
نظام الترسيب الكهربائي (Electro Layering System) : عملية تبدأ عندما يغطس التوأم بتعليق الإنسرام، عند هذه اللحظة تطبق شحنة كهربائية بتعليق الإنسرام و شحنة معاكسة للتوأم ، يجذب فرق الكمون المطبق مواد الإنسرام إلى التوأم ليشكل قبعة خارجية كثيفة ومتجانسة.

- تعطي للطبيب إمكانية التحكم بمسافات الإلصاق و ثخانة المادة اللاصقة (من خلال عملية التشميم)، إذ يظهر ختم صميمي للقبعة على السطوح الإطباقية (صدامات إطباقية) و حواف التحضير، مع ترك مسافة للمادة اللاصقة على السطح الجدارية. الأمر الذي يساعد على امتصاص الضغوط الإطباقية الموجهة على السطح الإطبaci للقبعة و يقلل من إمكانية كسره، كذلك يساعد على إمكانية استخدام الأسمنت الراتجي ذي الثخانات الرقيقة (PELEKANOS et al, 2009).



شكل (10) ختم القبعة و حواف التحضير طريقة الرحلان الكهربائي بشوارد السيراميك (Benoit G, 2004 ELC)

- يتاسب هذا النظام مع كل أنواع التحضير و لا يحتاج إلى أي نوع معين من التحضير.



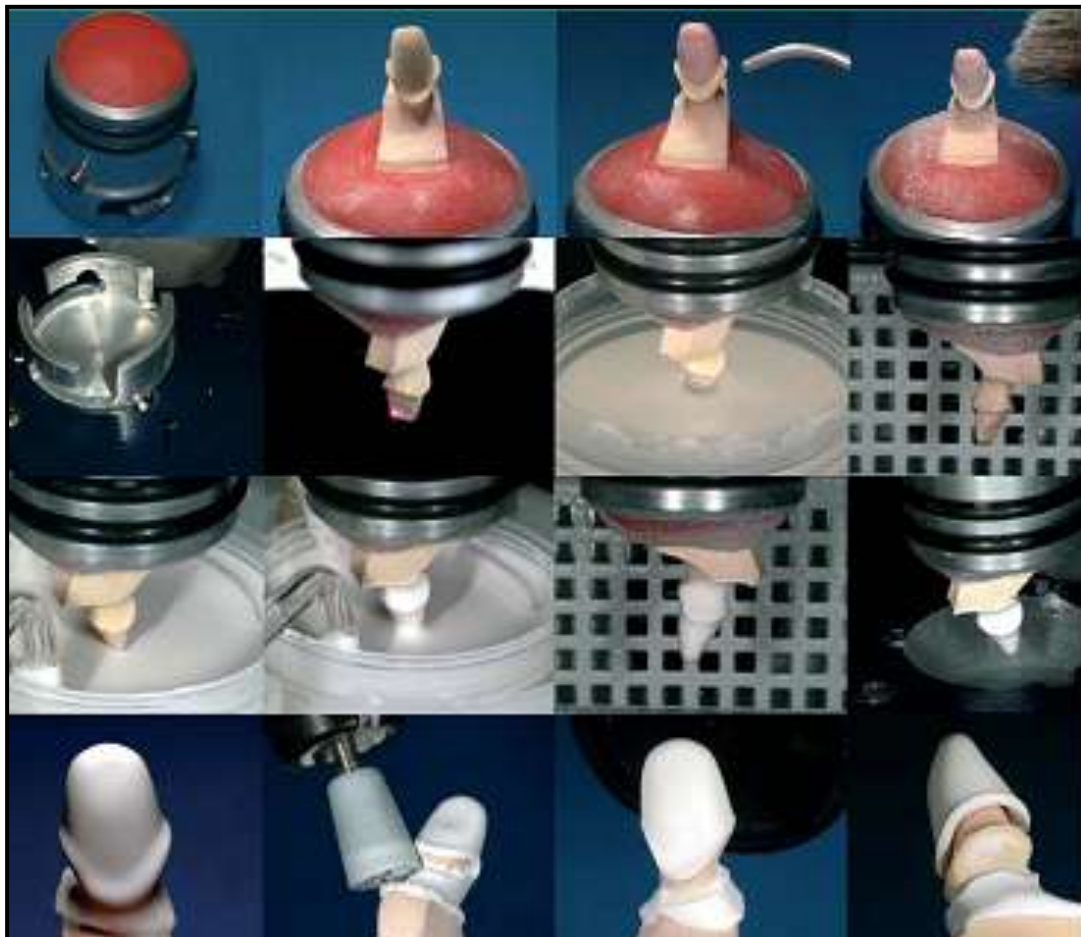
شكل (11) حواف التحضير (Benoit G, 2004)

- قبعات **Wol - ceram** تملك صفات ميكانيكية تضعها في الجانب الآمن سريرياً.

- سرعة التصنيع و إقتصادية المواد الأولية: هذا النظام مهياً للاستخدام بأي مختبر و له سعة إنتاجية بمعدل 80 قبعة في اليوم، عدا عن سرعته في الإنتاج (8-9 د) لتحضير قبعة منفردة متضمنة تحضير التوعم، (35 د) لتحضير جسر من ثلاثة عناصر سنية بالترحال الكهربائي، (25 د) لتحضير دعامة لزرعه سنية.

- والجدير بالذكر أن مادة الترحال الكهربائي تملك تقلصاً مهماً (0,05)، وتسمح هذه الطريقة بإنتاج تزو في المستوى الداخلي يصل إلى (10°) بدقة عالية.

- القبعة المصنوعة بهذا النظام أصبحت الأقل سعراً في السوق أخذين بعين الاعتبار المواد الأولية و آلة التصنيع.
- ميزات وصفات ميكانيكية عالية، مع انتظام حفافيّ صميميّ.



شكل (12) المراحل المتتابعة لصنع قبعة (Benoit G, 2004) Wol-ceram



شكل (13) المراحل المتتابعة لصنع جسر (Benoit G, 2004) Wol-ceram

3.2.3.1 : تقنية التصنيع الآلي بمساعدة الكمبيوتر : CAD/CAM

(Computer-aided design and computer aided manufacturing)

تعريف المصطلح : (CAD) Computer-Aided Design التصميم بمساعدة

الحاسب (CAM) Computer Aided Manufacturing التصنيع بمساعدة

الحاسب. مما لا شك فيه أن تقنيات المعالجة والمواد المستخدمة في صناعة الأسنان قد

شهدت تطويراً بشكل مستمر خلال السنتين الخمسين الماضية، وخاصة في مجال طب

الأسنان الترميمي والتعويضات السنية. ونظراً لأن هذه المواد قد طورت بشكل غير

متلائم مع تقنية المعالجة السنية التقليدية فقد تم إدخال أنظمة المعالجة المتغيرة وتقنياتها

إلى الصناعة. ومن الحلول لذلك إدخال تقنية **CAD/CAM** إذ تواصلت البحوث وعمليات التطوير في أنظمة **CAD/CAM** السنية بشكل واسع منذ عام 1980 (Hikita et al, 1989 – Mörmann et al, 1989) أنظمة **CAD/CAM** فيما يتعلق بطب الأسنان حدث في عام 1980، إذ ساهموا في تطوير أنظمة **CAD/CAM** السنية الحالية.

كان الباحث **Duret** الأول في مجال تطوير أنظمة **CAD/CAM** السنية، ففي عام 1971 بدأ بتصنيع التيجان بشكل وظيفي مع سطح إطبافي باستخدام سلسلة من الأنظمة بدأت بأخذ طبعة للسن الداعمة في الفم تلاها تصميم التاج، آخذًا بعين الاعتبار الحركة الوظيفية ، ثم بعد ذلك قام بناحت التاج باستخدام آلة نحت مضبوطة رقمياً. ثم قام فيما بعد بتطوير نظام (**SOPHA Bioconcept System**) الذي كان له تأثير ملحوظ في التطورات اللاحقة في أنظمة **CAD/CAM** في العالم **CEREC** قد قام بتطوير نظام **Mörmann** (Duret et al, 1991) عام 1989، إذ حاول استخدام تقنية جديدة في المراكز السنية يمكن تطبيقها بشكل سريري على كرسي الأسنان **chair-side**. وقام بإجراء قياس مباشر داخل التجويف الفموي باستخدام كاميرا داخل فموية، ثم تلا ذلك إجراء التصميم المناسب ثم نحت الحشوة المصبوبة **inlay** من قالب خزفي باستخدام آلة مدمجة موضوعة في **chair-side** (Anderson et al, 1989). وأما الثالث في هذا المجال فهو الباحث **Mörmann et al, 1989** المطور لنظام **Procera** عام 1993، والذي اعتمد على مجس يستند إلى سطح السن

المحضرة لنقل أبعاده و نحت قالب خزفي أو معدنی يحاکي تلك السطوح السنیة

. (Andersson et al, 1993)

استعراض لأنظمة الـ **CAD/CAM** المعروفة (Liu et al, 2005)

جدول (1) استعراض لأنظمة الـ **CAD/CAM** المعروفة

عملية التصنيع	برنامج التصميم	آلية المسح	مركز العمليات	سنة الإصدار	النظام
أوتوماتيكي بالكامل	نعم، تصميم وقاعدة بيانات	ضوئي	العيادة	2000	Cerec 3
أوتوماتيكي بالكامل	نعم، تصميم وقاعدة بيانات	ليزری	مخبر سنی	2001	Cerec inLab
أوتوماتيكي بالكامل	نعم، تصميم وقاعدة بيانات	ضوئي	مخبر سنی	1989	DCS precedent
أوتوماتيكي بالكامل	نعم، تصميم وقاعدة بيانات	يدوي	السويد	1993	Procera
أوتوماتيكي بالكامل	نعم، تصميم وقاعدة بيانات	ضوئي	مخبر سنی	2002	Lava
أوتوماتيكي بالكامل	نعم، تصميم وقاعدة بيانات	ضوئي	مخبر سنی	2002	Everest
أوتوماتيكي بالكامل	لا	ليزری	مخبر سنی	2001	Cercon
أوتوماتيكي بالكامل	نعم، تصميم وقاعدة بيانات	ليزری	مخبر سنی	2006	Amanngirrbach

:(**CAD/CAM** في مواد الترميم

إن المواد الخزفية المألوفة التي استخدمت في بداية عمليات الترميم السنی **CAD/CAM**

مثل **Dicor** أو **Vita Mark II**، على الرغم من أنها أحادیة اللون فإنها توفر

جمالية ، تقبلاً حيوياً ممتازاً و استقراراً لونياً رائعاً (McLean et al, 1984)، وقد تم استخدامها بشكل ناجح في الحشوارات داخل التاجية والمغطية والوجوه الخزفية والتيجان (Posselt et al, 2003 - Sjogren et al, 2004 - Bindl et al, 2004) . على الرغم من ذلك فإن Vita Mark II و Dicor ليستا قويتين بما يكفي لتحمل الإطباق عندما يستخدمان في التيجان الخلفية و لهذا السبب فإن مواد الألومينا أصبحت مستخدمة بشكل واسع على أنها مواد ترميم سنية (Lampe et al, 1996) . وإن هذه المواد الخزفية قد لا تكون فعالة دون مساعدة تقنية الـ CAD/CAM ، فمثلاً In-Ceram التي طورها في البداية Sadoun et Degrange ، أظهرت أن لها قوة جيدة و أداءً سريريًّا جيداً (Probster et al, 1996 – Scotti et al, 1995) ، ولكن تحتاج صناعة In-Ceram بالطريقة المعتادة إلى 14 ساعة ، بينما Cerec inLab تقلل زمن التصنيع بنسبة 90% (Hickel et al, 1997) . كما يمكن تطبيق أنظمة CAD/CAM على الترميمات الخزفية المعدنية ، فمثلاً نظام DCS يستطيع صناعة قلنسوات من خليط التيتانيوم بدقة ممتازة (Besimo et al, 1997) . وتفتت العديد من الدراسات توسيع تقنية الـ CAD/CAM إلى صناعة تعويضات فكية وجهية مثل الأذن الصناعية (Carpentieri et al, 2004 - Yeo et al, 2003) . كما استخدمت تقنية CAD/CAM في التعويضات فوق الزرعات لإعادة تأهيل الفم وفي تصنيع الدعامات الزيركونية (Rieger et al, 2008) .

جدول (2) جدول يوضح المواد المستخدمة في أنظمة CAD/CAM (Liu et al, 2005)

مقاومة الشد	الصاق اعتمادي	اسمنت راتجي	الاستطبابات	نظام CAD/CAM	مادة الترميم
<100 MPa	لا	ثنائية التصلب	Inlay, onlay وجوه خزفية	Cerec	Dicor MCG
150MPa	لا	ثنائية التصلب	Inlay, onlay وجوه خزفية، تيجان أمامية	Cerec	Vita Mark II
150 MPa	لا	ثنائية التصلب	Inlay, onlay وجوه خزفية، تيجان أمامية	Cerec	بروكاد لوسبيت مقوى
350MPa	نعم	كيميائي	تيجان وجسور أمامية	Cerec 3D Cerec inlab	In-Ceram Spinell أوكسيد المغنزيوم
500 MPa	نعم	كيميائي	تيجان أمامية	Cerec3D Cerecinlab DCS Precedent	In-Ceram Alumina أوكسيد الألمنيوم
600 MPa	نعم	كيميائي	تيجان و جسور	Procera	ألومنيا أوكسيد الألمنيوم
750 MPa	نعم	كيميائي	تيجان و جسور	Cerec 3D Cerec inlab DCS Precedent	In-Ceram zirconia أوكسيد الزيركونيوم
>1000 MPa	نعم	كيميائي	تيجان و جسور	DCS Precedent Lava Procera Everest Cercon	الزيركونيا جزئية التلبييد أوكسيد الزيركونيوم
>1000 MPa	نعم	كيميائي	تيجان و جسور	DCS Precedent, Everest	الزيركونيا كاملة التلبييد أوكسيد الزيركونيوم

المرقمات والمساحات:

إن معظم أنظمة **CAD/CAM** التجارية الحالية تستخدم مثلاً جبساً نقطة للبدء، إذ يتم قياس سطح النموذج الحجري باستخدام العديد من أدوات القياس و ذلك بهدف الحصول على بيانات رقمية توضح شكل السن المحضر، تدعى أدوات القياس هذه بالمرقمات و المساحات. و الطرائق المتوفرة حالياً للاستخدام العملي هي

: (Persson et al, 1995)

- المسبار التماسي contact probe

- مقياس الانزياح الليزري.

عندما يستخدم مسبار ذو نهاية دقيقة، حتى لو كان متقدماً بشدة، فإنه يأخذ وقتاً لمسح السطح. إن مقياس الانزياح الليزري غير مرتفع الثمن نسبياً ويمكن من خلاله إجراء القياسات بوقت أقل مما هو عليه عند استخدام المسبار التماسي و لكن عند استخدام حزمة الليزر المنبعثة فإن الدقة تقل لأن الضوء المنعكس يؤثر في الحساس (Kobayashi et al, 2000 - Kobayashi et al, 1999)

أنظمة **CAD/CAM** التي تستخدم المسبار التماسي أو الليزري لتسجيل تفاصيل النموذج السنوي و نقله كانا متشابهين من حيث الدقة مع تفوق المسبار التماسي تقريراً بنسبة 10 ميكرونات (Persson et al, 2006). هناك نوعان من قوالب أوكسيد الزيركونيوم المتاحة حالياً في تطبيقات **CAD/CAM** :

❖ القوالب الكثيفة الملبدة بشكل كامل (القوالب القاسية).

❖ القوالب الملبدة جزئياً (القوالب الطيرية).

القوالب القاسية: تُسوق بعد معالجة حرارية كاملة (إلى درجة الحرارة 1500°C لمدة ساعتين)

حتى الوصول إلى الكثافة العظمى للمادة. وتميز هذه القوالب بصعوبة نحتها حيث تتطلب

أجهزة نحت (FAO) عالية التجهيز ومزودة بسبابل فعالة تُجَدَّد باستمرار ولكن

بالمحصلة نحصل على القطعة التعويضية بالأبعاد المرجوة جاهزة للاستعمال مباشرة

الأمر الذي يضمن انطباق حفافي أكثر دقة. أما القوالب الطيرية تُسوق بعد معالجة حرارية

جزئية تبقى على شكل شبكة مسامية داخلية مما يسهل عملية نحتها. ولكن القطعة

التعويضية الناتجة ما زالت تحتاج إلى معالجة حرارية متممة لإزالة الشبكة المسامية مما

يعرضها لتقلص حجمي مقداره (0.3%) الأمر الذي يجب أخذه بعين الاعتبار

لدى برمجة جهاز (CAO). وقد تتعرض القطعة التعويضية وخاصة في حالة

الجسور الطويلة إلى قليل من الانثناء مسبباً وجود خلل بسيط في الانطباق الحفافي

. (Arikó et al, 2003 – Hertlein et al, 2001)

مميزات استخدام تقنية CAD/CAM :

1- استعمال مواد جديدة وقوية.

2- تقليل الجهد.

3- توفير الوقت.

4- التحكم بالنوعية.

5- القدرة على تقليل الأخطاء التقنية.

4.1. الانطباق الحفافي (Marginal fit)

بعد الانطباق الحفافي من أهم عوامل نجاح أي تعويضٍ ثابت، إذ إن سوء الانطباق الحفافي يسمح بترابع متزايد للويحة الجرثومية عند الحواف، مما يؤدي إلى نخورٍ، و التهاباتٍ لثويةٍ، ثم انحسارٍ لثويٍ وأمراض نسج داعمة (Grasso et al, 1985 – Bader et al , 1991). كما أن النقص في امتداد الحواف يمكن أن يسبب نخوراً عند حواف التيجان (Felton et al, 1991).

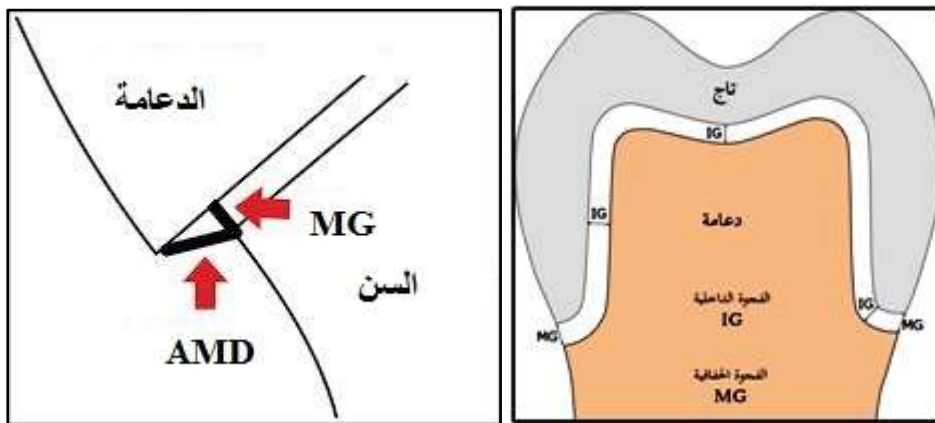
اعتبر Hung أن الانطباق الحفافي هو أهم معيار يمكن أن يتزدّر أطباء الأسنان لقبول ترميم الأسنان سريرياً (Hung et al, 1990).

وضع Holmes عدداً من المصطلحات من أجل تعريف مفهوم الانطباق بين السن والدعامة:

الفجوة الداخلية (internal gap): وهي المسافة العمودية بين السطح الداخلي للمرمة والجدار المحوري للسن شكل (15).

الفجوة الحفافية (marginal gap): وهي المسافة العمودية بين نهاية السطح الداخلي للمرمة وحافة السن شكل (15).

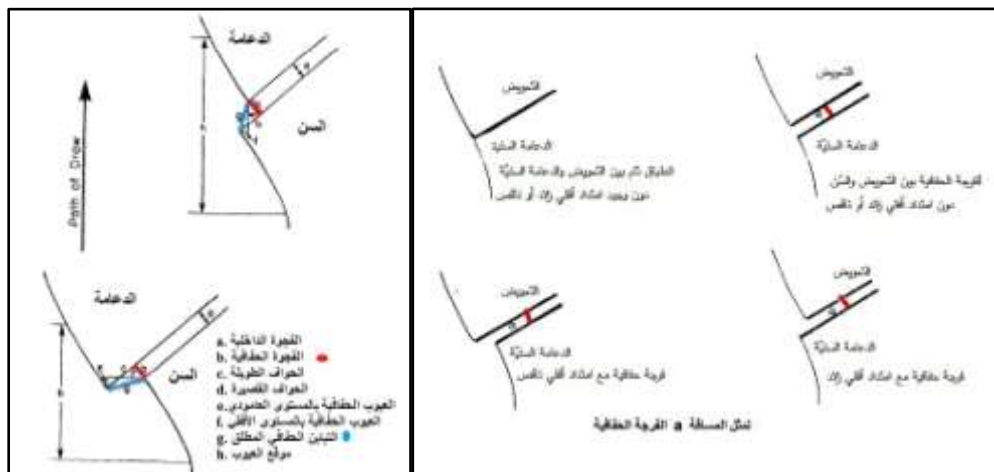
التباین الحفافي المطلق (absolute marginal discrepancy): هو المسافة من الحافة الخارجية للمرمة إلى حافة زاوية التحضير الخارجية للسن شكل (رسم يدوي توضيحي 15)، واعتبره Homles أفضل طريقةٍ لدراسة الانطباق الحفافي.



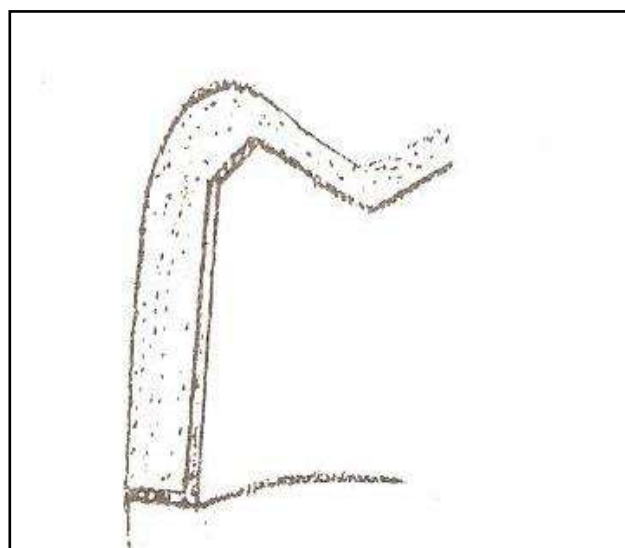
شكل (14) الفجوة الحفافية (MG)- الفجوة الداخلية (IG)- العيب الحفافي المطلق (AMD)

إن كثرة المصطلحات المتعلقة بالانطباق الحفافي في الادب الطبي أدى إلى صعوبة في إجراء مقارنة بين الدراسات، الأمر الذي دفع (Holmes et al, 1989) إلى اقتراح بعض المصطلحات لتحديد الانطباق الحفافي وذلك حسب الموقع والمستوى: الفجوة الداخلية – الفجوة الحفافية – العيوب الحفافية بالمستوى العمودي – العيوب الحفافية بالمستوى الأفقي – الحواف الطويلة – الحواف القصيرة – العيوب الحفافية المطلقة. واقتراح Holmes أن قياس العيوب الحفافية المطلقة هي أفضل طريقة لدراسة الانطباق الحفافي.

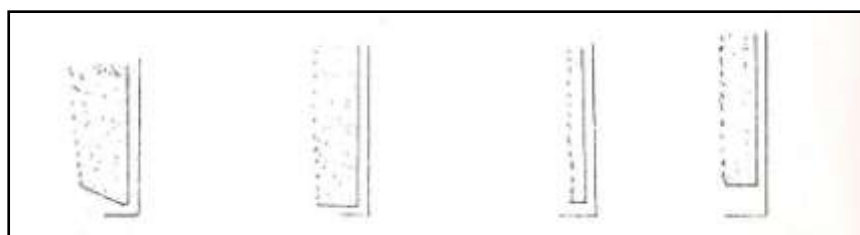
وقد عبر (الشعراوي، 2015) عن الانطباق الحفافي بالارتفاع و عرفه بـ المسافة التي تفصل السطح الداخلي للناتج عن السطح الخارجي للتحضير شريطة تأمين الاستمرارية بين الجزء أو السطح غير المحضر من السن و الناتج أو الترميم شكل (17).



شكل (15) بين مصطلحات الانطباق الحفافي بعد الترجمة حسب (Holmes et al,1989)



شكل (16) شكل ترسيمي للشكل الصحيح لمنطقة اتصال الناج مع السن (الشعراني، 2015)



شكل (17) الأشكال الخطأ لمنطقة اتصال الناج مع السن عند الحدود العنقية (الشعراني، 1994)

بين Groten صعوبة وصف فراغ معين بتعريفٍ وحيدٍ نتيجة الاختلافات الشكلية (morphologic differences)، وتدور الحواف أو عدمه، أو وجود بعض العيوب (defects)، وهذا هو أحد الأسباب الجوهرية للتنوع الكبير في نتائج الباحثين (Groten et al, 1997).

كما وضح Groten أهمية تحديد عدد النقاط التي سيتم قياسها عند حواف التاج لتحديد مقدار الفرجة الحفافية بين التاج والسن، واقتصر اتخاذ 50 نقطة قياس على كامل محيط السن، للحصول على معلومات ذات فائدةٍ سريريةٍ عند قياس الفرجة الحفافية (Groten et al, 2000).

1.4.1. طرائق قياس الانطباق الحفافي :

1.1.4.1 طريقة الرؤية المباشرة : Direct view

وهي طريقةٌ سهلةٌ ومناسبةٌ، لا تُخرب فيها العينة، وتعتمد على قياس الفرجة الحفافية عند نقاط محددة مسبقاً باستخدام المجهر الضوئي (light microscope)، أو المجهر الإلكتروني الماسح (stereomicroscope)، أو المجهر الإلكتروني الماسح (microscope scanning electron). لم يجد Groten فرقاً جوهرياً بين النتائج التي حصل عليها باستخدام المجهر الضوئي والمجهر الإلكتروني الماسح (van Rensburg et al, 1997). استخدم SEM هذه الطريقة لتقدير انطباق حواف الجسور الخزفية المعدنية، كما استخدمت في عدة دراسات لتقدير انطباق الحفافي لأنظمة مختلفة من التيجان 1986.

2005 - Quintas et al, 2004 – Yeo et al, 2003 - Hung et al, 1990)

كما استخدمها (Ehrenberg et al, 2006) لفحص الانطباق الحفافي للتيجان المؤقتة.

: طريقة المقاطع الطولية Cross sections 2.1.4.1

في هذه الطريقة تُثبت التيجان على التوعم أو السن الطبيعية المقلوبة، ثم تُغمس في الراتنج (الأكريل أو الإيبوكسي)، وبعدها تُقص للحصول على مقاطع طولية، يمكن من خلالها دراسة الانطباق الحفافي أو الانطباق الداخلي للنаж. استُخدمت هذه الطريقة لدراسة الانطباق الحفافي للتيجان الملاصقة

2000 – Holmes 1996 et al, – Boyle et al, 1993 – Vahidi et al, 1991)

(ولدراسة تأثير خطوط الإناء المختلفة في الانطباق الحفافي .(Jalalian et al, 2008 - Suárez et al, 2003 - Gavelis et al, 1981)

: Replica Technique 3.1.4.1

استُخدمت الدراسات التي أتاحت دراسة الانطباق الحفافي سريرياً و مخبرياً لأنواع مختلفةٍ من الترميمات النسخ ثنائي الأبعاد للفراغ بين التعويض و السن أو المثال الرئيسي. و ذلك باستخدام المطاط السيليكوني الرخو و المثبت بالمطاط السيليكوني القاسي أو الرخو. تعتبر تقنية النسخ طريقة شائعة لقياس الانطباق الحفافي (Ece et al, 2014 – Kibaek et al, 2013 – Habib et al, 2008)

يوضع الناج على السن المحضرة و تؤخذ طبعة بالمطاط القاسي ثم الرخو و يتم نزع

الطبعة و فحص المناطق التي دخل فيها المطاط الرخو بين التاج و السن (Cardash et al, 1998) وبطريقة أخرى يتم صب الطبعات بالراتج و إجراء مقاطع عرضية ثم تتم دراستها تحت المجهر (Blackman et al, 1992) لكن تطبيقها يمكن أن يتعارض مع الانطباق الحفافي شبه التام لأنه يؤدي إلى تشوه الثخانة المطاطية عند فصل التعويض عن السن أو المثال الرئيسي و بالتالي يؤدي إلى خطأ في النتائج الناتجة (Wolfart et al, 2003) و يتعارض أيضاً عندما تتوضع حواف التحضير تحت اللثة (Boudrias et al, 2001) .

4.1.4.1 استخدام المسبر والفحص بالنظر : Visual examination

يعتمد تقييم طبيب الأسنان للانطباق الحفافي سريرياً عادة على فحص الحواف بالنظر و باستخدام المسبر، إذ يمرّر مسبر حاد بين حافة التاج و حافة السن لتحرّي وجود فراغ حفافي (منطقة عدم اتصال)، وتعتمد هذه الطريقة بشكل كبير على حدة رأس المسبر ومهارة الطبيب (Buso et al, 2004-Morris et al, 1992-Assif et al, 1985).

لا يمكن للمسبر السني تحديد الفرجة الحفافية بشكل دقيق عندما تكون أقل من 95 ميكروناً، كما أنّ الاستخدام المتكرّر للمسبر يقلّل من حدة رأسه، مما يؤثّر سلباً في دقة نتائج هذا النوع من الاختبارات (Morris et al, 1992) .

5.1.4.1 التصوير الشعاعي:

يُلاحظ بواسطته سوء الانطباق الحفافي في المناطق الملائمة فقط (Assif et al, 1985 - Weyns et al, 1984). ولكنها غير دقيقة وصعب فيها تحري الفرجة الحفافية إذا كانت أقل من 80 ميكروناً (Schwartz et al, 1986).

6.1.4.1 Profilometer جهاز:

استخدم بعض الباحثين جهاز Profilometer لقياس الانطباق الحفافي (Limkangwalmongkol et al, 2007 - Mitchell et al, 2001)، إذ يستخدم رأس إبرة دقيق يتحرك باتجاه عمودي للأعلى والأسفل ليرسم الفراغ ويسجل هذا التخطيط ليعطي فكرة عن مقدار الفرجة الحفافية، بينما اعتمد آخرون على جهاز إسقاط الصورة الجانبية (profile projector) لدراسة الانطباق الحفافي (Quintas et al, 2004 Balkaya et al, 2005).

جدول (3) طرائق قياس الانطباق الحفافي (ki-Baek K, 2013)

الطريقة	المبدئ	الميزات	المساوئ
المعاينة المباشرة direct view	تقييم الفرجة الحفافية و قياسها عند نقاط محددة مسبقاً باستخدام المجهر	- سهلة، مريحة و ملائمة - غير مخربة و سريعة	- صعوبة تقييم انطباق الحواف المدور - لا يمكن تحديد الامتدادات الحفافية الزائدة
المقاطع الطولية cross-section	توضع التيجان على أمثلة مغمومة بالرانتج و يتم نقطيعها لقياس مدى الانطباق الحفافي، تستخدم لقياس الانطباق الحفافي للتيجان المثبتة بالأسمنت والتعويضات الخزفية الكاملة.	دقة أكبر في تحديد نقاط القياس وتكرارها حتى عند تدور الحافة. - إمكانية تحديد الامتدادات الحفافية الزائدة.	- مراحلها أكثر تعقيداً مع استهلاك وقت و عمل إضافي - تخرب العينة و وبالتالي يمكن قياس الانطباق الحفافي خلال المراحل المختلفة لصنع الخرف، إضافة لتشوه الحواف أثناء القص.
الفحص بالمسبر explorer examination	يمرر مسبر حاد بين حافة الناج وحافة السن لتحرّي وجود فراغ حفافي، تعتمد هذه الطريقة بشكل كبير على حدة رأس المسبر ومهارة الطبيب	- لا يمكن للمسبر السنّي تحديد الفرجة الحفافية عندما تكون أقل من 95 ميكروناً لذلك لا يمكن الاعتماد على هذه الطرفة وحدتها لتحديد دقة الانطباق الحفافي	- طريقة سهلة الاستخدام ، مريحة ، غير مخربة و سريعة للاستخدام السريري ، يعتمدها طبيب الأسنان لتقييم لانطباق الحفافي سريرياً أثناء تجربة المعدن أو الخرف.
تقنية النسخ Replica technique	تؤخذ طبعة للناج الموضوع على السن بالمطاط القاسي ثم الرخو ويتم نزع الطبعة و فحص المناطق التي دخل فيها المطاط الرخو بين الناج والسن	من مساوى هذه التقنية احتمال تشوه طبعة المطاط في منطقة الدراسة، بالإضافة إلى عدم دقتها في تحديد الشخامة الفيلمية للأسمنت	- غير مخربة و تستخدم سريرياً لتقدير الانطباق الحفافي. كما يمكن صب الطبعة بالرانتج و إجراء مقاطع عرضية لدراستها مجهريا.
الفحص بالأشعة Radiographic examination	تستخدم الأفلام المجنحة، ولا يمكن تمييز الفرجة الحفافية الأقل من 80 ميكروناً.	- غير دقيق يظهر سوء الانطباق الحفافي في المناطق الملائقة فقط،	- أفضل من الفحص بالمجهر عندما تكون الحواف تحت لثوية.
جهاز البروفيلومتر Profile-meter	يستخدم رأس إبرة دقيق يتحرك باتجاه عمودي للأعلى والأسفل لرسم الفراغ ويسجل لخطيط و تقييم مقدار الفرجة الحفافية.	- طريقة معقدة و مكلفة، بالإضافة إلى عدم إمكانية استخدامها سريرياً.	- دقة عالية في القياس

2.4.1 القباس المقبول سريرياً للفجوة الحفافية:

إن تقييم الفجوة الحفافية يعتمد على عدة عوامل وهي (Beschnidt et al, 1999) :

- ❖ إجراء القياس قبل تثبيت العينات وبعده.

- ❖ زمن تخزين العينات ومعالجتها بعد التثبيت (كتعريضها لدورات حرارية).

- ❖ نوع الدعامات المستخدمة في الدراسة.

- ❖ نوع المجهر المستخدم وعامل التكبير المعتمد بالدراسة.

- ❖ موقع القياسات وعددتها.

تعتبر الفجوة الحفافية للترميمات مقبولةً من الناحية السريرية عموماً إذا تراوحت بين

(Rehberg et al, 1971 – Stappert et al, 2005) 200 ميكرونأً - .

واقتصر دراسات أخرى أن حجم الفجوة الحفافية يجب ألا يزيد

عن 120 ميكرونأً لكي تعتبر الترميمات مقبولةً من الناحية السريرية

(Felton et al, 1991 – Zitzmann et al, 2007) . تظهر بيانات الدراسات الحالية

أن معظم أنظمة الـ CAD/CAM السنية قادرةً على إنتاج ترميم بانطباق حفافي مقبولٍ

. (Hertlein et al, 2003 - Ellingsen et al, 2002) أقل من 100 ميكرون .

3.4.1 العوامل المؤثرة في الانطباق الحفافي :

يمكن تصنيف العوامل المؤثرة في الانطباق الحفافي بما يلي:

3.4.1.1 عوامل متعلقة بالمرحلة المخبرية لصنع الترميم:

❖ تؤثر عملية التخزيف في الانطباق الحفافي للجسور (kohorst et al, 2010).

❖ يؤمن نحت الزيركونيا الملبدة كلياً تباعداً حفافياً أصغر من الزيركونيا التي تحتاج

إلى تلبييد بعد نحتها (kohorst et al, 2009).

❖ إن تطبيق تقنية التعديل الداخلي بالطلاء الكاشف على الأمثلة الجبسية يحسن من

الانطباق الحفافي (ushiwata et al, 2000).

❖ يتأثر الانطباق الحفافي بالدورات الحرارية

(wolfart et al, 2003).

3.4.1.2 النظام المستخدم :

يختلف الانطباق الحفافي كثيراً بالمقارنة بين الأنظمة الخزفية المستخدمة ويعود ذلك إلى

اختلافها في التركيب ومراحل التصنيع وتقنياته. يحقق نظام procera أفضل انطباق

حفافي (beuer et al. 2009).

3.3.4.1 الأخطاء السريرية المرتكبة من قبل طبيب الأسنان:

يتأثر انطباق الترميم بجودة التحضير (وجود مناطق تثبيت أو شكل تحضير غير جيد). وكذلك يتأثر بالطبعه (نوع الطبعه - مادة الطبع المستخدمة) كما يتأثر بزمن التثبيت وإجراءاته وبشكل الحدود العنقية (akbar et al, 2006) يعتمد تقييم الانطباق الحفافي للتيجان بشكل عام على عدة عوامل (Beschnidt et al, 1999) :

❖ هل ستصلص التيجان بالأسمنت أم لا.

❖ مكان حفظ العينة ومدىها في حال تثبيتها بالأسمنت.

❖ نوع الدعامات التي سيجري عليها القياس.

❖ نوع المجهر المستخدم ودرجة التكبير.

❖ موقع نقاط القياس و عددها لكل تاج.

5.1 الدراسات السابقة :

أُجريت أبحاث كثيرة لدراسة الانطباق الحفافي لترميماتٍ مفردةٍ مصنوعةٍ من أنظمةٍ مختلفةٍ من الخزف الحالي من المعدن ولكن الأبحاث التي تناولت الجسور الزيركونية كانت قليلةً جداً لذا سوف يتم عرض بعضاً من هذه الدراسات التي لها علاقة بالانطباق الحفافي لاغناء هذا البحث.

درس Kianoosh.T.A و زملاؤه عام 2011 الانتباط الحفافي و الانطباق الداخلي للقبعات الزيركونية المصنوعة بطريقتي CAD/CAM و Slip-cast، وجدوا في دراستهم أن الفجوة الداخلية كانت أكبر في مجموعة Slip-cast من مجموعة CAD/CAM، وأن الانطباق الحفافي للقبعات الزيركونية كان في مجموعة CAD/CAM أكبر من مجموعة Slip-cast و ذلك في الناحية اليسرى، بينما لا توجد أي فروق دالة إحصائيا في الجهات الأخرى.

في دراسة لتقييم انطباق الجسور الزيركونية الخلفية المصنعة بطرق مسح و زوايا تحضير مختلفة، أجرى Oyague و زملاؤه 2010 دراسة على 30 جسراً زيركونياً خلفياً مقسمة إلى 3 مجموعات حسب درجة ميلان الجدران (زوايا الانلاق) 10°، 15°، 20°، نصفها مصنوع بنظام CAD/CAM بإجراء المسح على الدعامات مباشرة، والنصف الآخر صنعت بتشميع الجسر وإجراء المسح على النموذج الشمعي ثم التصنيع بالـ CAD/CAM. بعد تجهيز الجسور الزيركونية ألصقت على الدعامات المعدنية بأسمنت فوسفات الزنك، و تم قياس الانطباق الحفافي بالمجهر الإلكتروني الماسح SEM.

وأظهرت النتائج عدم وجود تأثير لزوايا التحضير في الانطباق الحافي للجسور الخلفية إذ كان متوسط الانفتاح الحافي في مجموعة الـ (wax-up digitize) 107.5 ميكرونًا في مجموعة الزاوية 10 درجات، و 98.5 ميكرونًا في مجموعة الزاوية 15 درجة، و 110 ميكرونات في مجموعة الزاوية 20 درجة. أما في مجموعة المسح المباشر فكان الانفتاح الحافي في مجموعة الزاوية 10 درجات 76 ميكرونًا ، و في مجموعة الزاوية 15 درجة 74 ميكرونًا، و في مجموعة الزاوية 20 درجة 76 ميكرونًا. كما أظهرت الدراسة أن المسح المباشر للدعامات أكثر دقة من إجراء المسح للنموذج الشمعي (Oyague et al, 2010) (wax-up digitize) .

كما أجرى Beure في 2010 دراسة لمقارنة انطباق هيكل الزيركونيا للجسور الخلفية المصنعة وفق نظامي Compartice و Cercon Brain وذلك بعد الصاقها و غمسها بالراتنج و إجراء مقاطع دهليزية لسانية و أنسية وحشية في الدعامات. وكان متوسط الانطباق الحافي في نظامي Brain و Compartise هو 65 ميكرونًا، 1.75 ميكرونًا على الترتيب (Beure et al, 2010) .

أجرى Beure في 2009 دراسة لمقارنة الانطباق الحافي و الداخلي للجسور الخلفية المصنعة بثلاث أنظمة مختلفة هي Etkon و Cerec inlab (CAD/CAM) و cercon (هو نظام CAM فقط). و بعد تصنيع الجسور و الصاقها غمست الجسور بالراتنج ، وأجريت مقاطع دهليزية لسانية و أنسية وحشية في الدعامات. و بعدها تم قياس

الانطباق في ثلاثة مناطق : الحفاف، والسطح الإطبافي، والسطح المحورية.

وكانت النتائج التي حصلوا عليها (Beure et al, 2009) :

رحي			ضاحكة			الداعمة
الانفتاح الحافي	السطح الإطبافي	الجدران المحورية	الانفتاح الحافي	السطح الإطبافي	الجدران المحورية	مكان القياس
Etkon	Etkon	Etkon	Etkon	Etkon	Etkon	النظام
37.2	81.5	60.7	21	68.8	52.3	المتوسط
Cerec inlab	Cerec inlab	Cerec inlab	Cerec inlab	Cerec inlab	Cerec inlab	النظام
66.4	93.2	67.8	46.7	82.9	64.7	المتوسط
Cercon	Cercon	Cercon	Cercon	Cercon	Cercon	النظام
80.4	154.7	96.2	82.4	155.6	106.3	المتوسط

تناول Habib و زملاؤه في دراستهم عام 2008 تقنية النسخ المضاعف التقليدية

(لدراسة انطباق تيجان Procera و ذلك بمقارنة ثخانة Replica technique)

السيلikon المستخدم في هذه التقنية بثخانة أسمنت الإلصاق بعد إلصاق التيجان، واستنتجت

الدراسة أن هذه التقنية دقيقةً و موثوقةً و تعبّر عن مدى انطباق الترميمات بشكل دقيق. وكان

متوسط الفجوة الحفافية 5.5ميكوناً وهي ثخانة الأسمنت الشاردي الزجاجي المستخدم في

الإلصاق، وكانت ثخانة السيلikon المستخدم في الاختبار قبل إلصاق التيجان 55.18

ميكوناً.

درس Rosentritt و زملاؤه 2006 الانطباق الحفافي ومقاومة الكسر لجسورٍ مصنوعةٍ In-Ceram باستخدام تقنية CAD-CAM مقارنة بنظام Cercon ألمينا التقليدي وكانت عينات الدراسة عبارةً عن جسورٍ من ثلاثة وحدات، أُجريت دورات حرارية للعينات قبل إجراء الاختبارات، كان متوسط مقاومة الكسر للعينات 332-1331 ميغا باسكال على التوالي ، بينما كان متوسط قيم الفجوة الحفافية 91.3 - 95.5 ميكرونات على التوالي. ولم تكن هناك فروق دالةً إحصائياً عند مقارنة قيم الفجوة الحفافية للنظامين المستخدمين في الدراسة.

درس Mörmann & Bindl عام 2005 الانطباق الحفافي الداخلي لعدة أنظمةٍ من الخزف الخلالي من المعدن المصنعة بتقنية CAM-CAD مع مقارنة هذه الأنظمة بأنظمةٍ أخرى مصنوعةٍ بالتقنية التقليدية، واستنتجت الدراسة وجود فروق هامةٍ إحصائياً بين متوسطات قيم الفجوة الحفافية للتيجان المصنوعة وفق نظام Cerec-Inlap مقارنة بنظام Slip-Cast Zirconia In-ceram الحفافية في النظام الأول أكبر 43 ميكروناً و في النظام الثاني 25 ميكروناً .

قام komine 2005 بدراسة تأثير شكل الهيكل الأساسي لجسور رباعية الوحدات (مستقيم - منحني) مصنوعة من خزف أكسيد الزيركونيوم الملبد جزئياً باستخدام ثلاثة طرائق مختلفة من أنظمة CAD/CAM وتبيّن أن الانطباق الحفافي يتأثر بنوعية نظام النحت المستخدم وبشكل الهيكل و تصميمه.

ودرس **Hertlein** عام 2003 الانطباق الحفافي لجسور الإيتريوم زيركونيا بطريقتي نحت مختلفتين وفق نظام **LAVA** وذلك لثلاث وحدات من هياكل جسور الزيركونيا وتبين لهم أن زمن النحت لا يؤثر في الانطباق الحفافي.

قارن **Beschnidt & Strub** في دراستهم عام 1999 الانطباق الحفافي لأنظمة مختلفة من الترميمات الخزفية الخالية من المعden وكان من بينها تيجان **Celay In-Ceram** **Slip Cast In-Ceram** مصنوعة بالتقنية التقليدية **Copy-milling**. تم إلصاق العينات باستخدام أسمنت فوسفات الزنك وأسمنت راتجي وكان هناك فرق إحصائي بين قيمة الفجوة الحفافية للنظامين (60 ميكروناً للنظام الأول - 78 ميكروناً للنظام الثاني).

الباب الثاني

المواد و الطرائق

Materials &
Methodes

1.2. مواد البحث وأجهزته في الدراسة

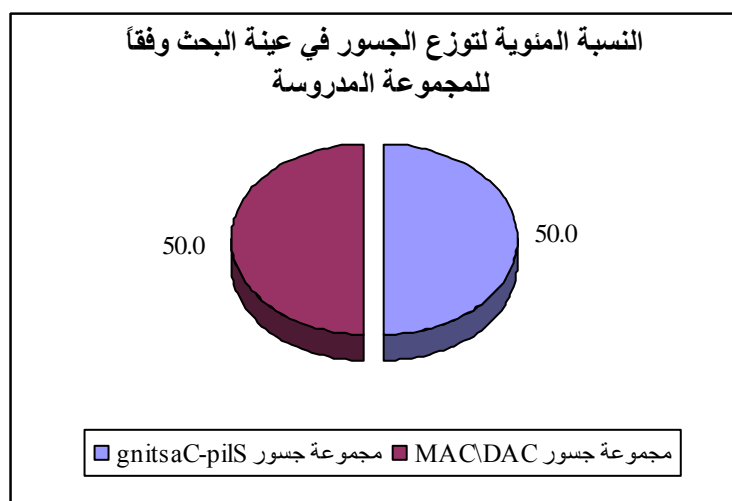
المخبرية

1.1.2. عينة البحث:

تألفت عينة البحث من 30 جسراً زيركونياً مقسمين إلى مجموعتين اثنتين متساوietين وفقاً لطريقة التصنيع المتبعة (مجموعة جسور Slip-Cast، مجموعة جسور CAD\CAM)، وقد كان توزع عينة البحث وفقاً للمجموعة المدروسة كما يلي:

جدول (4) يبين توزع الجسور في عينة البحث وفقاً للمجموعة المدروسة.

النسبة المئوية	عدد الجسور	المجموعة المدروسة
50.0	15	مجموعة جسور Slip-Cast
50.0	15	CAD\CAM مجموعة جسور
100	30	المجموع



شكل (18) يمثل النسبة المئوية لتوزع الجسور في عينة البحث المخبرية وفقاً للمجموعة المدروسة

أ.جهاز البحث و مواده:

أ.جهاز البحث :

.(Frasco, Tettnang, Germany) typodont -1

2- ميكرومотор صناعي Kavo مزود بقبضةٍ صناعية لتحضير الأسنان الأكريلية.

3- مجهر ضوئي تكبير 10 (OLYMPUS OPTICAL CO. LTD, Japan) موجود في كلية الهندسة الميكانيكية جامعة دمشق.



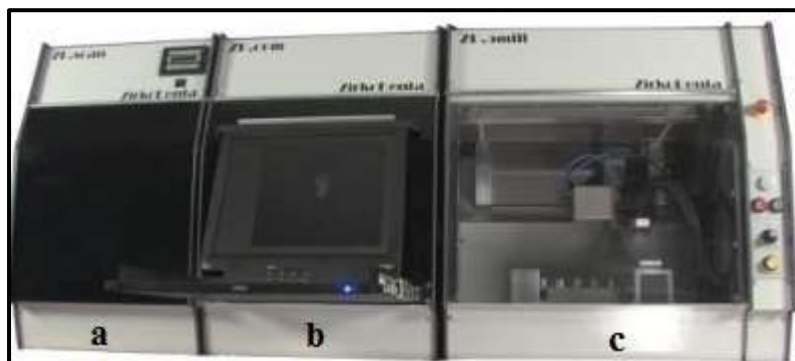
شكل (19) فرازاكيو Typodont، ميكرومotor Kavo، مجهر ضوئي Olympus optical (على التوالي)

4- الماسح الضوئي الخاص بجهاز ZirkoDenta CAD/CAM لنظام

5- الحاسوب الخاص بجهاز ZirkoDenta CAD/CAM لنظام

6- آلة النحت الخاصة بالجهاز Milling Machine مع السنابل الخاصة بالنحت Burs

ZirkoDenta لنظام Milling



شكل (20) : الماسح الخاص ZirkoDenta، b : الحاسوب الخاص ZirkoDenta ، c : آلة النحت الخاصة

ZirkoDenta

7- جهاز المزج بالتخليفة لمزج مادة Slip-cast

8- جهاز الأمواج فوق الصوتية Slip-cast

9- الفرن الخاص (VITA INCERAMAT 3T) المستخدم في خبز

مادة Slip-cast على النماذج الخاصة.



شكل (21) جهاز المزج بالتخليفة، جهاز الأمواج فوق الصوتية، الفرن الخاص (Inceramat 3T) على التوالي

2.2.1.2 مواد البحث :

1- خزف الا Slip-Cast المستخدم بتقنية الا in-ceram.

2- أفراس الا Zircodenta المستخدمة بتقنية الا CAD\CAM.



شكل (22) علبة (VITA In-Ceram® ZIRCONIA) من أجل نظم Slip-cast، بлокات Zircodenta من أجل نظام CAM\CAM على التوالي.

3- المواد المستخدمة في كل نظام من الأنظمة الخزفية المدروسة.

3.1.2 طرائق البحث في الدراسة المخبرية :

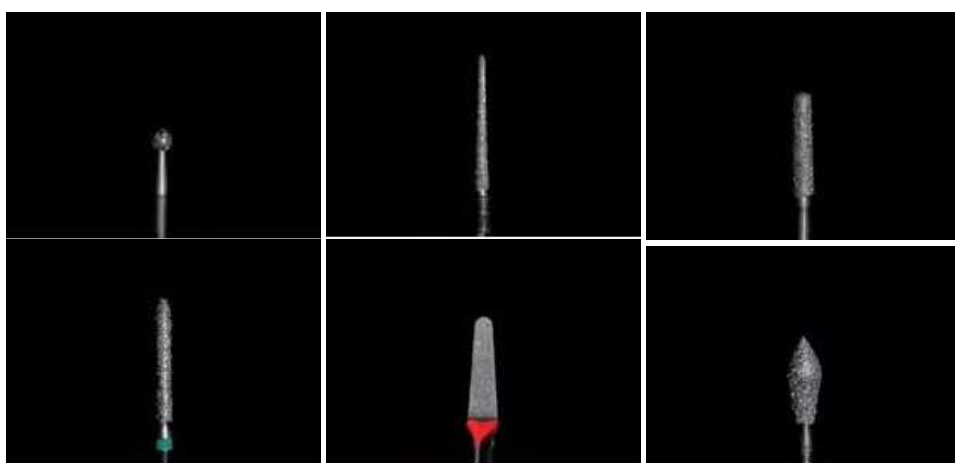
1.3.1.2 تحضير العينة:

بعد إزالة الرهي الأولى السفلية اليمنى من typodont تم تحضير الصاحكة الثانية و الرهي الثانية (Frasco, Tettnang, Germany) المجاورتين بحسب المعايير المتبعة في التحضير اللازم لاستقبال تيجانٍ خزفيةٍ خاليةٍ من المعدن، إذ حُفرت ميازيب الإرشاد على كافة السطوح لتكون دلالةً على عمق التحضير باستخدام سنابل مختلفة القطر. تم في البداية حفر ميازيبٍ على السطوح الطاحنة بعمق 2 ملم

ليتم تخفيف السطح الطاحن بهذا المقدار، تم بعدها حفر ميزاب على السطح الدهليزي بعمق 1.5 ملم وعلى السطوح الملائمة واللسانية بعمق 1 ملم. حضر السطح الطاحن لكل سن، ثم حضر السطح الدهليزي باستخدام سنبلة ماسية مخروطية مدوره الرأس ذات حبيبات خشنة سويسرية الصنع (Heico) رقم (855/014) للسطح الدهليزي لتؤمن رسم خط إنتهاء على شكل شبه كتف بعرض 1.5 ملم فوق مستوى الملتقي المينائي الملاطي بـ 0.5 ملم، تم بعدها تحضير السطوح الملائمة والسطح اللساني باستخدام سنبلة من النوع نفسه رقم (855/014) لتؤمن خط إنتهاء على شكل شبه كتف بعرض 1 ملم فوق مستوى الملتقي المينائي الملاطي بـ 1 ملم. حضرت كافة السطوح مع مراعاة التوازي بين الرأس العامل للسنبلة مع المحور الطولي للسن ليتأمن تقارب بين السطوح المحورية بمقدار 5 درجات.

تم بعدها تدوير كافة الزوايا المحورية وتعيم السطوح وخطوط الإنتهاء باستخدام سنابل ماسية ذات حبيبات ناعمة بالأرقام السابقة ملئ فراغ الرحي الأولى السفلية بالشمع وأخذت طبعة الجسر الخلفي السفلي المذكور بالمطاط السيليكوني الإضافي بطريقة المزيج المتعدد وباستخدام طابع إفرادي أكريلي. تم تصنيع المثال الرئيسي المعدني من الأملغم بدكه في الطبعة. يستخدم 15 طابعاً إفرادياً أكريلياً لعمل 15 طبعة للمثال المعدني الرئيسي بالمطاط السيليكوني الإضافي بطريقة المزيج المتعدد، و تم الحصول على 30 مثلاً مخبرياً جبساً بعد صب كل طبعة مرتين بالجبس عالي القساوة من النمط الرابع. صنع 15 جسراً خزفيّاً بتقنية **Slip – cast** التي شكلت المجموعة الأولى من البحث و 15 جسراً خزفيّاً بتقنية **CAD\CAM** شكلت المجموعة الثانية وذلك حسب الأنظمة الخزفية المستخدمة في البحث و حسب تعليمات الشركات المنتجة كما سيتم شرحه لاحقاً. حقن المطاط السيليكوني

الإضافي منخفض اللزوجة داًخِل كل جسر خزفي للمجموعتين و ثبت الجسر على مثاله المخبري بتطبيق ضغط إصبعي على الجسر حتى اكتمال تصلب المطاط. نُرِّزع الجسر و بداخله الشخانة المطاطية و عولجت هذه الشخانة بتقنية النسخ المضاعف المطورة التي تُعتبر طريقة موثوقة ومحافظة وصالحة للاستخدام السريري من أجل دراسة الانطباق الحفافي.



شكل (23) سنابل التحضير المستخدمة بالبحث

2.3.1.2 الأنظمة الخزفية المستخدمة في البحث:

1.2.3.1.2 نظام In-Ceram Zirconia

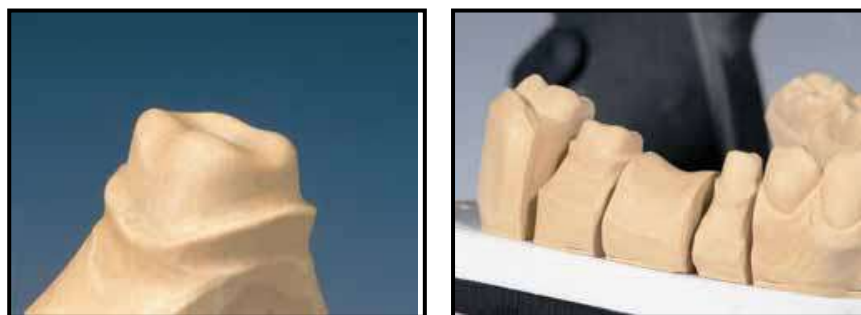
* المواد المستخدمة وتقنية تصنيع النواة الداعمة للترميم:

يعتمد هذا النظام على صنع نواة داعمة للترميم تتركب من بلورات أوكسيد الألمنيوم و أوكسيد الزيركونيا مبعثرة ضمن قالب زجاجي. وذلك وفقاً لتقنية بدوية تدعى (Slip-Cast).

* مراحل تصنيع القبعة الخزفية الداعمة بـ **تقنية Slip-cast** (في

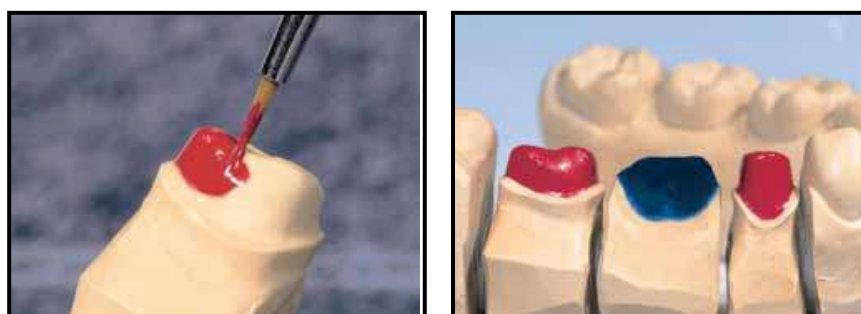
In - Ceram Zirconia نظام

1- تحضير المثال الجبسي و تقطيعه.



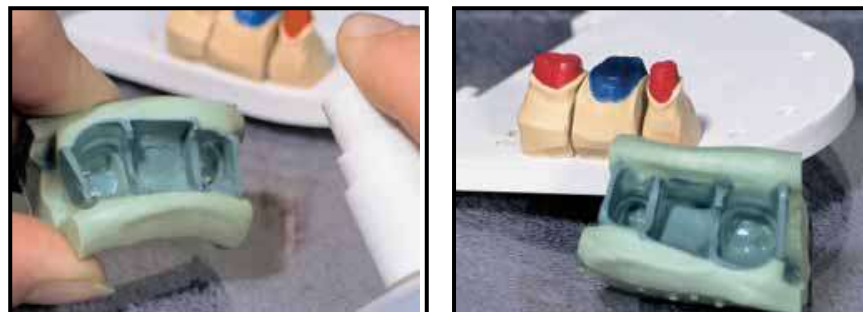
شكل (24) تحضير المثال الجبسي و تقسيمه Slip-cast

2- دهن النموذج المحضر بطبقتين إلى ثلاثة طبقاتٍ من مادة (**Varnish Interspace**) والتي تؤمن ثخانة الأسمنت اللاصق (40 ميكرونًا).



شكل (25) تطبيق مادة (Varnish Interspace) على المثال الجبسي

3- نسخ النموذج المحضر باستخدام مطاط البولي فينيل ميتيل سيلوكسان ذي تفاعل ضمـ **Kerr** (GC) لشركة



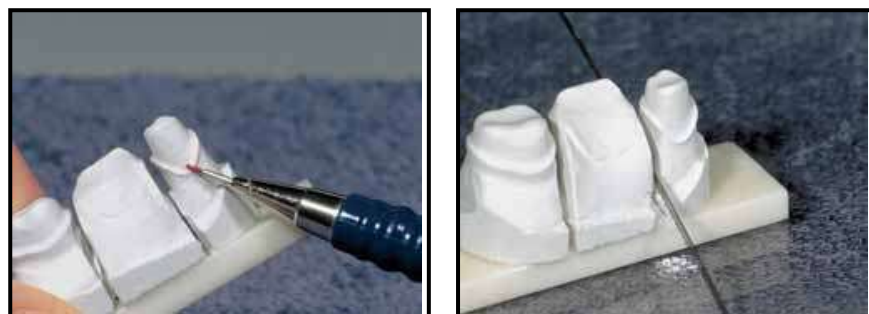
شكل (26) نسخ المثال بالمطاط البولي فينيل ميتيل سيلوكسان ذو تفاعل ضم(GC) لشركة Kerr

4 - دهن القوالب المطاطية بمادة مانعة للتوتر على شكل بخار ثم صبها بمادة تدعى المزج الآلي مع التخلية لضمان عدم تشكيل فقاعات هوائية أثناء المزج. تترك القوالب حتى تمام التصلب الذي يستغرق ساعتين. ليتم بعدها نزع النموذج المصوب من القوالب المطاطية.



شكل (27) صب القوالب المطاطية بمادة Special Plaster

5 - تقسيم النموذج وتعليق الحواف على النموذج بقلم خاص.



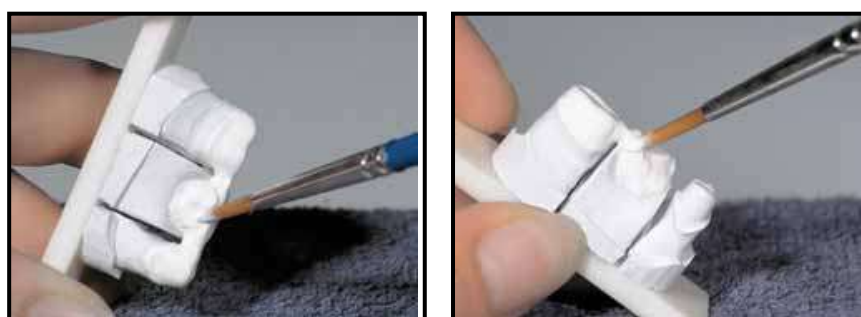
شكل (28) تقسيم النموذج و تحديد الحواف على النموذج Slip-cast

6 - مزج مادةٍ تدعى مسحوق الزركونيا (Zirconia Powder) والتي تستخدم في بناء نواة الترميم على النموذج، إذ يتم المزج بالهزاز الكهربائي على مراحل ثم وضعها في جهاز الأمواج فوق الصوتية (Vitasonic) لمدة 7 دقائق لتأمين غياب الفقاعات تماماً مع التمازج الكامل، يتم المزج بنسبة Gr 25 من المسحوق + 5 ml من سائل خاص + 4 نقاط من مادة (Additive) ثم يوضع المزيج في جهاز التخلية (Vacum) يُدعى المزيج الناتج المعلق (Slip).



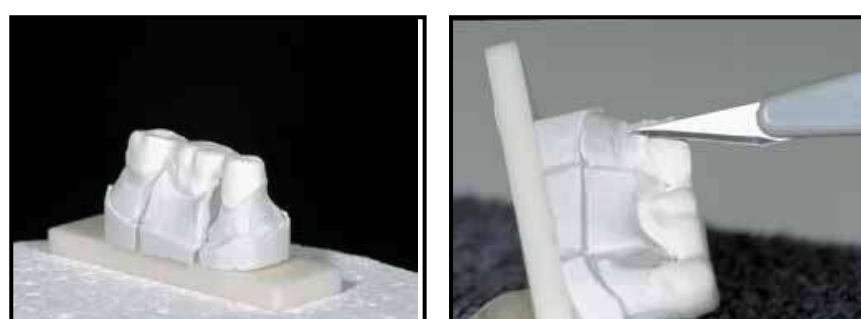
شكل (29) مزج Zirconia Powder مع السائل Mixing liquide بواسطة جهاز الهزاز الكهربائي

7 - تطبيق المزيج السابق بفرشاة خاصةٍ على النموذج الخاص كمرحلة أولى ليتم الحصول على ثخانة 0.5 ملم ويمكن بعدها غمس النموذج في المزيج السابق للحصول في كل مرة يتم فيها الغمس على ثخانة إضافية بمعدل 0.1 ملم لكل مرة، يجب أن تكون ثخانة القبعة 0.5 كحد أدنى، أما في المناطق الإطباقية فيجب أن تصل الثخانة إلى 0.8 ملم.



شكل (30) تطبيق المزيج Slip بفرشاة خاصةٍ على النموذج

8- تشذيب الزوائد وإزالتها في منطقة الحواف بسهولةٍ ودقةٍ.



شكل (31) تشذيب وإزالة الزوائد في منطقة الحواف للمثال Slip-cast

9 - وضع النموذج الخاص بعد تطبيق مادة لا Slip في فرنٍ خاصٍ لشركة Vita يُخبز خبزةً أولى وذلك بالبرنامج التالي:

6 ساعاتٍ تجفيف ضمن الفرن ليصل لدرجة حرارة **120** درجة مئوية، ثم رفع تدريجيًّا لدرجة الحرارة لتصل لـ **1120** درجة مئوية خلال 2 ساعة، ثم ثبات على الدرجة **1120** لمدة ساعتين، ثم هبوط درجة الحرارة لـ **400** درجة مئوية والفرن ما يزال مغلقاً، ثم هبوط حتى درجة حرارة الغرفة بمعدل أربع درجاتٍ بالدقيقة ، يحصل بعد هذه المرحلة تقلص بنموذج السن المحضرة مما يمكن من نزع النواة بسهولةٍ.



شكل (32) وضع النموذج الخاص بعد تطبيق مادة Slip في فرنٍ خاصٍ In-ceramat 3T لشركة Vita

جدول (5) الخبزة الأولى بفرنٍ تقنية Vita In-Ceramat 3T

الوقت 2 درجة الحرارة	الوقت 1 درجة الحرارة	الوقت 4 ساعة : دقيقة	الوقت 3 ساعة : دقيقة	الوقت 2 ساعة : دقيقة	الوقت 1 ساعة : دقيقة
1120°	120°	02:00	02:00	00:00	06:00

10- إجراء الخبزة الثانية للنواة بعد إزالتها من النموذج بوضعها على حاملٍ خاصٍ في الفرن ذلك حسب البرنامج التالي : رفع درجة الحرارة من حرارة الغرفة إلى **120 درجة مئوية ، ثم الرفع التدريجي من **120** إلى الدرجة **1180** خلال ساعةٍ واحدةٍ، ثم ثبات الدرجة على **1180** لمدة ساعتين، ثم الهبوط إلى الدرجة **400** والفرن ما يزال مغلقاً، ثم الهبوط لدرجة حرارة الغرفة.**

جدول (6) الخبزة الثانية بفرن **Vita In-Ceramat 3T** لتنقية Slip-cast

الوقت 2 درجة الحرارة	الوقت 1 درجة الحرارة	الوقت 4 ساعة : دقيقة	الوقت 3 ساعة : دقيقة	الوقت 2 ساعة : دقيقة	الوقت 1 ساعة : دقيقة
1180°	120°	02:00	01:00	00:00	00:00

11- تجربة انطباق النواة على النموذج الأصلي للسن المحضر بلطف دون ضغط وذلك

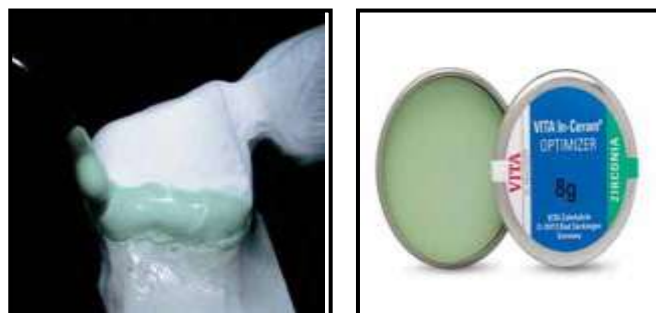
بدهن باطن النواة (Spray marker) ثم وضعه على النموذج لكشف مناطق الإعاقبة

وسحلها من باطن النواة بسانابل ماسية وبسرعةٍ مخفضةٍ. يمكن تعديل مناطق

الحافة في حالة وجود نقصٍ فيها بإضافة مادةٍ خاصةٍ في مناطق النقص

(In-Ceram Optimizer) للحصول على انطباقٍ تامٍ وخبزها في فرن الخزف

.Vita Vacumat التقليدي



شكل (33) تطبيق مادة **In-Ceram Optimizer**

12- التأكد من عدم وجود أية تصدعاتٍ أو شقوق داخل النواة وذلك بغمسها بسائلٍ خاصٍ

أزرق اللون (Testing Liquid)، يؤدي إلى تلون هذه التصدعات باللون الأزرق في

حال وجودها مما يتطلب إعادة تصنيع النواة من جديد.



شكل (34) تطبيق مادة Testing Liquid للكشف التصدعات و الشفوق

13 - التسريب بالزجاج (Glass Infiltration) بمزج مسحوق الزجاج الخاص (Zirconia Glass Powder) بالماء المقطر ووضع المزيج بطبقةٍ تتراوح ثخانتها ما بين 0.5 - 1ملم على النواة بفرشاةٍ خاصةٍ، ثم وضع النواة في فرن الإنسيرام الخاص (Inceramat 3T) ببرنامِج خاصٍ يعتمد على رفع درجة الحرارة من حرارة الغرفة إلى الدرجة 1140° خلال 50 دقيقة، ثم ثبات درجة الحرارة على هذه المرحلة لمدة ساعتين ونصف ساعةٍ ، ثم التبريد حتى درجة حرارة الغرفة.

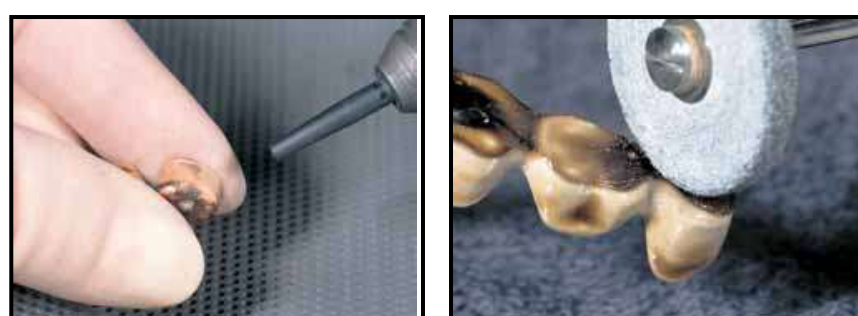
جدول(7) الخبزة الثالثة بفرن 3T لتقنية Slip-cast

الوقت 2 درجة الحرارة	الوقت 1 درجة الحرارة	الوقت 4 ساعة : دقيقة	الوقت 3 ساعة : دقيقة	الوقت 2 ساعة : دقيقة	الوقت 1 ساعة : دقيقة
1140°	200°	02:30	00:50	00:00	00:00



شكل(35) التشريب بالزجاج (Glass Infiltration) بمادة (Zirconia glass powder)

14 - إزالة زوائد الزجاج الموجودة على النواة والتي تظهر بلونٍ غامقٍ بسنابل خاصةٍ أو الترميل بتيار أوكسيد الألمنيوم بضغط 4 بار وحجم حبيباتٍ 50 ميكرونًا.



شكل (36) إزالة زوائد الزجاج من على النواة و الترميل بتيار أوكسيد الألمنيوم Slip-cast

15 - خبز النواة الخبزة النهائية التي تدعى (Glass control firing) (Glass control firing) بوضع النواة على حاملٍ ووضعها في فرن الخزف العادي (Vacumat) لتصل إلى درجة حرارةٍ تبلغ 1000 درجةٍ مئويةٍ وثباتٍ على هذه الدرجة لمدة خمس دقائق.



شكل (37) خبز النواة الخبزة النهائية بفرن (Vacumat)

16- البناء التجميلي للهيكل الخزفي .VitaVM7 و In-Ceram Vita Zirconia



شكل (38) البناء التجميلي للهيكل الخزفي باستخدام VITAVM7

2.2.3.1.2 نظام ZirkoDenta لشركة Zirkodenta

يعتمد هذا النظام على صنع نواة داعمة للترميم من الزيركونيا يوتيريوم (Y-TZP) الذي يأتي على شكل قطع ملبدة بشكلٍ جزئيٍ من شركة (ZirkoDenta) و المسماة ذات شكل دائري بأبعاد (premium ZD.blank) 98mm × 14mm ، وهي ملائمة في جمها لصنع عدة قبعات لجسور أو لتيجان مفردة. تم تصنيع قبعات الجسور

الزيركونية من هذه القطع بمساعدة الكمبيوتر في مرحلة التصميم والتصنيع والمسمي نظام

(CAD\CAM) وذلك وفق المراحل التالية:

1 - مسح النموذج الخاص للجسر المحضر باستخدام ماسح ضوئي خاص

جهاز **ZirkoDenta** موصولٍ مع الحاسوب.

2 - تصميم قبعات الجسر باستخدام برنامج حاسوبي خاص لجهاز CAD/CAM لنظام

ZirkoDenta و يتم ذلك بمراحل متعددة:

تحديد نوع المادة المراد العمل بها (**Ivoclar**, **Empress**, **Zircon**) مع اسم الشركة (

.(**Sirona**, **ZirkoDenta**, **Vita**

تحديد أبعاد الجسر: كتحديد ثخانة القبعات التي يجب ألا تقل عن 0.5 ملم. في منطقة الحواف

و 0.7 ملم في منطقة السطح الإطباقي، وتحديد ثخانة الخزف الذي سيتم بناؤه فوق القبعات ،

وتحديد ثخانة الاسمنت اللاصق (40) ميكروناً.

تحديد الحواف برسمها على النموذج، و من ثم تحديد محور الجسر لتأمين خط إدخال

المناسب بدون وجود مناطق إعاقة، ثم تحديد (الاتجاهات الأربع) دهليزي - لسانى -

أنسي -وحشى. اختيار نوع القطعة التي سيتم تحضيرها و حجمها، وفي حال كانت القطعة

صغريرةً لاتتناسب مع حجم قبعات الجسر فإن المناطق التي ستخرج خارج حدود القطعة

ستظهر بلون أحمر، ويجب في هذه الحالة إجراء تعديلاتٍ في التصميم أو استخدام قطعةٍ

ذات حجم أكبر، ثم إعطاء الأمر لبدء جهاز التصنيع الآلي بالعمل.

3 - مرحلة التصنيع الآلي : توضع القطعة المراد تحضيرها في جهازٍ خاصٍ يعمل بشكلٍ تلقائيٍ عند إعطائه أمر البدء (Milling Machine) بالتحضير من الحاسوب الموصول به.

4 - إزالة الماسك المعدني الموصول بالجسر بعد الانتهاء من تصنيعه.

5 - مرحلة التكتيف (sintering) : يوضع الهيكل في فرنٍ خاصٍ يعتمد على رفع درجة الحرارة لـ **1500** درجة مئوية ثم التبريد التدريجي لدرجة حرارة الغرفة ببرنامج خاصٍ يستغرق **8** ساعات.

6 - تجربة الهيكل في مكانه على النموذج المحضر الخاص به والتأكد من انتظامه مع عدم وجود نقاط إعاقةٍ باستخدام (Spray marker).

7 - ترميل السطح الداخلي للجسر باستخدام تيارٍ رمليٍ من حبيبات أوكسيد الألミニوم بحجم **50** ميكرونًا بضغط **4** بار.

و بذلك تألفت عينة البحث من **30** جسراً زيركونياً قسمت إلى مجموعتين اثنتين متسلقيتين وفقاً لطريقة التصنيع المتبعة (مجموعة جسور CAD\CAM Slip-Casting). درس الانطباق الحافي للجسور الزركونية بدون بناء السطح الخارجي بالخزف، وذلك لتأثير عملية بناء الخزف في الانطباق الحافي وتسبيبها في حدوث تغيرٍ وتشوهٍ بسيطٍ في حواف الترميم.

3.3.1.2 دراسة الانطباق الحفافي للعينات المخبرية:

تم قياس الانطباق الحفافي للجسور الخزفية المصنعة بكلتا الطريقتين باستخدام تقنية النسخ

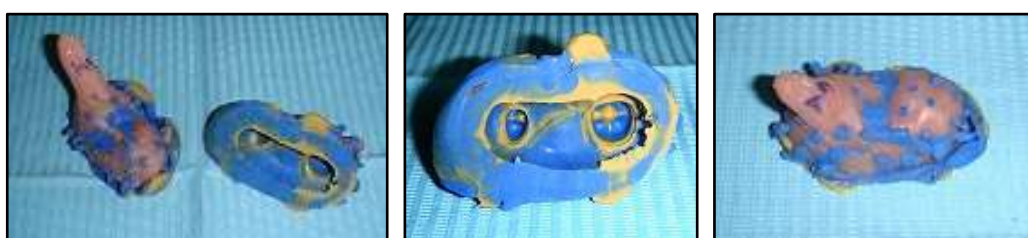
المضاعف المعدلة (modified replica technique) وذلك حسب المراحل التالية:

- المثال المعدني الرئيسي الناتج من الخطوات المذكورة أعلاه (تحضير العينة).



شكل (39) المثال المعدني الرئيسي

- استخدم 15 طابعاً إفرادياً أكريلياً لعمل 15 طبعة للمثال المعدني الرئيسي بالمطاط السيليكوني الإضافي بطريقة المزيج المتعدد.



شكل (40) طبعات المثال المعدني

- تم صب كل طبعة من هذه الطبعات مرتين، بالجبس عالي القساوة من الدرجة الرابعة، للحصول على 30 مثلاً مخبرياً جبسيّاً. و استخدمت هذه الامثلة الجبصية لصنع 15 جسراً

خزفيًا بتقنية **Slip - cast** التي شكلت المجموعة الأولى من العينات و 15 جسرًا خزفيًا بتقنية **CAD|CAM** شكلت المجموعة الثانية وذلك حسب الأنظمة الخزفية المستخدمة في البحث وحسب تعليمات الشركات المنتجة. حقن المطاط السيليكوني الإضافي منخفض اللزوجة داخل كل جسر خزفي للمجموعتين و ثبت الجسر على مثاله المخبري الجبسي بتطبيق ضغط إصبعي على الجسر حتى اكتمال تصلب المطاط، نزع الجسر وبداخله الثخانة المطاطية.



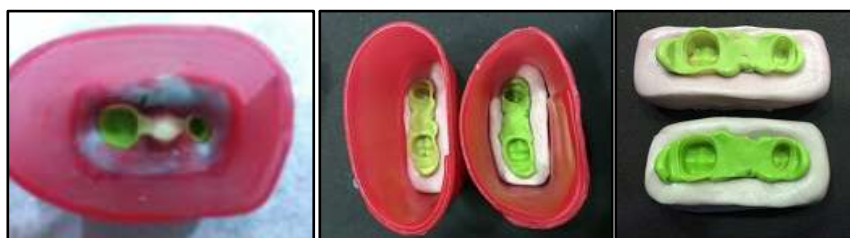
شكل (41) الأمثلة الجبسية، و الجسور الزركونية، حقن المطاط الإضافي الرخو داخل الجسر، ثبت الجسر على مثاله

- الثخانات المطاطية المراد معالجتها لقياس الانطباق الحفافي للدعامات داخل الجسر الخزفي .



شكل (42) الثخانات المطاطية المراد معالجتها لقياس الانطباق الحفافي

- ثُبّت الجسر و بداخله الثخانة المطاطية على كتلة مطاطية مصنعة من المطاط السيليكوني التكتفي كثيف اللزوجة لسهولة فكه عن المطاط السيليكوني الإضافي منخفض اللزوجة ذي اللون المختلف الذي سيحقن لاحقاً، عُلّيت الكتلة بصفحة من الشمع السني لتسهيل صبها بالمطاط السيليكوني الرخو منخفض اللزوجة. سُدت الفجوات الموجودة بين الجسر و الكتلة المطاطية بالشمع السني لمنع دخول المطاط الرخو بهذه الفجوات و بالتالي سهولة نزع الجسر (شكل 44).



شكل (43) ثُبّت الجسر و بداخله الثخانة المطاطية على كتلة مطاطية و تعليب الكتلة المطاطية

- صُبّت الثخانة المطاطية الموجودة داخل الجسر بالمطاط السيليكوني الإضافي منخفض اللزوجة ذي اللون مختلف عن لون الثخانة المطاطية و باستخدام الهزاز الآلي لتأمين وصول المطاط الرخو و ملئه لأدق تفاصيل الثخانة المطاطية و بالتالي التقليل ما أمكن من الفقاعات الهوائية داخل كتلة الصب و دعم المطاط الرخو المصبو布 بكتلة من المطاط الإضافي كثيف اللزوجة شكل (45).



شكل (44) صب الثخانة المطاطية المعلبة بالمطاط الإضافي الرخو مختلف اللون و دعمه بالمطاط القاسي

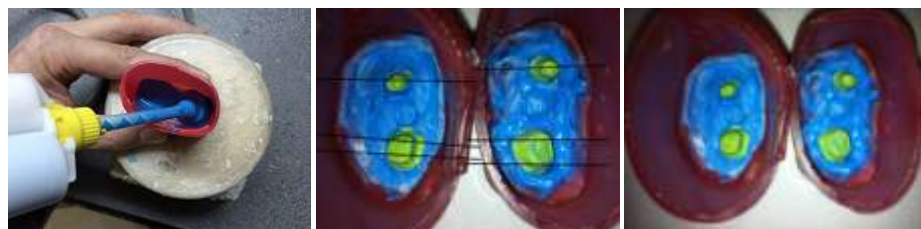
- فصلت كتلة المطاط السيليكوني التكتفي عن المطاط الرخو المصبوب و الجسر الخزفي

شكل (46).



شكل (45) فصل الجسر الخزفي عن كتلة الثخانة المطاطية

- علبت الكتلة المطاطية الناتجة من جديد لإجراء الصب من الطرف الآخر، وُضِعت دبابيس معدنية على مستوى الحدبات لتحديد مستوى قص الكتلة المطاطية النهاية المحيطة للثخانة المطاطية عند القيام بقص العينات للحصول على المقاطع المراد قياسها و الذي سيشرح لاحقاً ، صب الثخانة المطاطية بالمطاط السيليكوني الإضافي منخفض اللزوجة ذي اللون المختلف عن لون الثخانة المطاطية و باستخدام الهزاز الآلي للأسباب السابقة الذكر نفسها و دعمه بكتلة من المطاط السيليكوني الإضافي كثيف اللزوجة (شكل 47).



شكل (46) تعليب الكتلة المطاطية الناتجة و صبها بنفس المطاط الرخو مختلف اللون

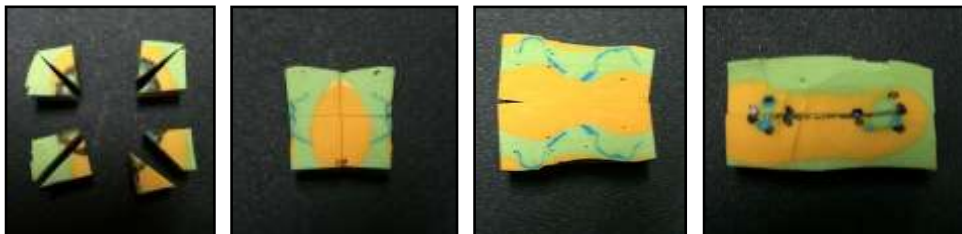
- الكتل المطاطية الناتجة عن تقنية النسخ المضاعف المطورة و المستخدمة لقياس الانطباق الحفافي للجسور الزركونية لعينات البحث شكل (48).



شكل (47) الكتل المطاطية الناتجة عن تقنية النسخ المضاعف المطورة

- شُذبت الكتلة المطاطية النهائية الناتجة عن التعليب الثاني في تقنية النسخ المضاعف المطورة إلى حدود مستوى الدبابيس لتحديد موقع الحدبات. قُسمت هذه الكتلة بشكل متنازلي إلى قسمين بالاتجاه الأنسي الوحشي، ثم فُصلت الرحى عن الصاحكة الثانية. قُصت الرحى دهليزي - لساني، ثم قُطِّعت من خلال منصف كل زاوية، مع محاولة جعل جميع القطع متساوية، لنحصل على 8 نقاط لقياس الانطباق الحفافي للرحى، و بالطريقة نفسها قُصت الصاحكة إلى 4 قطع متساوية بوساطة مشرط دقيق شكل (49). أي نحصل على 8 نقاط لقياس الانطباق الحفافي للرحى، و 4 نقاط لقياس الانطباق الحفافي للصاحكة،

حُفِظت كل قطعة في كيس خاص مع كتابة اسم كل مقطع على كل كيس، أي 8 أكياس للرحي وأربعة أكياس للضاحكة و جُمعت الأكياس الـ 12 في كيس واحد لكل جسر شكل (50). استُخدم المجهر الضوئي تكبير 10 (الموجود في كلية الهندسة الميكانيكية و الكهربائية في جامعة دمشق) لقياس 12 نقطة على الضاحكة و الرحي و على الجسر عموماً و ذلك بقياس وسطي عرض الفجوة الحفافية على السطوح : دهليزي - دهليزي - أنسى - أنسى - أنسى لساني - لساني وحشى - وحشى - وحشى دهليزي. ثُبِيتت عينة القياس بشكل عمودي على عدسة المجهر بواسطة قطعة مطاط صناعي شكل .(50)



شكل (48) مراحل تقسيم الكتلة المطاطية لإجراء قياسات الانطباق الحفافي



شكل (49) حفظ العينات في أكياسها و تثبيتها بشكل عمودي تحت العدسة بواسطة المطاط الصناعي



شكل (50) العينات و قياس الانطباق الحفافي تحت المجهر

- بعدها تم تسجيل قياسات قيم الفجوة الحفافية عند كل نقطة من نقاط القياس المدروسة في عينة الدراسة المخبرية، حيث كان العدد الكلي لنقاط القياس المحددة في عينة الدراسة المخبرية 360 نقطة قياس مختلفة في كلا المجموعتين. وتم حساب مقدار الفجوة الحفافية عموماً (بالميكرون) عند كل من الرحى والضاحكة وفي الجسر عموماً لكل جسر من الجسور المدروسة في عينة البحث وفقاً للمعادلة التالية:

مقدار الفجوة الحفافية عند الرحى عموماً لكل جسر مدروس = المتوسط الحسابي

لمقدار الفجوة الحفافية عند نقاط القياس الـ 8 المدروسة عند الرحى للجسر نفسه

مقدار الفجوة الحفافية عند الضاحكة عموماً لكل جسر مدروس = المتوسط الحسابي

لمقدار الفجوة الحفافية عند نقاط القياس الـ 4 المدروسة عند الضاحكة للجسر نفسه

مقدار الفجوة الحفافية عموماً لكل جسر مدروس = المتوسط الحسابي لمقدار الفجوة

الحفافية عند نقاط القياس الـ 12 المدروسة للجسر نفسه

تمت دراسة تأثير المجموعة المدروسة في مقدار الفجوة الحفافية (بالميكرون) وفقاً لموقع

القياس ، كما تمت دراسة تأثير موقع القياس في قيم مقدار الفجوة الحفافية (بالميكرون)

وفقاً للمجموعة المدروسة.

2.2. مواد البحث وأجهزته في الدراسة

السريرية :

1.2.2. عينة البحث:

شملت عينة الدراسة على 42 جسراً مصنعاً على 84 سنالدى 39 مريضاً ومربيضاً تراوحت أعمارهم بين 19 و 48 عاماً. كان عدد المرضى الذكور 20 مريضاً، عدد الإناث 19. قُسمت عينة الدراسة السريرية إلى مجموعتين متساويتين وفقاً لتقنية التصنيع المتبعه (نظام CAD|CAM الالي والمعتمد على الحاسب). كان لدى جميع المرضى المشمولين في الدراسة استباب للتعويض بجسور خلفية سفلية لتعويض الرحي الأولى السفلية. يحتاج بعض المرضى إلى التعويض بطرف واحد وبعضهم إلى التعويض بالطرفين مع الحفاظ على البعد العمودي نفسه.

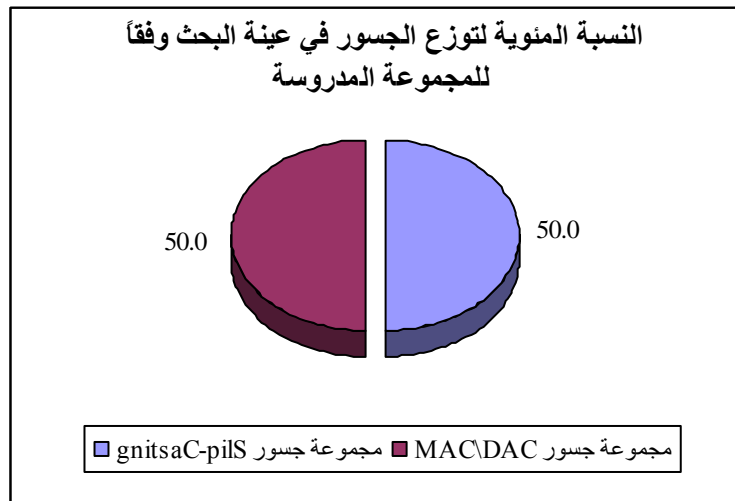
توزيع المرضى في عينة الدراسة السريرية وفقاً لجنس المريض:

جدول (8) توزيع المرضى في عينة الدراسة السريرية

النسبة المئوية	عدد المرضى	جنس المرض
48,72	19	أنثى
51,28	20	ذكر
100	39	المجموع

جدول (9) يبين توزع الجسور في عينة البحث السريرية وفقاً للمجموعة المدروسة.

النسبة المئوية	عدد الجسور	المجموعة المدروسة
50.0	21	مجموعة جسور Slip-Casting
50.0	21	مجموعة جسور CAD\CAM
100	42	المجموع



شكل (51) يمثل النسبة المئوية لتوزع الجسور في عينة البحث السريرية وفقاً للمجموعة المدروسة

تمت تعبئة استمارٍ خاصٍ بكل مريضٍ تتضمن معلوماتٍ شخصيةٍ بالإضافة إلى حالة اللثة ومشعراتها والحالة السنية لكل مريض على حدة، كما تم إجراء المعالجات الليبية واللثوية قبل البدء بإجراءات التحضير.

2.2.2 مواد البحث وأجهزته:

وهي المواد والأجهزة نفسها المستخدمة في الدراسة المخبرية يضاف إليها:

1- خيوط تبعيد لثوي مشربة بكلور الألمنيوم باسم تجاري (**Racestyptine**) منتجة من

قبل شركة **Septodent**

2- مطاط سيليكوني ذو تفاعل إضافي قابل للحقن من شركة **Zhermack**

تحت اسم **Elite HD+** مؤلف من مطاط كثيف (**Putty soft**)

على شكل معجونين ومطاط رخو مكون من خرطوشة مزدوجة تحتوي على

(**Elite HD+ Light Body Normal Set**) مسرع وأساس ثبت على فرد حقن

خاص (**Dispenser D2**) وثبتت عليها رؤوس مزج بلاستيكية من الشركة نفسها تُركب

في نهاياتها رؤوس ذات نهاية دقيقة لتسهيل حقن المطاط في المناطق الضيقة وتحت الحافة

الحرة للثة للحصول على طبعاتٍ نهائية دقيقة للمرضى.



شكل (52) المطاط السيليكوني الإضافي الرخو والقاسي (**Racestyptine**)، خيوط تبعيد لثوي (**HD+ Elite**)، فرد حقن خاص (**Dispenser D2**)

3.2.2 طرائق البحث:

1.3.2.2 تحضير الأسنان وأخذ الطبعات:

تم تحضير الأسنان باستخدام قبضة توربين مع إرذاذٍ مائيٍ ومجموعة السنابل نفسها المستخدمة في الدراسة المخبرية. وبالشروط والمواصفات نفسها، إذ تم تخفيض السطح الطاحن بمقدار 2 ملم، كما تم رسم خطٍّ إنهاء على شكل شبه كتف عميق فوق مستوى اللثة بـ 0.5 ملم وبعرض 1.5 ملم من الناحية الدهليزية، وفوق مستوى اللثة وبعرض 1 ملم في بقية السطوح. أخذت الطبعة المطاطية بعد الانتهاء من تحضير الأسنان في كل حالةٍ سريريةٍ على حدة واستخدمت تقنية المزيج المتعدد (Multiple Mix Technique) نظراً لإعطائها طبعات دقيقةٍ مقارنةً بالتقنيات الأخرى (Fenske et al, 2000) وذلك وفق المراحل التالية:

1- إجراء التبعيد اللثوي قبل إجراءات الطبعة وذلك باستخدام خيوط تبعيدٍ مشربةٍ بكلور الألمنيوم باسمٍ تجاريٍ (Racestyptine). تُدك الخيوط في منطقة الميزاب اللثوي باستخدام أداة ذات رأسٍ كليلٍ.

2 - أخذ الطبعة على مرحلتين، تُؤخذ في المرحلة الأولى طبعة المطاط السيليكوني الإضافي الكثيف (Putty soft)، تُترك الطبعة في الفم حتى التصلب التام ثم تُزال من فم المريض. لتنزالتها الزوائد و يتم التأكد من إمكانية إدخال الطابع بسهولةٍ مرةً أخرى في فم المريض.

3 - تؤخذ طبعة المطاط السيليكوني الإضافي السيال في المرحلة الثانية إذ تزال خيوط التبعيد اللثوي ويُحقن المطاط السيليكوني الإضافي الرخو في البداية على الطبعة الأولى ثم في المناطق تحت اللثوية وحول السن المحضرة في فم المريض بعد التجفيف بتيارٍ هوائيٍ لطيفٍ، ثم يعاد إدخال الطابع ويضغط جيداً مع التأكد من بقائه بوضعه الصحيح حتى التصلب التام للمطاط السيال.

4 - تزال الطبعة وتُغسل بتيارٍ مائيٍ وهوائيٍ وتُجفف وترسل للمختبر السني المختص، كل طبعةٍ بحسب الجسر الخزفي المراد تصنيعه.

تمت تجربة الجسر بعد إرساله من المختبر السني على الأسنان المحضرة في فم المرضى مع إجراء تجربةٍ مطاطيةٍ باستخدام مطاطٍ سيليكونيٍّ (Elite HD⁺ Light Body Normal Set) شركة Zhermack تحت اسم Elite HD⁺، بوضع المطاط الممزوج في باطن الجسر وضغطه في مكانه على الأسنان المحضرة حتى التصلب التام ، يُزال الجسر من مكانه ويُفحص المطاط في باطنه، ويتم سحل المناطق التي يكون فيها المطاط شافاً من باطن الجسر وتعاد التجربة حتى الحصول على تجانسٍ في طبقة المطاط.

4.2.2 دراسة الانطباق الحفافي والداخلي للعينات:

تم قياس الانطباق الحفافي لجسور عينة الدراسة السريرية باستخدام تقنية النسخ المضاعف المطورة (developed Techinque Replica) وذلك حسب المراحل التالية :

1- حُقن المطاط الرخو (Elite HD+ Light Body Normal Set) في باطن الجسر

وهو المطاط نفسه المستخدم في أخذ الطبعة النهائية لكونه ذي دقة عالية وهو ذو لون أخضر أو أزرق.

2- وضع الجسر في مكانه على الأسنان المحضرة في فم المريض وضغط بالإصبع مع

توجيهه تيارٍ هوائيٍّ خفيفٍ لإزالة كل زوائد المطاط من منطقة الحواف.

3- يُترك الجسر حتى التصلب التام للمطاط مع المحافظة على الضغط الإصبعي.

4- يُنزع الجسر فیلاحظ تشكيل طبقة رقيقة من المطاط الرخو (الثخانة المطاطية) في

باطنه وفي منطقة الحواف تمثل ثخانتها الفجوة الحفافية بين الجسر والأسنان المحضرة.

5- عُولجت هذه الرقاقة المطاطية بتقنية النسخ المضاعف المطورة المشروحة (سابقاً).

6- تم تحديد 12 نقطة قياس مختلفة على كل من منطقة الرحي ومنطقة الضاحكة لكل

جسر من الجسور المختلفة ثم تم قياس مقدار الفجوة الحفافية (بالميكرون) عند كل نقطة

من نقاط القياس المدروسة في عينة البحث، وتم حساب مقدار الفجوة الحفافية عموماً

(بالميكرون) عند كل من الرحي والضاحكة وفي الجسر عموماً لكل جسر من الجسور

المدروسة في عينة البحث وفقاً للمعادلة التالية:

مقدار الفجوة الحفافية عند الرحي عموماً لكل جسر مدروس = المتوسط الحسابي لمقدار

الفجوة الحفافية عند نقاط القياس الـ 8 المدروسة عند الرحي للجسر نفسه

مقدار الفجوة الحفافية عند الضاحكة عموماً لكل جسر مدروس = المتوسط الحسابي لمقدار

الفجوة الحفافية عند نقاط القياس الـ 4 المدرosaة عند الضاحكة للجسر نفسه

مقدار الفجوة الحفافية عموماً لكل جسر مدروس = المتوسط الحسابي لمقدار الفجوة

الحفافية عند نقاط القياس الـ 12 المدرosaة للجسر نفسه

ثم تمت دراسة تأثير المجموعة المدرosaة في مقدار الفجوة الحفافية (بالميكرون) وفقاً

لموقع القياس، كما تمت دراسة تأثير موقع القياس في قيم مقدار الفجوة الحفافية

(بالميكرون) وفقاً للمجموعة المدرosaة. كان العدد الكلي لنقاط قياس الفجوة الحفافية في

عينة الدراسة السريرية 504 نقطة قياس مختلقة مقسمة إلى مجموعتين متساوietين وفقاً

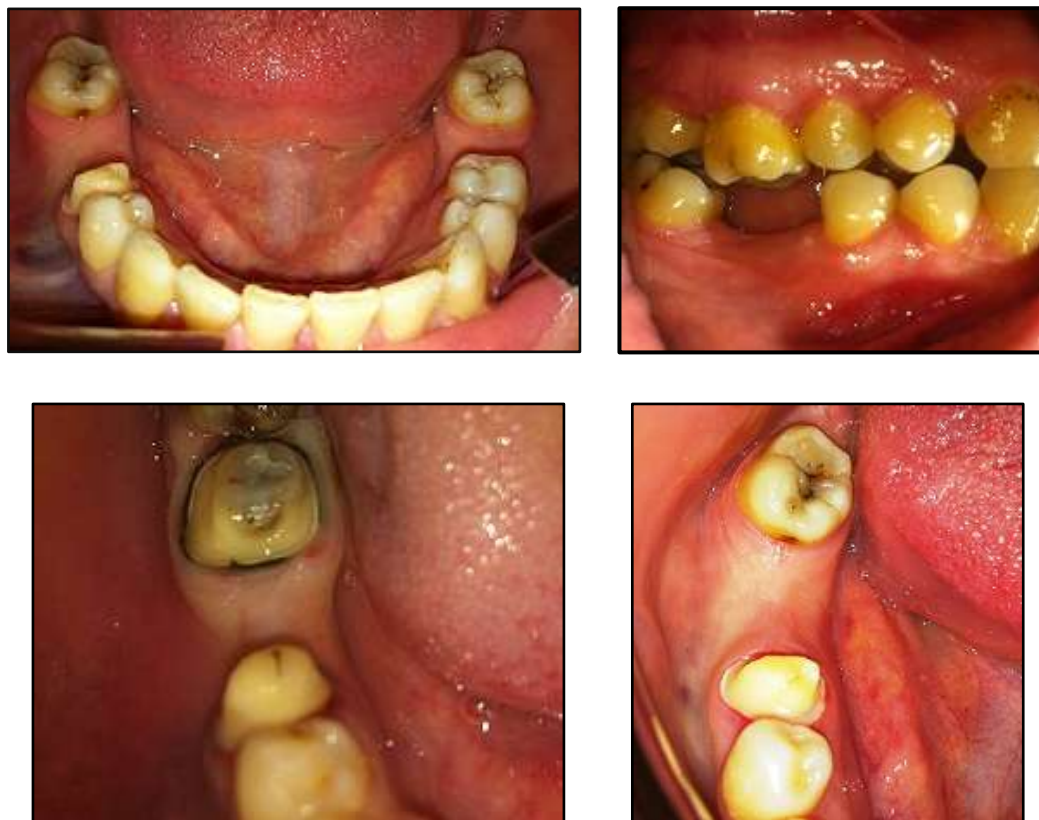
لتقنية التصنيع المتبعة. واستخدمت الاختبارات الإحصائية نفسها المستخدمة في الدراسة

المخبرية. تم بعد ذلك بناء الشكل التشريحي لكل الجسور باستخدام المجموعة الخزفية

ال المناسبة لكل نظام وذلك في المخابر السنوية نفسها التي تم فيها تصنيع هيكل الجسور

الزركونية. ثُبتت الجسور عند جميع المرضى باستخدام الأسمنت الراتجي

.IVOCLAR VIVADENT (من شركة VARIOLINK II)



شكل (53) حالة سريرية و مراحل العمل السريري

الاختبارات الإحصائية المستخدمة في البحث:

تم إجراء اختبار **T** ستيفونز للعينات المستقلة لدراسة دلالة الفروق في متوسط مقدار الفجوة الحفافية (بالميكرون) بين مجموعة جسور **Slip-Casting** ومجموعة جسور **CAD\CAM** وذلك عند مستوى الثقة (95 %)، وفي حال وجود فروق دالةٌ (قيمة مستوى الدلالة $P < 0.05$) في عينة البحث.

5.2. دراسة مخبرية لمقارنة تقنيتي النسخ المضاعف

و النسخ المضاعف المطورة :

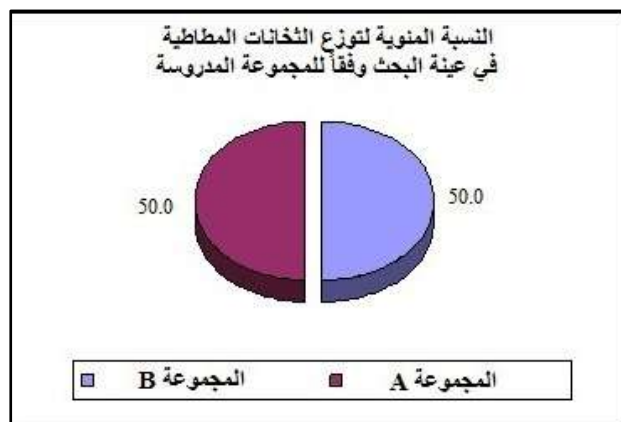
1.5.2.2 مواد البحث وأجهزته في الدراسة المخبرية الثانية :

عينة البحث :

تألفت عينة البحث من الجسور الزيركونية المصنعة بطريقة الا CAD\CAM المستخدمة بالدراسة المخبرية السابقة. إذ حقن المطاط السيليكوني منخفض اللزوجة داخل الجسر الخزفي وثبت الجسر على مثاله المخبري بتطبيق ضغط إصبعي على الجسر حتى إكمال تصلب المطاط. نُزع الجسر وبداخله الثخانة المطاطية و عولجت هذه الثخانة بتقنية النسخ المضاعف المطورة لتشكل المجموعة A من الدراسة و تم إعادة الخطوات السابقة نفسها و باستخدام الجسر والمطاط نفسهم للحصول على الثخانة المطاطية الثانية التي عولجت بتقنية النسخ المضاعف التقليدية لتشكل المجموعة B من الدراسة.

جدول (10) يبين توزع الثخانات المطاطية في عينة البحث المخبرية الثانية وفقاً للمجموعة المدروسة

النسبة المئوية	عدد الثخانات المطاطية	المجموعة المدروسة
50.0	15	المجموعة A
50.0	15	المجموعة B
100	30	المجموع



شكل (54) يمثل النسبة المئوية لنوع الجسور في عينة البحث المخبرية الثانية وفقاً للمجموعة المدروسة

أ. 2.5.2.2 أجهزة و مواد البحث :

أجهزة البحث:

بعض أجهزة الدراسة المخبرية السابقة المستخدمة لصناعة جسور لا CAD|CAM :

1- الماسح الضوئي الخاص بجهاز ZirkoDenta CAD/CAM لنظام

2- الحاسوب الخاص بجهاز ZirkoDenta CAD/CAM لنظام

3- آلة النحت الخاصة بالجهاز Milling Machine مع السنابل الخاصة بالنحت

ZirkoDenta لنظام Burs Milling

مواد البحث:

1- أقراص لا Zircodenta المستخدمة بتقنية ال CAD|CAM .

2- مشرط (ستانلي سناب) متعدد الاستخدام لقطع الكتلة المطاطية و شفرات مشرط

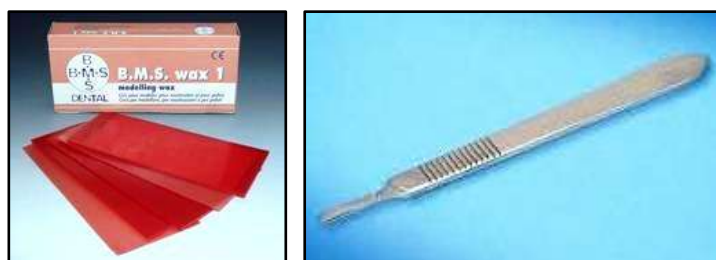
.(Rayko)



شكل (55) مشرط (ستانلي سناب) متعدد الاستخدام لقطع الكتلة المطاطية و شفرات مشرط (Rayko)

3- مشرط جراحي مع شفرة رقم 15 لتقليم المقاطع الناتجة عن القص.

4- شمع تعليب (B.M.S Dental) من شركة (Modelling wax)



شكل (56) مشرط جراحي مع شفرة رقم 15 شمع تعليب (Modelling wax) من شركة (B.M.S Dental)

3.5.2.2 طرائق البحث في الدراسة المخبرية الثانية:

استُخدمت الجسور الزيركونية لا 15 المصنعة بطريقة الا CAD|CAM و المستخدمة بالدراسة المخبرية السابقة لإتمام هذه الدراسة. إذ حقن المطاط السيليكوني منخفض اللزوجة داخل الجسر الخزفي و ثبت الجسر على مثاله المخبري بتطبيق ضغط إصبعي على الجسر حتى إكمال تصلب المطاط. نُزع الجسر و بداخله الثخانة المطاطية و عولجت هذه الثخانة بتقنية النسخ المضاعف المطورة لتشكل المجموعة A من الدراسة

وتم إعادة الخطوات السابقة نفسها وباستخدام الجسر والمطاط نفسه للحصول على الثخانة المطاطية الثانية التي عولجت بتقنية النسخ المضاعف التقليدية لتشكل المجموعة B من الدراسة.

تقنية النسخ المضاعف المطورة:

تمت معالجة الثخانات المطاطية للمجموعة A بتقنية النسخ المضاعف المطورة المنشورة سابقاً.

تقنية النسخ المضاعف التقليدية:

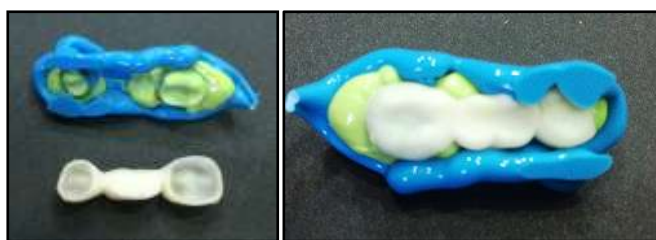
تمت معالجة الثخانات المطاطية للمجموعة B بتقنية النسخ المضاعف التقليدية الموضحة بالخطوات التالية :

- تم حقن المطاط السيليكوني الإضافي السائل الذي استُخدم بـتقنية النسخ المضاعف المطورة ذو اللون مختلف عن لون الثخانة المطاطية داخل الثخانة المطاطية للجسر، مستخدمين الهزاز الآلي لتأمين وصول المطاط الرخو و ملئه لأدق تفاصيل الثخانة المطاطية و وبالتالي التقليل ما أمكن من الفقاعات الهوائية داخل كثلة الصب.



شكل (57) حقن المطاط السيليكوني الإضافي منخفض اللزوجة (تقنية النسخ المضاعف التقليدية)

- فصل الكتلة المطاطية المصبوبة للثخانة المطاطية عن الجسر.



شكل (58) الكتلة المطاطية المصبوبة للثخانة المطاطية عن الجسر (تقنية النسخ المضاعف التقليدية)

نقص الكتلة المطاطية الناتجة عن تقنية النسخ المضاعف التقليدية بالطريقة نفسها المستخدمة بتقنية النسخ المضاعف المطورة، لنحصل على 8 نقاط لقياس الانطباق الحفافي للرحي، و 4 نقاط لقياس الانطباق الحفافي للضاحكة و بالتالي 12 نقطة للجسر عموماً.

دراسة الانطباق الحفافي للعينات :

تم تحديد 12 نقطة قياس مختلفة على كل من منطقة الرحي ومنطقة الضاحكة لكل جسر من الجسور المختلفة في عينة البحث ثم تم قياس مقدار الفجوة الحفافية (بالميكرون) عند كل نقطة من نقاط القياس المدروسة في عينة البحث بطرريقتين اثنتين مختلفتين (طريقة النسخ المضاعف المعدلة، طريقة النسخ المضاعف التقليدية) وتم حساب مقدار الفجوة الحفافية عموماً (بالميكرون) عند كل من الرحي والضاحكة وفي الجسر عموماً في كل طريقة من الطريقتين المدروستين لكل جسر من الجسور المدروسة في عينة البحث وفقاً للمعادلة التالية:

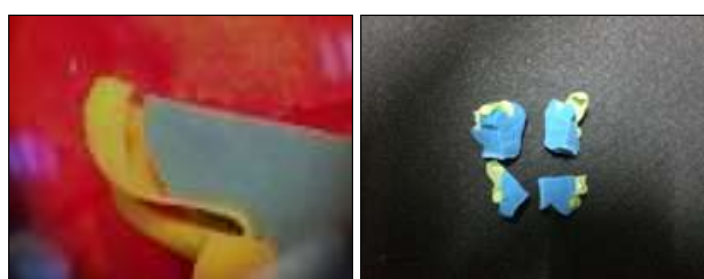
مقدار الفجوة الحفافية عند الرحي عموماً لكل جسر مدروس في كل طريقة = المتوسط الحسابي لمقدار الفجوة الحفافية عند نقاط القياس الـ 8 المدروسة عند الرحي للجسر نفسه المقاسة بالطريقة نفسها

مقدار الفجوة الحفافية عند الضاحك عموماً لكل جسر مدروس في كل طريقة = المتوسط الحسابي لمقدار الفجوة الحفافية عند نقاط القياس الـ 4 المدروسة عند الضاحك للجسر نفسه المقاسة بالطريقة نفسها

مقدار الفجوة الحفافية عموماً لكل جسر مدروس في كل طريقة = المتوسط الحسابي لمقدار الفجوة الحفافية عند نقاط القياس الـ 12 المدروسة للجسر نفسه المقاسة بالطريقة نفسها

ثم تمت المقارنة بين طرقيتي القياس المتبعتين في قيم مقدار الفجوة الحفافية (بالميكرون) وفقاً لموقع القياس، كما تمت دراسة تأثير موقع القياس في قيم مقدار الفجوة الحفافية (بالميكرون) وفقاً لطريقة القياس المتبعة.

أجريت القياسات للنقاط الـ 12 بإستخدام المجهر الضوئي الموجود بكلية الهندسة الميكانيكية والكهربائية جامعة دمشق) بتكبير $\times 10$ ، بقياس التباين الحفافي المطلق (CO. LTD, Japan OLYMPUS OPTICAL) للحوار بين الناج والسن حسب (Holmes) لعينات البحث.



شكل (59) قص الكثلة المطاطية الناتجة عن تقطيبة النسخ المضاعف التقليدية

الباب الثالث

النتائج

Results

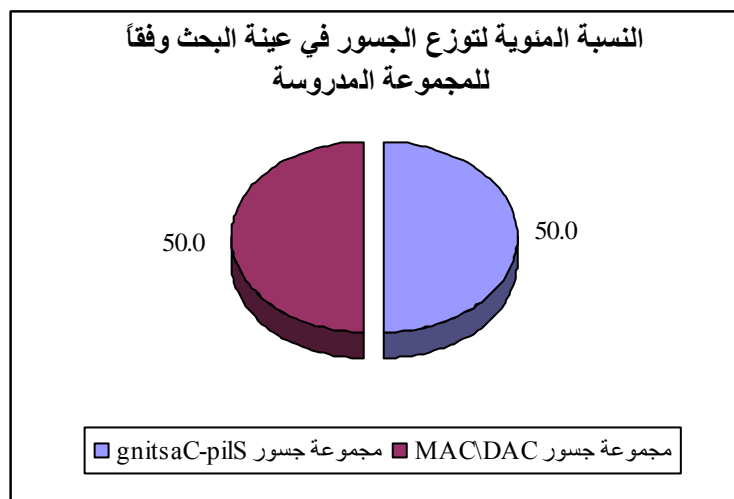
1.3. نتائج الدراسة المخبرية:

1.1.3. وصف العينة:

تألفت عينة البحث من 30 جسراً زيركونياً قسمت إلى مجموعتين اثنتين متساويتين وفقاً لطريقة التصنيع المتبعة (مجموعة جسور Slip-Casting، مجموعة جسور CAD\CAM)، وقد كان توزع عينة البحث وفقاً للمجموعة المدروسة كما يلي:

جدول (11) يبين توزع الجسور في عينة البحث المخبرية وفقاً للمجموعة المدروسة

النسبة المئوية	عدد الجسور	المجموعة المدروسة
50.0	15	مجموعة جسور Slip-Casting
50.0	15	CAD\CAM مجموعة جسور
100	30	المجموع



شكل (60) يمثل النسبة المئوية لتوزع الجسور في عينة البحث المخبرية وفقاً للمجموعة المدروسة

2.1.3 الدراسة الإحصائية التحليلية :

تم تحديد 12 نقطة قياس مختلفة على كل من منطقة الرحي ومنطقة الضاحكة لكل جسر من الجسور المختلفة ثم تم قياس مقدار الفجوة الحفافية (بالميكرون) عند كل نقطة من نقاط القياس المدروسة في عينة البحث، وتم حساب مقدار الفجوة الحفافية عموماً (بالميكرون) عند كل من الرحي والضاحكة وفي الجسر عموماً لكل جسر من الجسور المدروسة في عينة البحث وفقاً للمعادلة التالية:

$\text{مقدار الفجوة الحفافية عند الرحي عموماً لكل جسر مدروس} = \text{المتوسط الحسابي}$

$\text{لمقدار الفجوة الحفافية عند نقاط القياس } - 8 \text{ المدروسة عند الرحي للجسر نفسه}$

$\text{مقدار الفجوة الحفافية عند الضاحكة عموماً لكل جسر مدروس} = \text{المتوسط الحسابي}$

$\text{لمقدار الفجوة الحفافية عند نقاط القياس } - 4 \text{ المدروسة عند الضاحكة للجسر نفسه}$

$\text{مقدار الفجوة الحفافية عموماً لكل جسر مدروس} = \text{المتوسط الحسابي لمقدار الفجوة}$

$\text{الحفافية عند نقاط القياس } - 12 \text{ المدروسة للجسر نفسه}$

ثم تمت دراسة تأثير المجموعة المدروسة في مقدار الفجوة الحفافية (بالميكرون) وفقاً لموقع القياس، كما تمت دراسة تأثير موقع القياس في قيم مقدار الفجوة الحفافية (بالميكرون) وفقاً للمجموعة المدروسة .

3.1.3. محاور الدراسة المخبرية :

1.3.1.3 دراسة تأثير المجموعة المدروسة في مقدار الفجوة

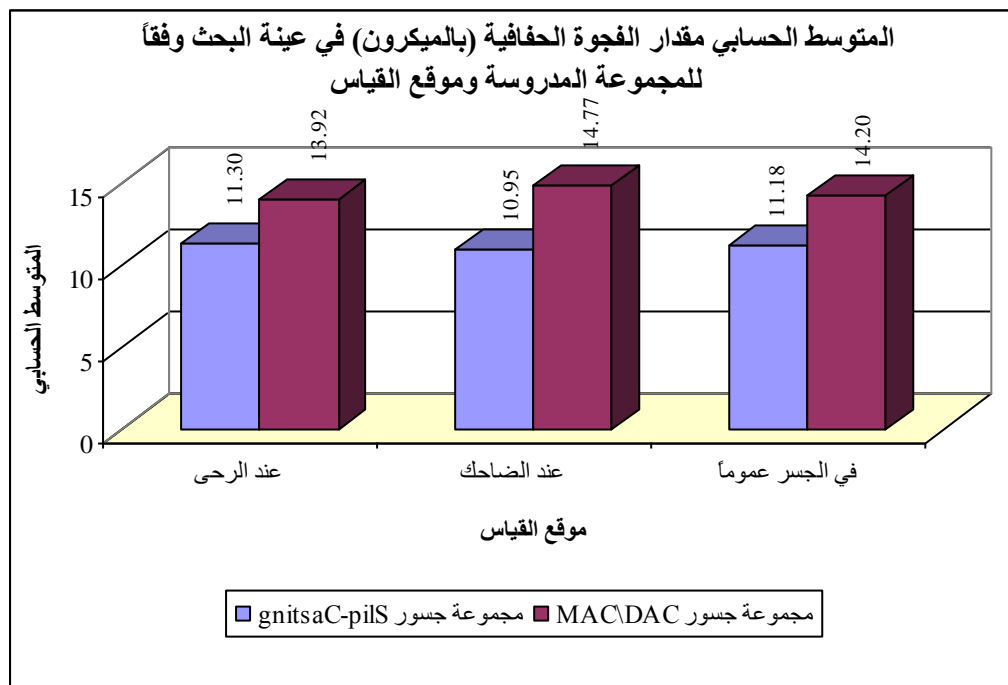
الهدفية في عينة البحث المخبرية وفقاً لموقع القياس:

تم إجراء اختبار T ستودنت للعينات المستقلة لدراسة دلالة الفروق في متوسط مقدار الفجوة الحفافية (بالميكرون) بين مجموعة جسور Slip-Casting ومجموعة جسور CAD\CAM في عينة البحث وفقاً لموقع القياس كما يلي:

إحصاءات وصفية:

جدول (12) يبين المتوسط الحسابي والانحراف المعياري والخطأ المعياري والحد الأدنى والحد الأعلى لمقدار الفجوة الحفافية (بالميكرون) في عينة البحث المخبرية وفقاً للمجموعة المدروسة وموقع القياس

المتغير المدروس	موقع القياس	المجموعة المدروسة	عدد الجسور	المتوسط الحسابي	الانحراف المعياري	الخطأ المعياري	الحد الأدنى	الحد الأعلى
مقدار الفجوة الحفافية (بالميكرون)	عند الرحي	مجموعة جسور Slip-Casting	15	11.30	2.34	0.60	8.25	17.25
	عند الضاحكة	مجموعة جسور CAD\CAM	15	13.92	4.47	1.15	9.00	26.63
	كامل الجسر عموماً	مجموعة جسور Slip-Casting	15	10.95	1.81	0.47	8.25	14.75
	عند الضاحكة	مجموعة جسور CAD\CAM	15	14.77	4.48	1.16	8.00	23.00
	عند الرحي	مجموعة جسور Slip-Casting	15	11.18	2.02	0.52	8.67	16.42
	عند الرحي	مجموعة جسور CAD\CAM	15	14.20	3.78	0.98	8.92	24.00



شكل (61) يمثل المتوسط الحسابي لمقدار الفجوة الحفافية (بالميكرون) في عينة البحث المخبرية وفقاً للمجموعة المدروسة وموقع القياس

نتائج اختبار T ستيفيدنت للعينات المستقلة:

جدول (13) يبين نتائج اختبار T ستيفيدنت للعينات المستقلة لدراسة دلالة الفروق في متوسط مقدار الفجوة الحفافية بين مجموعة جسور Slip-Casting ومجموعة جسور CAD\CAM في عينة البحث المخبرية وفقاً لموقع القياس.

دلالة الفروق	قيمة مستوى الدلالة	الخطأ المعياري للفرق	الفرق بين المتوسطين	درجات الحرية	قيمة t المحسوبة	موقع القياس	المتغير المدروس
لا توجد فروق دالة	0.054	1.30	-2.62	28	-2.010	عند الرحي	مقدار الفجوة الحفافية (بالميكرون)
<u>توجد فروق دالة</u>	0.005	1.25	-3.82	28	-3.059	عند الضاحكة	
<u>توجد فروق دالة</u>	0.011	1.11	-3.02	28	-2.725	كامل الجسر عموماً	

يُلاحظ في الجدول أعلاه أن قيمة مستوى الدلالة أصغر من القيمة 0.05 في مجموعة القياسات المُجراة عند الضاحكة وفي كامل الجسر عموماً، أي إنه عند مستوى الثقة 95% توجد فروق ذات دلالة إحصائية في متوسط مقدار الفجوة الحفافية (بالميكرون) بين مجموعة جسور Slip-Casting ومجموعة جسور CAD\CAM، وذلك في مجموعة القياسات المُجراة عند الضاحكة وفي كامل الجسر عموماً في عينة البحث، وبما أن الإشارة الجiberية للفروق بين المتosteطات سالبة فإن قيم مقدار الفجوة الحفافية (بالميكرون) في مجموعة جسور Slip-Casting كانت أصغر منها في مجموعة جسور CAD\CAM، وذلك في مجموعة القياسات المُجراة عند الضاحكة وفي كامل الجسر عموماً في عينة البحث. أما بالنسبة لمجموعة القياسات المُجراة عند الرحي فيُلاحظ أن قيمة مستوى الدلالة أكبر من القيمة 0.05، أي إنه عند مستوى الثقة 95% لا توجد فروق ذات دلالة إحصائية في متوسط مقدار الفجوة الحفافية (بالميكرون) بين مجموعة جسور Slip-Casting ومجموعة جسور CAD\CAM، وذلك في مجموعة القياسات المُجراة عند الرحي من عينة البحث.

2.3.1.3 دراسة تأثير موقع القياس في مقدار الفجوة الحفافية

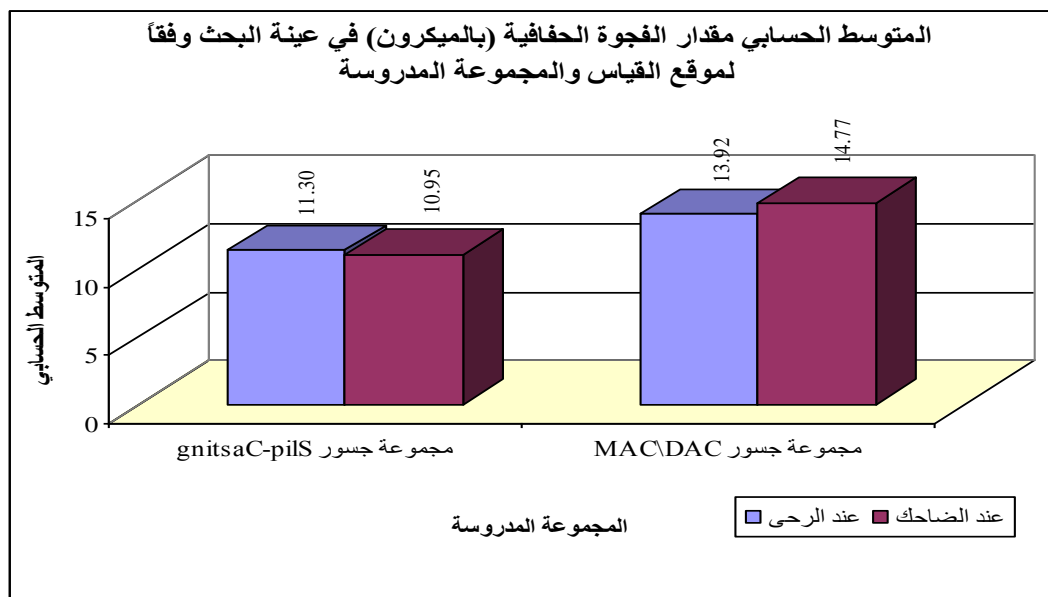
في عينة البحث المخبرية وفقاً للمجموعة المدروسة:

تم إجراء اختبار T ستيفيدنت للعينات المترابطة لدراسة دلالة الفروق في متوسط مقدار الفجوة الحفافية (بالميكرون) بين مجموعة القياسات المُجراة عند الرحي ومجموعة القياسات المُجراة عند الضاحكة في عينة البحث، وذلك وفقاً للمجموعة المدروسة كما يلي:

إحصاءات وصفية:

جدول (14) يبين المتوسط الحسابي والانحراف المعياري والخطأ المعياري والحد الأدنى والحد الأعلى لمقدار الفجوة الحفافية (بالميكرون) في عينة البحث المخبرية وفقاً لموقع القياس والمجموعة المدروسة.

المتغير المدروس	المجموعة المدروسة	موقع القياس	عدد الجسور	المتوسط الحسابي	الانحراف المعياري	الخطأ المعياري	الحد الأدنى	الحد الأعلى
Slip-Casting	عند الرحي	عند الرحي	15	11.30	2.34	0.60	8.25	17.25
	عند الضاحكة	عند الضاحكة	15	10.95	1.81	0.47	8.25	14.75
مقدار الفجوة الحفافية (بالميكرون)	عند الرحي	عند الرحي	15	13.92	4.47	1.15	9	26.63
	عند الضاحكة	عند الضاحكة	15	14.77	4.48	1.16	8	23.00



شكل (62) يمثل المتوسط الحسابي لمقدار الفجوة الحفافية (بالميكرون) في عينة البحث المخبرية وفقاً لموقع القياس والمجموعة المدروسة

نتائج اختبار T ستيفونز للعينات المترابطة:

جدول (15) يبين نتائج اختبار T ستيفونز للعينات المترابطة لدراسة دلالة الفروق في متوسط مقدار الفجوة الحفافية بين مجموعة القياسات المُجراة عند الرحي ومجموعة القياسات المُجراة عند الضاحك في عينة البحث المخبرية وفقاً للمجموعة المدروسة.

المقارنة في قيم مقدار الفجوة الحفافية بين القياسات عند الرحي والقياسات عند الضاحك					
دلالة الفروق	قيمة مستوى الدلالة	درجات الحرية	قيمة t المحسوبة	الفرق بين المتوسطين	المجموعة المدروسة
لا توجد فروق دالة	0.442	14	0.791	0.35	Slip-Casting
لا توجد فروق دالة	0.526	14	-0.650	-0.85	CAD\CAM

يُلاحظ في الجدول أعلاه أن قيمة مستوى الدلالة أكبر بكثير من القيمة 0.05 مهما كانت المجموعة المدروسة، أي إنه عند مستوى الثقة 95% لا توجد فروق ذات دلالة إحصائية في متوسط مقدار الفجوة الحفافية بين مجموعة القياسات المُجراة عند الرحي ومجموعة القياسات المُجراة عند الضاحكة، وذلك في كل من مجموعة جسور Slip-Casting ومجموعة جسور CAD\CAM على حدة في عينة البحث. أجريت كافة القياسات لهذه النقاط باستخدام المجهر الضوئي بتكبير $\times 10$ الموجود في كلية الهندسة (OLYMPUS OPTICAL CO. LTD, Japan) الميكانيكية و الكهربائية قسم الميكانيك جامعة دمشق. سُجلت جميع القياسات على الصور المأخوذة للمناطق المفحوصة.

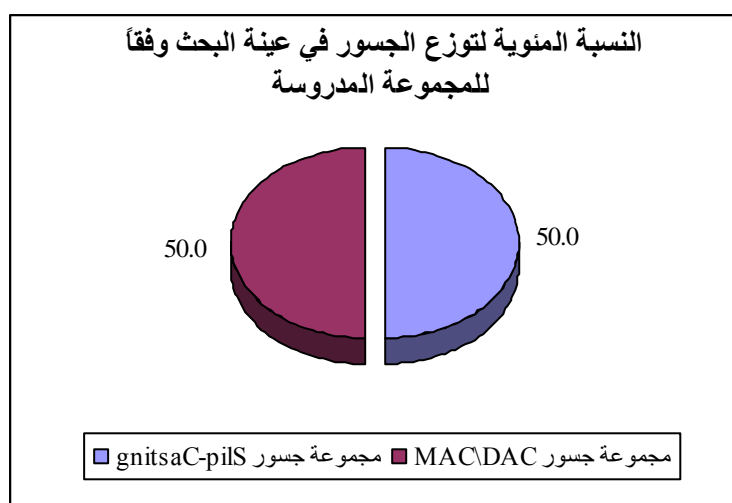
2. نتائج الدراسة السريرية:

1.2.3. وصف العينة:

تألفت عينة البحث من 42 جسراً زيركونياً قسمت إلى مجموعتين اثنتين متساويتين وفقاً لطريقة التصنيع المتبعة (مجموعة جسور Slip-Casting، مجموعة جسور CAD\CAM)، وقد كان توزع عينة البحث وفقاً للمجموعة المدروسة كما يلي:

جدول (16) يبين توزع الجسور في عينة البحث السريرية وفقاً للمجموعة المدروسة

النسبة المئوية	عدد الجسور	المجموعة المدروسة
50.0	21	مجموعة جسور Slip-Casting
50.0	21	CAD\CAM جسور
100	42	المجموع



شكل (63) يمثل النسبة المئوية لتوزع الجسور في عينة البحث السريرية وفقاً للمجموعة المدروسة

2.2.3 الدراسة الإحصائية التحليلية :

تم تحديد 12 نقطة قياس مختلفة على كل من منطقة الرحى ومنطقة الضاحكة لكل جسر من الجسور المختلفة ثم تم قياس مقدار الفجوة الحفافية (بالميكرون) عند كل نقطة من نقاط القياس المدروسة في عينة البحث، وتم حساب مقدار الفجوة الحفافية عموماً (بالميكرون) عند كل من الرحى والضاحكة وفي الجسر عموماً لكل جسر من الجسور المدروسة في عينة البحث وفقاً للمعادلة التالية:

$\text{مقدار الفجوة الحفافية عند الرحى عموماً لكل جسر مدروس} = \text{المتوسط الحسابي}$

$\text{لمقدار الفجوة الحفافية عند نقاط القياس } - 8 \text{ المدروسة عند الرحى للجسر نفسه}$

$\text{مقدار الفجوة الحفافية عند الضاحكة عموماً لكل جسر مدروس} = \text{المتوسط الحسابي}$

$\text{لمقدار الفجوة الحفافية عند نقاط القياس } - 4 \text{ المدروسة عند الضاحكة للجسر نفسه}$

$\text{مقدار الفجوة الحفافية عموماً لكل جسر مدروس} = \text{المتوسط الحسابي لمقدار الفجوة}$

$\text{الحفافية عند نقاط القياس } - 12 \text{ المدروسة للجسر نفسه}$

ثم تمت دراسة تأثير المجموعة المدروسة في مقدار الفجوة الحفافية (بالميكرون) وفقاً لموقع القياس، كما تمت دراسة تأثير موقع القياس في قيم مقدار الفجوة الحفافية (بالميكرون) وفقاً للمجموعة المدروسة .

3.2.3. محاور الدراسة المخبرية :

1.3.2.3 دراسة تأثير المجموعة المدروسة في مقدار الفجوة

الحفافية في عينة البحث وفقاً لموقع القياس:

تم إجراء اختبار T ستودنت للعينات المستقلة لدراسة دلالة الفروق في متوسط مقدار

الفجوة الحفافية (بالميكرون) بين مجموعة جسور Slip-Casting ومجموعة جسور

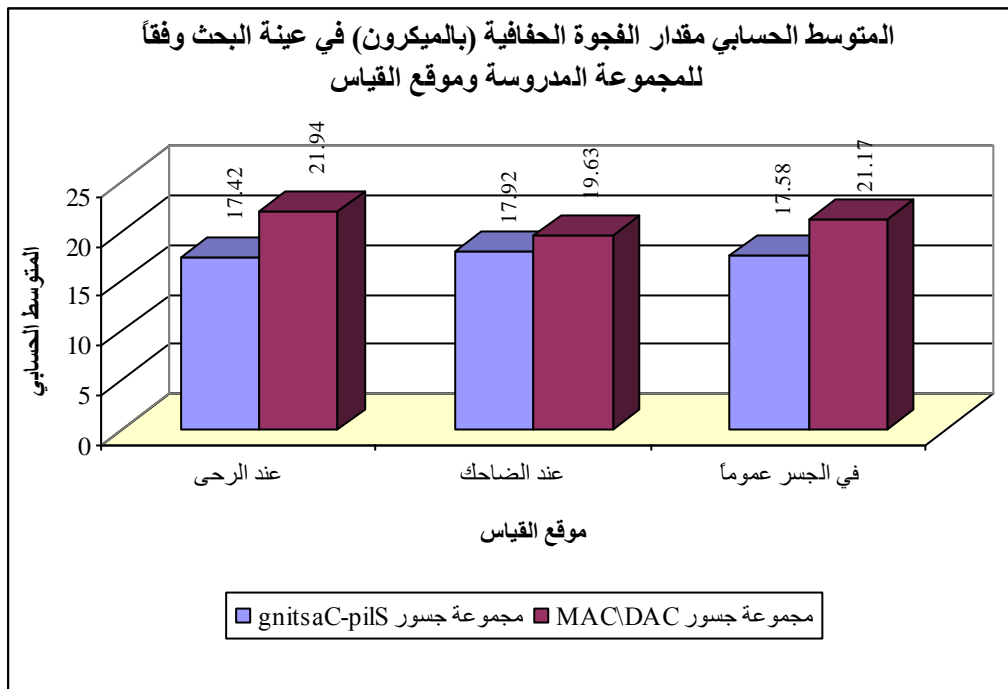
CAD|CAM في عينة البحث وفقاً لموقع القياس كما يلي:

إحصاءات وصفية:

جدول (17) يبين المتوسط الحسابي والانحراف المعياري والخطأ المعياري والحد الأدنى والحد الأعلى لمقدار الفجوة

الحفافية (بالميكرون) في عينة البحث السريرية وفقاً للمجموعة المدروسة وموقع القياس

المتغير المدروس	موقع القياس	عند الرحى	عند الضاحكة	كامل الجسر عموماً	مقدار الفجوة الحفافية (بالميكرون)		
الحد الأعلى	الحد الأدنى	الخطأ المعياري	الانحراف المعياري	المتوسط الحسابي	عدد الجسور	المجموعة المدروسة	
28.75	11.00	0.98	4.51	17.42	21	مجموعة جسور Slip-Casting	عند الرحى
30.25	14.75	0.95	4.34	21.94	21	مجموعة جسور CAD CAM	
32.00	7.00	1.14	5.21	17.92	21	مجموعة جسور Slip-Casting	عند الضاحكة
26.50	11.50	0.99	4.55	19.63	21	مجموعة جسور CAD CAM	
29.50	11.83	0.92	4.22	17.58	21	مجموعة جسور Slip-Casting	كامل الجسر عموماً
28.50	13.83	0.83	3.78	21.17	21	مجموعة جسور CAD CAM	



شكل (64) يمثل المتوسط الحسابي لمقدار الفجوة الحفافية (بالميكرون) في عينة البحث السريرية وفقاً للمجموعة المدروسة وموقع القياس

نتائج اختبار T ستودنت للعينات المستقلة:

جدول (18) يبين نتائج اختبار T ستودنت للعينات المستقلة لدراسة دلالة الفروق في متوسط مقدار الفجوة الحفافية بين

مجموعه جسور Slip-Casting ومجموعه جسور CAD\CAM في عينة البحث السريرية وفقاً لموقع القياس

دلالة الفروق	قيمة مستوى الدلالة	الخطأ المعياري للفرق	الفرق بين المتوسطين	درجات الحرية	قيمة t المحسوبة	موقع القياس	المتغير المدروس
<u>توجد فروق دالة</u>	0.002	1.37	-4.52	40	-3.312	عند الرحى	مقدار الفجوة الحفافية (بالميكرون)
لا توجد فروق دالة	0.263	1.51	-1.71	40	-1.136	عند الصاحات	
<u>توجد فروق دالة</u>	0.006	1.24	-3.59	40	-2.902	كامل الجسر عموماً	

يُلاحظ في الجدول أعلاه أن قيمة مستوى الدلالة أصغر بكثير من القيمة 0.05 في مجموعة القياسات المُجراة عند الرحي وفي كامل الجسر عموماً، أي إنه عند مستوى الثقة 95% توجد فروق ذات دلالة إحصائية في متوسط مقدار الفجوة الحفافية (بالميكرون) بين مجموعة جسور Slip-Casting ومجموعة جسور CAD|CAM، وذلك في مجموعة القياسات المُجراة عند الرحي وفي كامل الجسر عموماً في عينة البحث، وبما أن الإشارة الجبرية للفروق بين المتوسطات سالبة نستنتج أن قيم مقدار الفجوة الحفافية (بالميكرون) في مجموعة جسور Slip-Casting كانت أصغر منها في مجموعة جسور CAD|CAM، وذلك في مجموعة القياسات المُجراة عند الرحي وفي كامل الجسر عموماً في عينة البحث. أما بالنسبة لمجموعة القياسات المُجراة عند الضاحكة فإن قيمة مستوى الدلالة أكبر بكثير من القيمة 0.05، أي إنه عند مستوى الثقة 95% لا توجد فروق ذات دلالة إحصائية في متوسط مقدار الفجوة الحفافية (بالميكرون) بين مجموعة جسور Slip-Casting ومجموعة جسور CAD|CAM، وذلك في مجموعة القياسات المُجراة عند الضاحكة من عينة البحث.

2.3.2.3 دراسة تأثير موقع القياس في مقدار الفجوة الحفافية

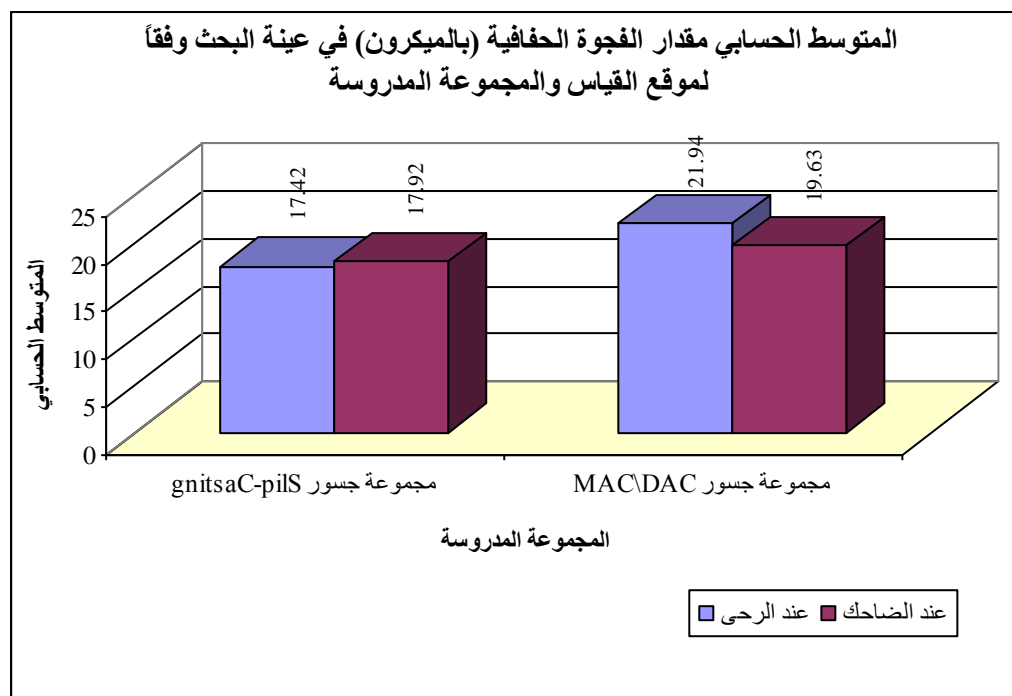
في عينة البحث وفقاً للمجموعة المدروسة:

تم إجراء اختبار T ستيفيدنست للعينات المتراابطة لدراسة دلالة الفروق في متوسط مقدار الفجوة الحفافية (بالميكرون) بين مجموعة القياسات المُجراة عند الرحي ومجموعة القياسات المُجراة عند الضاحكة في عينة البحث، وذلك وفقاً للمجموعة المدروسة كما يلي:

إحصاءات وصفية:

جدول (19) يبين المتوسط الحسابي والانحراف المعياري والخطأ المعياري والحد الأدنى والحد الأعلى لمقدار الفجوة الحفافية (بالميكرون) في عينة البحث السريرية وفقاً لموقع القياس والمجموعة المدروسة

المتغير المدروس	المجموعة المدروسة	موقع القياس	عدد الجسور	المتوسط الحسابي	الانحراف المعياري	الخطأ المعياري	الحد الأدنى	الحد الأعلى
Slip- Casting	Mجموعة جسور	عند الرحي	21	17.42	4.51	0.98	11	28.75
	CAD\CAM	عند الصاحكة	21	17.92	5.21	1.14	7	32
مقدار الفجوة الحفافية (بالميكرون)	Mجموعة جسور	عند الرحي	21	21.94	4.34	0.95	14.75	30.25
	CAD\CAM	عند الصاحكة	21	19.63	4.55	0.99	11.5	26.5



شكل (65) يمثل المتوسط الحسابي لمقدار الفجوة الحفافية (بالميكرون) في عينة البحث وفقاً لموقع القياس والمجموعة المدروسة

نتائج اختبار T ستيفونز للعينات المترابطة:

جدول (20) يبيّن نتائج اختبار T ستيفونز للعينات المترابطة لدراسة دلالة الفروق في متوسط مقدار الفجوة الحفافية بين مجموعة القياسات المُجرأة عند الرحي ومجموعة القياسات المُجرأة عند الضاحكة في عينة البحث السريري وفقاً للمجموعة المدروسة

المقارنة في قيم مقدار الفجوة الحفافية بين القياسات عند الرحي والقياسات عند الضاحكة					
دلالة الفروق	قيمة مستوى الدلالة	درجات الحرية	قيمة المحاسبة	الفرق بين المتوسطين	المجموعة المدروسة
لا توجد فروق دالة	0.629	20	-0.491	-0.50	مجموعة جسور Slip-Casting
توجد فروق دالة	0.040	20	2.200	2.31	مجموعة جسور CAD\CAM

يُلاحظ في الجدول أعلاه أن قيمة مستوى الدلالة أصغر من القيمة 0.05 في مجموعة جسور CAD\CAM، أي إنه عند مستوى الثقة 95% توجد فروق ذات دلالة إحصائية في متوسط مقدار الفجوة الحفافية بين مجموعة القياسات المُجرأة عند الرحي ومجموعة القياسات المُجرأة عند الضاحكة، في مجموعة جسور CAD\CAM من عينة البحث، وبما أن الإشارة الجبرية للفرق بين المتوسطين موجبة نستنتج أن قيم مقدار الفجوة الحفافية في مجموعة القياسات المُجرأة عند الرحي كانت أكبر منها في مجموعة القياسات المُجرأة عند الضاحكة في مجموعة جسور CAD\CAM من عينة البحث.

أما بالنسبة لمجموعة جسور Slip-Casting فيُلاحظ أن قيمة مستوى الدلالة أكبر بكثير من القيمة 0.05، أي إنه عند مستوى الثقة 95% لا توجد فروق ذات دلالة إحصائية في متوسط مقدار الفجوة الحفافية بين مجموعة القياسات المُجرأة عند الرحي ومجموعة القياسات المُجرأة عند الضاحكة في مجموعة جسور Slip-Casting من عينة البحث.

3.3 الدراسة المخبرية الثانية لمقارنة

تقنيتي النسخ المضاعف المطورة و النسخ

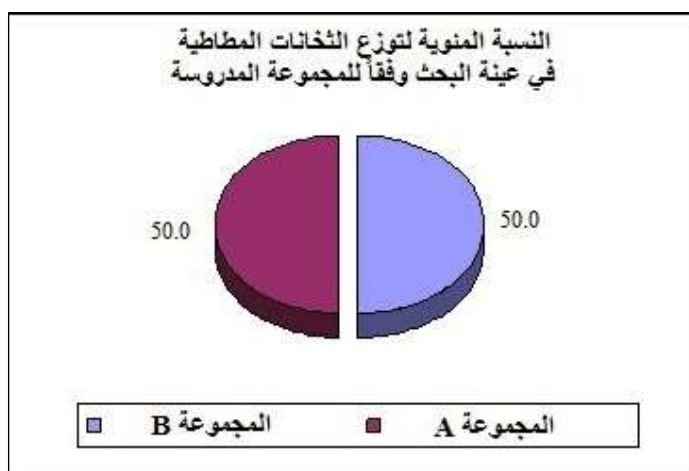
المضاعف التقليدية:

1.3.3 عينة البحث :

تألفت عينة البحث من الجسور الزيروكينية الخلفية لا 15 المصنعة بطريقة لا CAD\CAM والمستخدمة بالدراسة المخبرية المشروحة سابقاً. إذ حقن المطاط السيليكوني الإضافي منخفض اللزوجة نفسه داخل الجسر الخزفي و ثبت الجسر على مثاله المخبري بتطبيق ضغط إصبعي على الجسر حتى اكتمال تصلب المطاط. نزع الجسر و بداخله الثخانة المطاطية و عولجت هذه الثخانة بتقنية النسخ المضاعف المطورة لتشكل المجموعة A من الدراسة و تم إعادة الخطوات السابقة نفسها و بإستخدام الجسر و المطاط نفسه للحصول على الثخانة المطاطية الثانية التي عولجت بتقنية النسخ المضاعف التقليدية لتشكل المجموعة B من الدراسة.

جدول (21) يبين توزع الثخانات المطاطية في عينة البحث المخبرية الثانية وفقاً للمجموعة المدروسة

النسبة المئوية	عدد الثخانات المطاطية	المجموعة المدروسة
50.0	15	المجموعة A
50.0	15	المجموعة B
100	30	المجموع



شكل (66) يمثل النسبة المئوية لتوزع الجسور في عينة البحث المخبرية الثانية وفقاً للمجموعة المدروسة

2.3.3 الدراسة الإحصائية التحليلية :

تم تحديد 12 نقطة قياس مختلفة على كل من منطقة الرحمى ومنطقة الضاحكة لكل ثخانة من الثخانات المختلفة في عينة البحث ثم تم قياس مقدار الفجوة الحفافية (بالميكرون) عند كل نقطة من نقاط القياس المدروسة في عينة البحث بطرريقتين اثننتين مختلفتين (طريقة النسخ المضاعف المعدلة، طريقة النسخ المضاعف التقليدية)، وتم حساب مقدار الفجوة الحفافية عموماً (بالميكرون) عند كل من الرحمى والضاحكة وفي

الجسر عموماً في كل طريقة من الطرقتين المدروستين لكل ثمانة من الثمانات المدروسة في عينة البحث المخبرية الثانية وفقاً للمعادلة التالية:

مقدار الفجوة الحفافية عند الرحي عموماً لكل ثمانة مدرستة في كل طريقة = المتوسط الحسابي لمقدار الفجوة الحفافية عند نقاط القياس الـ 8 المدرستة عند الرحي للثمانة

نفسها المقاسة بالطريقة نفسها

مقدار الفجوة الحفافية عند الضاحك عموماً لكل ثمانة مدرستة في كل طريقة =
المتوسط الحسابي لمقدار الفجوة الحفافية عند نقاط القياس الـ 4 المدرستة عند
الضاحكة للثمانة نفسها المقاسة بالطريقة نفسها

مقدار الفجوة الحفافية عموماً لكل ثمانة مدرستة في كل طريقة = المتوسط الحسابي
لمقدار الفجوة الحفافية عند نقاط القياس الـ 12 المدرستة للثمانة نفسها المقاسة
بالطريقة نفسها

ثم تمت المقارنة بين طرقيتي القياس المتبعتين في قيم مقدار الفجوة الحفافية (بالميكرون)
وفقاً لموقع القياس، كما تمت دراسة تأثير موقع القياس في قيم مقدار الفجوة الحفافية
(بالميكرون) وفقاً لطريقة القياس المتبعة.

3.3.3 محاور الدراسة المخبرية الثانية :

1.3.3.3 دراسة تأثير طريقة القياس المتبعه في مقدار الفجوة

الهدفية في عينة البحث وفقاً لموقع القياس:

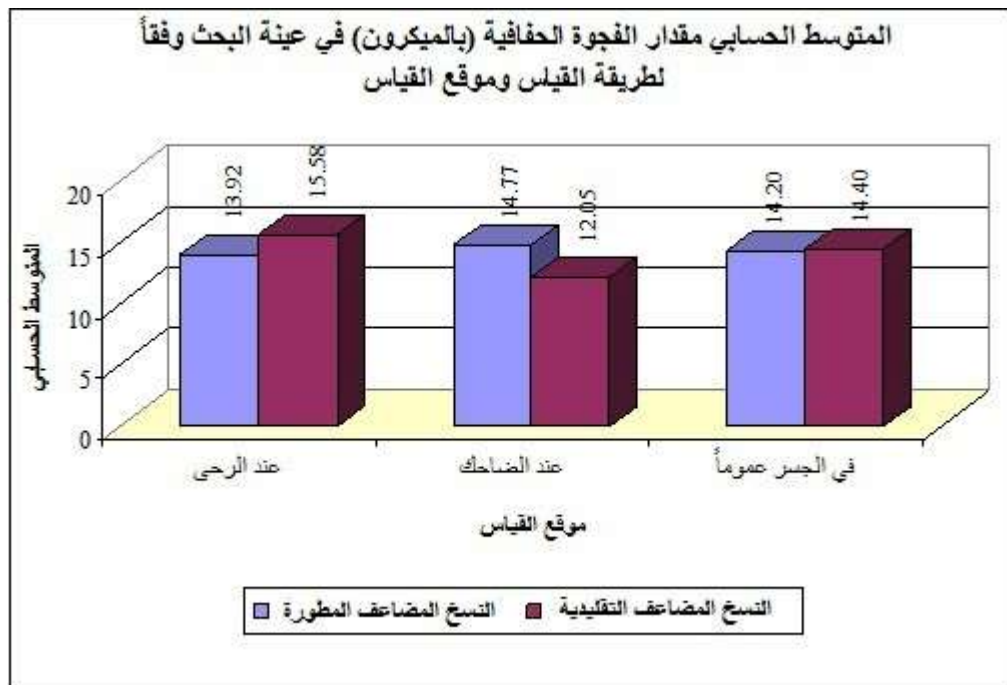
تم إجراء اختبار T ستيفونز للعينات المترابطة لدراسة دلالة الفروق في متوسط مقدار الفجوة الحفافية (بالميكرون) بين مجموعة القياسات المُجراة بطريقة النسخ المضاغف المعدلة ومجموعة القياسات المُجراة بطريقة النسخ المضاغف التقليدية في عينة البحث وفقاً لموقع القياس كما يلي:

إحصاءات وصفية:

جدول (22) يبين المتوسط الحسابي والانحراف المعياري والخطأ المعياري والحد الأدنى والحد الأعلى لمقدار الفجوة

الحفافية (بالميكرون) في عينة البحث المخبرية الثانية وفقاً لطريقة القياس المتبعه وموقع القياس

المتغير المدروس	موقع القياس	طريقة القياس المتبعه	عدد الثنائيات	المتوسط الحسابي	الانحراف المعياري	الخطأ المعياري	الحد الأدنى	الحد الأعلى
مقدار الفجوة الحفافية (بالميكرون)	عند الرحي	طريقة النسخ المضاغف المعدلة	15	13.92	4.47	1.15	9.00	26.63
		طريقة النسخ المضاغف التقليدية	15	15.58	6.29	1.62	7.00	27.25
	عند الضاحك	طريقة النسخ المضاغف المعدلة	15	14.77	4.48	1.16	8.00	23.00
		طريقة النسخ المضاغف التقليدية	15	12.05	4.45	1.15	7.00	23.00
كامل الجسر عموماً	عند الرحي	طريقة النسخ المضاغف المعدلة	15	14.20	3.78	0.98	8.92	24.00
		طريقة النسخ المضاغف التقليدية	15	14.40	5.53	1.43	7.25	25.83



شكل (67) يمثل المتوسط الحسابي لمقدار الفجوة الحفافية (بالميكرون) في عينة البحث المخبرية الثانية وفقاً لطريقة القياس المتبعة وموقع القياس

نتائج اختبار T ستبيودنت للعينات المترابطة:

جدول (23) يبين نتائج اختبار T ستبيودنت للعينات المترابطة لدراسة دلالة الفروق في متوسط مقدار الفجوة الحفافية (بالميكرون) بين مجموعة القياسات المُجراة بطريقة النسخ المضاعف المعدلة ومجموعة القياسات المُجراة بطريقة النسخ المضاعف التقليدية في عينة البحث المخبرية الثانية وفقاً لموقع القياس

دلالة الفروق	قيمة مستوى الدلالة	درجات الحرية	قيمة t المحسوبة	فرق بين المتوسطين	موقع القياس	المقارنة في قيم مقدار الفجوة الحفافية بين
لا توجد فروق دالة	0.468	14	-0.746	-1.66	عند الرحى	طريقة النسخ المضاعف المعدلة - طريقة النسخ المضاعف التقليدية
لا توجد فروق دالة	0.059	14	2.054	2.72	عند الصالك	
لا توجد فروق دالة	0.915	14	-0.109	-0.20	كامل الجسر عموماً	

يُلاحظ في الجدول أعلاه أن قيمة مستوى الدلالة أكبر من القيمة 0.05 مهما كان موقع القياس وفي كامل الثمانة عموماً، أي أنه عند مستوى الثقة 95% لا توجد فروق ذات دلالة إحصائية في متوسط مقدار الفجوة الحفافية (بالميكرون) بين مجموعة القياسات المُجراة بطريقة النسخ المضاعف التقليدية، وذلك مهما كان موقع القياس وفي كامل الجسر عموماً في عينة البحث.

2.3.3.3 دراسة تأثير موقع القياس في مقدار الفجوة الحفافية

في عينة البحث وفقاً لطريقة القياس المتبعة:

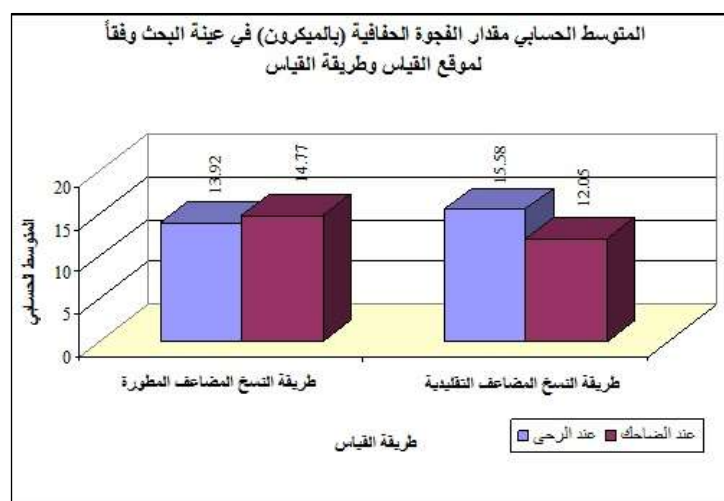
تم إجراء اختبار T ستيفونز للعينات المترابطة لدراسة دلالة الفروق في متوسط مقدار الفجوة الحفافية (بالميكرون) بين مجموعة القياسات المُجراة عند الرحى ومجموعة القياسات المُجراة عند الضاحكة في عينة البحث، وذلك وفقاً لطريقة القياس المتبعة كما يلي:

إحصاءات وصفية:

جدول (24) يبين المتوسط الحسابي والانحراف المعياري والخطأ المعياري والحد الأدنى والحد الأعلى لمقدار الفجوة

الحفافية (بالميكرون) في عينة البحث المخبرية الثانية وفقاً لموقع القياس وطريقة القياس المتبعة.

المتغير المدروس	طريقة القياس المتبعة	موقع القياس	عدد الجسور	المتوسط الحسابي	الانحراف المعياري	الخطأ المعياري	الحد الأدنى	الحد الأعلى
مقدار الفجوة الحفافية (بالميكرون)	طريقة النسخ المضاعف المعدلة	عند الرحي	15	13.92	4.47	1.15	9	26.62 5
		عند الضاحك	15	14.77	4.48	1.16	8	23
مقدار الفجوة الحفافية (بالميكرون)	طريقة النسخ المضاعف التقليدية	عند الرحي	15	15.58	6.29	1.62	7	27.25
		عند الضاحك	15	12.05	4.45	1.15	7	23



شكل (68) يمثل المتوسط الحسابي لمقدار الفجوة الحفافية (بالميكرون) في عينة البحث المخبرية الثانية وفقاً لموقع القياس وطريقة القياس المتبعة

نتائج اختبار T ستيفونز للعينات المترابطة:

جدول (25) يبين نتائج اختبار T ستيفونز للعينات المترابطة لدراسة دلالة الفروق في متوسط مقدار الفجوة الحفافية

(بالميكرون) بين مجموعة القياسات المُجراة عند الرحى ومجموعة القياسات المُجراة عند الصاحكة في عينة البحث

المخبرية الثانية وفقاً لطريقة القياس المتبعة

المقارنة في قيم مقدار الفجوة الحفافية بين القياسات عند الرحى والقياسات عند الصاحكة					
دلالة الفروق	قيمة مستوى الدلالة	درجات الحرية	قيمة t المحسوبة	الفرق بين المتوسطين	طريقة القياس المتبعة
لا توجد فروق دالة	0.526	14	-0.650	-0.85	طريقة النسخ المضاعف المعدلة
توجد فروق دالة	0.001	14	4.151	3.53	طريقة النسخ المضاعف التقليدية

يُلاحظ في الجدول أعلاه أن قيمة مستوى الدلالة أصغر من القيمة 0.05 في مجموعة القياسات المُجراة بطريقة النسخ المضاعف التقليدية، أي أنه عند مستوى الثقة 95% توجد فروق ذات دلالة إحصائية في متوسط مقدار الفجوة الحفافية بين مجموعة القياسات المُجراة عند الرحى ومجموعة القياسات المُجراة عند الصاحكة، في مجموعة القياسات المُجراة بطريقة النسخ المضاعف التقليدية من عينة البحث، وبما أن الإشارة الجبرية للفرق بين المتوسطين موجبة فإن قيم مقدار الفجوة الحفافية في مجموعة القياسات المُجراة عند الرحى كانت أكبر منها في مجموعة القياسات المُجراة عند الصاحكة في مجموعة القياسات المُجراة بطريقة النسخ المضاعف التقليدية من عينة البحث.

أما بالنسبة لمجموعة القياسات المُجراة بطريقة النسخ المضاعف المعدلة فيُلاحظ أن قيمة مستوى الدلالة أكبر بكثير من القيمة 0.05، أي أنه عند مستوى الثقة 95% لا توجد فروق ذات دلالة إحصائية في متوسط مقدار الفجوة الحفافية بين مجموعة القياسات المُجراة عند الرحى ومجموعة القياسات المُجراة عند الصاحكة في مجموعة القياسات المُجراة بطريقة النسخ المضاعف المعدلة من عينة البحث.

الباب الرابع

المقابلة

Discussion

1.4 مناقشة نتائج الدراسة المخبرية:

اعتمدت الدراسة المخبرية للبحث على مقارنة الانطباق الحفافي لتقنيتي تصنيع الجسور

المقواة (بنواة الزيركونيا) أوكسيد الزيركونيوم وهما:

1- التقنية التقليدية (Slip-Cast)، تقنية التصنيع اليدوي، نظام (In-Ceram Zirconia)، التي تعتمد على استخدام ملقم بثورات خزفية في الماء. و تتركب نواة الترميم من الزيركونيا بنسبة 25% والألومنيا (أوكسيد الألمنيوم) بنسبة 20% و قالب زجاجي بنسبة 55% (Murat et al, 2009).

2- تقنية التصميم والتصنيع بواسطة الكمبيوتر CAD/CAM كما في نظام (Zircodenta)، إذ تكون نواة الترميم من الزيركونيا بنسبة 95% مع وجود عناصر أخرى كأوكسيد اليوتيريوم Y_2O_3 (الزيركونيا المثبتة بأوكسيد اليوتيريوم). يعتمد هذا النظام على إجراء مسح ثلاثي الأبعاد للمثال الجبسي بواسطة ماسح ليزري خاص ثم يتم تصميم نواة الترميم وتصنيعها بمساعدة الكمبيوتر.

تكونت عينة الدراسة من جسور زيركونية مصنعة وفق تعليمات الشركات المنتجة للطريقتين المذكورتين سابقاً، و درس الانطباق الحفافي لهذه الجسور دون بناء الشكل التشريري الخارجي بالخزف لمنع دخول متغير جديد على الدراسة لأن بعض الدراسات بينت أن مراحل خرز الخزف الخارجي على جسور الزيركونيا يمكن أن يغير من الانطباق الحفافي للقبعات (Giordano et al, 1995 – Schwartz et al, 1986)

(Kohorst et al, 2010 – Balkaya et al, 2005 - Quintas et al,

تم اعتماد مثال دراسة للجسر من المعدن و ذلك منعا من حدوث أي تشوه أو أذى أو تبدل في الحواف أثناء أخذ الطبعات. كانت مراحل العمل مشابهة قدر الإمكان للواقع السريري من حيث شكل التحضير و أبعاده.

تم اعتماد طريقة النسخ المضاعف المطورة developed replica technique لقياس

قيم الفجوة الحفافية وهي تقنية متطرورة عن تلك التي استخدمت في أغلب الدراسات

المخبرية. تناول Habib و زملاؤه في دراستهم عام 2008 تقنية النسخ المضاعف

في دراسة انطباق تيجان Procera و ذلك بمقارنة ثمانية

السيلikon المستخدم بهذه التقنية بثمانية أسمنت الإلصاق بعد إلصاق التيجان، واستنتجت

الدراسة أن هذه التقنية دقيقة و موثوقة و تعبر عن مدى انطباق الترميمات بشكل دقيق.

و قد تم اعتماد الفجوة الحفافية في هذه الدراسة على أنها المسافة المقاسة من أبعد نقطة

محيطية من الزاوية الخارجية لشبة الكتف العميق المحضر إلى أبعد نقطة محيطية

خارجية على السطح الداخلي للمرمة. وذلك نظراً لاقتراح Holmes 1989 الذي بين أن

قياس العيوب الحفافية المطلقة هي أفضل طريقة لدراسة الانطباق الحفافي.

معظم الدراسات أكدت أن القبعات المقبولة سريرياً هي التي لا تزيد قيمة الفجوة الحفافية فيها

عن 120 ميكروناً (Zitzmann et al, 2007 - Felton et al, 1991).

بلغت عدد عينات هذه الدراسة 15 عينة لكل مجموعة و هو عدد أفضل مما كان في

دراسات أخرى مشابهة حيث كان عدد العينات المستخدمة في دراسة

(Beshnidt et al, 1999) من 2 إلى 10 عينات لكل مجموعة. واستخدم باحثون

آخرون 5 عينات لكل مجموعة (May et al, 1998)، واستخدم آخرون 6 عينات

(Oruc et al, 2000) و 12 عينة (Schaerer et al, 1996)

و تم إجراء جميع القياسات المطلوبة من قبل الباحث نفسه لتجنب أي تأثيرات تعود

إلى عوامل شخصية.

بلغ عدد قياسات الفجوة الحفافية في الرحمي 8 قياسات وفي الضاحكة 4 قياسات

(دهليزي - دهليزي أنسى - أنسى لساني - لساني وحشى - وحشى

- وحشى دهليزي). بينما الدراسات السابقة استخدمت أربعة قياساتٍ في كل عينة

من الناحية الدهليزية واللسانية والأنسية والوحشية على سبيل المثال

Sulaiman et al, 1997 - Holmes et al, 1996 - Hung et al, 1990 (Oruc et al, 2000 -

1.1.4. مناقشة محاور الدراسة المخبرية :

- دراسة تأثير تقنية التصنيع المتّبعة في الفجوة الحفافية في الجسر عموماً:

بلغ متوسط الفجوة الحفافية عند مجموعة جسور Slip-Casting نظام

CAD/CAM (Zirconia In-ceram) 11.18 ميكروناً، بينما كانت بطريقة الـ

14.20 ميكروناً. من مناقشة الأرقام نلاحظ أن كافة متوسطات الفجوة الحفافية التي

ظهرت في هذه الدراسة تقع ضمن المجال المقبول سريرياً للفجوة الحفافية أي أقل من

120 ميكروناً.

بيّنت نتائج اختبار T ستيفونز للعينات المستقلة لدراسة دلالة الفروق في متوسط مقدار الفجوة الحفافية (بالميكرون) بين مجموعة جسور Slip-Casting ومجموعة جسور CAD|CAM في عينة البحث وفقاً لموقع القياس بأن قيمة مستوى الدلالة أصغر من القيمة 0.05 في مجموعة القياسات المُجرأة عند الضاحكة وفي كامل الجسر عموماً، أي إنه عند مستوى الثقة 95% توجد فروق ذات دلالة إحصائية في متوسط مقدار الفجوة الحفافية (بالميكرون) بين مجموعة جسور Slip-Casting ومجموعة جسور CAD|CAM، وذلك في مجموعة القياسات المُجرأة عند الضاحكة وفي كامل الجسر عموماً في عينة البحث، وبما أن الإشارة الجبرية للفروق بين المتوسطات سالبة نستنتج أن قيم مقدار الفجوة الحفافية (بالميكرون) في مجموعة جسور Cast Slip كانت أصغر منها في مجموعة جسور CAD|CAM، وذلك في مجموعة القياسات المُجرأة عند الضاحكة وفي كامل الجسر عموماً في عينة البحث.

أما بالنسبة لمجموعة القياسات المُجرأة عند الرحى فيلاحظ أن قيمة مستوى الدلالة أكبر من القيمة 0.05، أي إنه عند مستوى الثقة 95% لا توجد فروق ذات دلالة إحصائية في متوسط مقدار الفجوة الحفافية (بالميكرون) بين مجموعة جسور Slip-Casting ومجموعة جسور CAD|CAM، وذلك في مجموعة القياسات المُجرأة عند الرحى من عينة البحث.

ويمكن تفسير ذلك أن الطريقة اليدوية Slip-Cast المستخدمة في صنع القبعات هي طريقة موثوقة ومضمونة في الحصول على انطباق جيد للقبعات وهذا ما يعكس استمرار

اعتماد هذه التقنية من قبل العديد من الأنظمة الخزفية الخالية من المعدن والنجاحات التي حققتها هذه الأنظمة منذ تاريخ ظهورها الأول في عالم التعويضات الخالية من المعدن على بد الباحث Sadoun عام 1988.

1.1.1.4 دراسة تأثير تقنية التصنيع المتبعه في الفجوة

الحافيفية موقع السن:

إن متوسط الفجوة الحفافية على الرحي كانت بطريقة Slip-Cast 11.30 ميكروناً، بينما كانت بطريقة CAD/CAM 13.92 ميكروناً. متوسط الفجوة الحفافية على الضاحكة كانت بطريقة Slip-Cast 10.95 ميكروناً بينما كانت بطريقة CAD/CAM 14.77 ميكروناً.

بين اختبار T ستيفونز للعينات المترابطة لدراسة دلالة الفروق في متوسط مقدار الفجوة الحفافية (بالميكرون) بين مجموعة القياسات المُجرأة عند الرحي ومجموعة القياسات المُجرأة عند الضاحكة في عينة البحث أن قيمة مستوى الدلالة أكبر بكثير من القيمة 0.05 مما كانت المجموعة المدروسة، أي إنه عند مستوى الثقة 95% لا توجد فروق ذات دلالة إحصائية في متوسط مقدار الفجوة الحفافية بين مجموعة القياسات المُجرأة عند الرحي ومجموعة القياسات المُجرأة عند الضاحكة، وذلك في كل من مجموعة جسور Slip-Casting ومجموعة جسور CAD|CAM على حدة في عينة البحث.

ويمكن تفسير ذلك بسهولة التحضير المخبري للأسنان مقارنة بتحضيرها السريري وإمكانية رسم حدود واضحة للأسنان المخبرية بعيداً عن تعقيدات التحضير السريري. وبالتالي عدم وجود فروق في التحضير بالنسبة لموقع السن إذ لا يختلف تحضير الصاحكة عن تحضير الرحى من حيث صعوبة الوصول إلى سطوح السن.

2.1.4 مقارنة النتائج مع الدراسات السابقة:

اتفقت الدراسة مع دراسة Kianoosh.T.A و زملائه عام 2011 الذين وجدوا في دراستهم أن الانطباق الحفافي للقبعات الزيركونية كان في مجموعة CAD/CAM أكبر من مجموعة Slip – cast (46.67 vs. 44.29) ، بينما لا توجد أي فروق دالة إحصائياً بين الطريقتين المستخدمتين بالدراسة.

و اتفقت نتائج هذه الدراسة مع دراسة Rosentritt وزملائه 2006 التي تناولت مقارنة الانطباق الحفافي ومقاومة الكسر لجسورٍ مصنوعةٍ وفق نظام Cercon باستخدام تقنية In-Ceram CAM|CAD بمقارنتها بنظام In-Ceram ألومنيا التقليدي، واستنتجت دراستهم عدم وجود فروق دالةٍ إحصائياً عند مقارنة قيم الانطباق الحفافي للنظامين المستخدمين في الدراسة والتي كانت $95.5 \mu\text{m}$ - $91.3 \mu\text{m}$ على التوالي، مع ملاحظة اختلاف أنظمة هذه الدراسة عن الأنظمة المستخدمة في دراستها من الناحية التجارية بالنسبة لنظام المعتمد على الكمبيوتر (CAD|CAM) و كذلك الاختلاف بين النظام المعتمد على التقنية اليدوية (في دراستهم In-Ceram Zirconia وفي دراستها In-Ceram Allumina). وهذا ليس أمراً مهماً لأن الأمر المهم هو المقارنة بين تقنيات التصنيع المختلفة.

اتفقت نتائج هذه الدراسة مع Mörmann & Bindl عام 2005 من ناحية وجود فروق هامةً إحصائياً بين متوسطات قيم الفجوة الحفافية للتيجان المصنعة وفق نظام Cerec-Slip-Cast مقارنة بنظام Inlap In-ceram Zirconia إذ كانت قيمة الفجوة الحفافية في النظام الأول أكبر $43 \mu\text{m}$ بينما في النظام الثاني $25 \mu\text{m}$.

اختلفت نتائج هذه الدراسة مع دراسة Bindle & Mörmann عام 2007 من ناحية أن الفجوة الحفافية للجسور الزيركونية كان في مجموعة CAD/CAM أصغر من مجموعة Cerec Slip – cast. إذ أن دراسة Mörmann & Bindle قارنت الانطباق الحفافي والداخلي لنظام In-Ceram Zirconia المصنوع بالتقنية التقليدية ونظامي CAD/CAM DCS Y-TZP المعتمدين على نواة الزيركونيا المصنعة باستخدام تقنية CAD/CAM DCS Y-TZP، إذ استخدم الباحثان في دراستهما عيناتٍ مكونةً من جسور ذات ثلاث وحداتٍ، واستنتجت الدراسة وجود فارقٍ إحصائيٍّ بين النظام الأول والأنظمة المعتمدة على تقنية (CAD/CAM) التي أظهرت أفضل انطباقٍ حفافيٍّ وداخليٍّ (بلغ متوسط الفجوة الحفافية في الأنظمة الثلاثة $113, 53, 32 \mu\text{m}$ على التوالي).

2.4. مناقشة نتائج الدراسة السريرية:

شملت عينة الدراسة على 42 جسراً زركونياً مصنعاً على 84 سنالدى 39 مريضاً ومربيضاً تراوحت أعمارهم بين 19 و 48 عاماً. كان عدد المرضى الذكور 20 مريضاً، عدد الإناث 19، فُسمت عينة الدراسة السريرية إلى مجموعتين متساويتين وفقاً لتقنية التصنيع المتبعة (نظام CAD|CAM اليدوي، نظام In-Ceram Zirconia الآلي

والمعتمد على الحاسوب). كان جميع المرضى المشمولين في الدراسة ذوي صحة فموية جيدة ولا يعانون من أي أمراض رعلية، و يمكن استطباباً للتعويض بجسور خلفية سفلية لتعويض الرحي الأولى السفلية. يحتاج بعض المرضى إلى تعويض بطرف واحد وبعضهم إلى التعويض بالطرفين. تم تحضير الدعامات وفقاً لمبادئ تحضير الأسنان لاستقبال تعويضات خلفية خالية من المعدن بحدود عنقية على شكل شبه كتف عميق وأملس وفوق اللثة وبزوايا خطية مدورّة. تمت دراسة الانطباق الحفافي لهذه القبعات دون بناء الشكل التشريحي الخارجي بالخزف لمنع دخول متغير جديد على الدراسة. تم اعتماد طريقة النسخ المضاعف المطورة **developed replica technique** لقياس قيم الفجوة الحفافية .(Kokubo et al, 2011- Habib et al, 2008)

تم تحديد 12 نقطة قياس مختلفة على كل من منطقة الرحي ومنطقة الضاحكة لكل جسر من الجسور المختلفة ثم تم قياس مقدار الفجوة الحفافية (بالميكرون) عند كل نقطة من نقاط القياس المدروسة في عينة البحث، وتم حساب مقدار الفجوة الحفافية عموماً (بالميكرون) عند كل من الرحي والضاحكة وفي الجسر عموماً لكل جسر من الجسور المدروسة في عينة البحث.

1.2.4. مناقشة محاور الدراسة السريرية:

1.1.2.4 دراسة تأثير المجموعة المدروسة في مقدار الفجوة

الحفافية في عينة البحث وفقاً لموقع القياس:

بلغ متوسط الفجوة الحفافية للجسور المصنعة بطريقة **slip-casting** 17.58 ميكرونًا و بطريقة **CAD/CAM** 21.17 ميكرونًا.

بيّنت نتائج اختبار **T** ستيفونز للعينات المستقلة لدراسة دلالة الفروق في متوسط مقدار الفجوة الحفافية (بالميكرون) بين مجموعة جسور **Slip-Casting** ومجموعة جسور **CAD/CAM** في عينة البحث وفقاً لموقع القياس بأنه يوجد فروق دالة إحصائياً بين المجموعتين إذ كانت أصغر في المجموعة الأولى. إذ يلاحظ في هذه الدراسة أن قيمة مستوى الدلالة أصغر بكثير من القيمة 0.05 في مجموعة القياسات المُجرأة عند الرحى وفي كامل الجسر عموماً، أي إنه عند مستوى الثقة 95% توجد فروق ذات دلالة إحصائية في متوسط مقدار الفجوة الحفافية (بالميكرون) بين مجموعة جسور **Slip-Casting** ومجموعة جسور **CAD/CAM**، وذلك في مجموعة القياسات المُجرأة عند الرحى وفي كامل الجسر عموماً في عينة البحث، وبما أن الإشارة الجبرية للفروق بين المتوسطات سالبة فإن قيم مقدار الفجوة الحفافية (بالميكرون) في مجموعة جسور **CAD/CAM** كانت أصغر منها في مجموعة جسور **Slip-Casting**، وذلك في مجموعة القياسات المُجرأة عند الرحى وفي كامل الجسر عموماً في عينة البحث. أما بالنسبة لمجموعة القياسات المُجرأة عند الضاحكة فيلاحظ أن قيمة مستوى الدلالة أكبر بكثير من القيمة 0.05، أي أنه عند مستوى الثقة 95% لا توجد فروق ذات دلالة إحصائية في متوسط مقدار الفجوة الحفافية (بالميكرون) بين مجموعة جسور

Slip-Casting ومجموعة جسور CAD|CAM، وذلك في مجموعة القياسات المُجراة عند الضاحكة من عينة البحث.

2.1.2.4 دراسة تأثير موقع القياس في مقدار الفجوة الحفافية

في عينة البحث وفقاً للمجموعة المدروسة:

تم إجراء اختبار T ستيفونز للعينات المتراكبة لدراسة دلالة الفروق في متوسط مقدار الفجوة الحفافية (بالميكرون) بين مجموعة القياسات المُجراة عند الرحى ومجموعة القياسات المُجراة عند الضاحكة في عينة البحث، وذلك وفقاً للمجموعة المدروسة.

يُلاحظ في هذه الدراسة أن قيمة مستوى الدلالة أصغر من القيمة 0.05 في مجموعة جسور CAD|CAM، أي إنه عند مستوى الثقة 95% توجد فروق ذات دلالة إحصائية في متوسط مقدار الفجوة الحفافية بين مجموعة القياسات المُجراة عند الرحى ومجموعة القياسات المُجراة عند الضاحكة، في مجموعة جسور CAD|CAM من عينة البحث، وبما أن الإشارة الجبرية للفرق بين المتوسطين موجبة نسـتـتجـ أن قيم مقدار الفجوة الحفافية في مجموعة القياسات المُجراة عند الرحى كانت أكبر منها في مجموعة القياسات المُجراة عند الضاحك في مجموعة جسور CAD|CAM من عينة البحث.

أما بالنسبة لمجموعة جسور Slip-Casting فيُلاحظ أن قيمة مستوى الدلالة أكبر بكثير من القيمة 0.05، أي إنه عند مستوى الثقة 95% لا توجد فروق ذات دلالة إحصائية في متوسط مقدار الفجوة الحفافية بين مجموعة القياسات المُجراة عند الرحى ومجموعة القياسات المُجراة عند الضاحكة في مجموعة جسور Slip-Casting من عينة البحث.

وهذا يفسر إنه على الرغم من أن خزف المصنوع بطريقة CAD/CAM تجاوز بعض الصعوبات في تصنيع الخزف الحالي من المعدن التقليدي، إلا إنه يؤخذ عليه كثرة المعايير المخبرية والسريرية التي لا بد من اتباعها عند تحضير السن وتسجيل الطبعة وتصنيع الدعامة المخبرية. فعند تحضير السن لابد من جعل حوافها ناعمة ملساء واضحة بما يتاسب مع عمل رأس الماسح الضوئي والذي يكون عرض 2.5ميكونات مما لا يسمح له بتسجيل الشؤون الأصغر من 1.25ميكونات، وتكون إجراءات التحضير أصعب على الأسنان الخلفية والسطح اللسانية، وتختلف دقة الانطباق أيضاً حسب حجم السن وموقع القياس وفق بعض الدراسات المخبرية أيضاً (Ki-Baek et al, 2013).

2.2.4. مقارنة النتائج بالدراسات السابقة :

إن معظم الدراسات السريرية السابقة التي تناولت موضوع الانطباق الحفافي كانت لتيجان مصنوعة وفقاً لنظام Procera المعتمد في تركيبه على نواة الألومنيا بشكل كامل و المصنوعة بمساعدة الكمبيوتر (CAD|CAM) (Habib et al, 2008 – Naert et al, 2005 – Kokubo et al, 2005) يمكن مقارنتها مع نتائج هذا البحث لاختلاف هذا النظام عن الأنظمة المعتمدة في تركيبها على الزركونيا و المستخدمة في هذا البحث، ولكن جميع هذه الدراسات استنتجت أن الفجوة الحفافية لهذه التيجان المصنوعة وفقاً لتقنية (CAD|CAM) كانت مقبولة سريرياً.

بينما تطابقت نتائج الدراسة السريرية مع نتائج دراسة Murat عام 2005، وذلك من حيث تقييم الانطباق الحفافي لتيجان مصنعة بالتقنية التقليدية In-Ceram Zirconia مع تيجان مصنعة وفق نظام Cercon Zirconia، استخدمت معايير جمعية طب الأسنان في كاليفورنيا (CDA) و التي تعتمد على تقييم الانطباق الحفافي عيانياً و التطابق اللوني و التشريحي للtag مع الأسنان المجاورة. و استنتجت الدراسة إعطاء هذين النظامين نتائج سريرية جديدة و هذا الأمر يتوافق مع نتائج هذه الدراسة.

3.2.4 مناقشة نتائج الدراسة المخبرية الثانية:

اعتمدت الدراسة المخبرية الثانية للبحث على مقارنة تقنية النسخ المضاعف التقليدية و تقنية النسخ المضاعف المطورة لقياس الانطباق الحفافي، و كيف تمت معالجة الرقاقة المطاطية بتقنية النسخ المضاعف المطورة لتخزينها و حمايتها من العوامل الخارجية، و دور تقنية النسخ المضاعف المطورة في سهولة و دقة القياس.

إذ تعتبر تقنية النسخ المضاعف طريقة موثوقة ومحافظة وصالحة للاستخدام السريري و المخبري من أجل دراسة انطباق التيجان و الجسور على دعماتها (Reich et al, 2005 - DE Oliveira et al, 2006 - Wolfart et al, 2003)

حيث تعتبر من التقنيات المحافظة و غير المختربة لدراسة الانطباق الحفافي نظراً لقلة احتمالية التخريب للعينات أو الدعامات المستخدمة (Laurent et al, 2008)، و رغم سلبية هذه التقنية أنها ثنائية الأبعاد الا أنها تعتبر من أفضل الطرائق لقياس الانطباق الحفافي (Laurent et al, 2008 – Rahme et al, 2008)

هذه الدراسة تسلط الضوء على طريقة جديدة لتعليق و صب و تثبيت و تخزين الرفاقات المطاطية الناتجة من تقنية النسخ المضاعف خلال مدة الدراسة، و خاصة الدراسات السريرية التي تأخذ الكثير من الوقت لإنتهاء جميع الحالات السريرية، و حفظ العينات بشكل جيد لاستخدامها بمتابعة البحث أو للمشاركة بدراسات شبيهة أخرى.

تألفت عينة البحث من 15 ثمانة مطاطية معالجة بتقنية النسخ المضاعف المطورة (مجموعة A) و 15 ثمانة مطاطية معالجة بتقنية النسخ المضاعف التقليدية (مجموعة B) لنفس الجسور الزيركونية، المستخدمة بالدراسة المخبرية السابقة، المصنعة بطريقة الا CAD\CAM . تم تحديد 12 نقطة قياس مختلفة على كل من منطقة الرحي ومنطقة الضاحكة لكل جسر من الجسور المختلفة في عينة البحث بعد القيام بالقص السابق للثخانات، وتم حساب مقدار الفجوة الحفافية عموماً (بالميكرون) عند كل من الرحي والضاحكة وفي الجسر عموماً. ثم تمت مقارنة تأثير التقنيتين المتبعتين في قيم مقدار الفجوة الحفافية (بالميكرون) وفقاً لموقع القياس، حيث تم إجراء اختبار T ستيفيدنت للعينات المترابطة لدراسة دلالة الفروق في متوسط مقدار الفجوة الحفافية (بالميكرون) بين مجموعة القياسات المُجرأة بتقنية النسخ المضاعف المطورة ومجموعة القياسات المُجرأة بتقنية النسخ المضاعف التقليدية في عينة البحث.

إن متوسط الفجوة الحفافية على الرحي للمجموعة A كانت 13.92 ميكرون بينما كانت للمجموعة B 15.58 ميكرون. متوسط الفجوة الحفافية على الضاحك للمجموعة A كانت

14.77 ميكرون بينما كانت للمجموعة B 12.05 ميكرون و بالنتيجة كان متوسط الفجوة

الحفافية لجسور المجموعة A 14.20 ميكرون و لجسور المجموعة B 14.40 ميكرون.

بيّنت نتائج اختبار T ستيفونز للعينات المستقلة لدراسة دلالة الفروق في متوسط مقدار الفجوة الحفافية (بالميكرون) بين المجموعة A وللمجموعة B في عينة البحث وفقاً لموقع القياس بأنه لا يوجد فروق دالة إحصائياً بين المجموعتين. وهذا يؤكد أن تقنية النسخ المضاعف المطورة تبني موثوقة لدراسة و قياس الانطباق الحفافي للتيجان والجسور، سريرياً ومخبرياً، زيادة إلى الميزات الأخرى التي تتفوق بها عن تقنية النسخ المضاعف التقليدية والتي لاحظناها من خلال دراستنا :

1- زيادة في سهولة و دقة القياس الذي يؤمنه التباين الواضح للألوان المستخدمة في مرحلة القياس تحت المجهر، والذي يعطي إمكانية أكبر في تحديد حواف الثخانات المطاطية المدعومة بالمطاط مختلف اللون من الجهتين.

2- قلة الفقاعات الهوائية في الكتلة المطاطية، التي تؤثر في دقة القياس و عدد المقاطع ، والملاحظة بشكل ملحوظ بـ التقنية التقليدية.

3- دقة و سهولة أكبر بقص عينات الدراسة إلى أكبر عدد ممكن من مقاطع الدراسة، إذ أن وجود الدعم المطاطي في طرف الثخانات المطاطية يؤمن عملية قص نظيفة ودقيقة بدون أي تسلخلات أو نتوشات للثخانة المطاطية و زيادة في عدد مقاطع الدراسة وبالتالي زيادة في عدد نقاط الدراسة و زيادة في دقة القياس.

4- إمكانية حفظ و تخزين جميع الثخانات المطاطية السريرية و المخبرية بعيداً عن التأثيرات الخارجية من خلال صبها و دعمها بالمطاط من جهتي الثخانة المطاطية و وبالتالي امكانية استخدامها بدراسة أخرى شبيهة ولو بعد مدة طويلة.

الباب الخامس

الاستنتاجات

Conclusions

الاستنتاجات :

يمكن أن نستخلص الاستنتاجات التالية ضمن ظروف حدود هذه الدراسة :

- حق كل من نظام **In-Ceram Zirconia** ونظام **Zircodenta** انطباقاً حفافياً مقبولاً من الناحية السريرية (إذ كان متوسط الفجوة الحفافية أقل من $120 \mu\text{m}$) وذلك في الدراستين السريرية والمخبرية.
- الانطباق الحفافي للجسور الخلفية المصنعة وفق تقنية (**Slip-cast**) كان أفضل من الانطباق الحفافي للجسور الخلفية المصنعة **In-ceram Zirconia** وفق تقنية **Zircodenta CAD/CAM** من الناحية المخبرية.
- من الناحية السريرية، يبدي نظام **In-ceram Zirconia** تقنية (**Slip-cast**) انطباقاً حفافياً للجسور الخلفية الزركونية أفضل من نظام **Zircodenta** **CAD/CAM** تقنية.
- تقنية النسخ المضاعف المطورة، تقنية موثوقة و دقيقة لدراسة الانطباق الحفافي للجسور والتيجان في الدراسات السريرية والمخبرية. و يمكن الاستفادة من ميزاتها لزيادة سهولة القياس و دقتها و لحفظ و تخزين العينات للاستفادة منها في دراسات أخرى.
- كلما كانت ساحة العمل أوضع كان التحضير أفضل و بالتالي انطباق حفافي أكثر دقة.

الباب السادس

المقتراحات والتوصيات

**Suggestions &
Recommendations**

1.6. مقتراحات لأبحاث مستقبلية:

- 1- إجراء دراسة مقارنة الانطباق الحفافي لأنظمة مختلفة معتمدة على الكمبيوتر نظراً لحدوث تطور دائم وسريع في الأجهزة والتقنيات المستخدمة في هذه الأنظمة.
- 2- مواكبة التطور الحاصل في أنظمة تصنيع الترميمات المعتمدة على الكمبيوتر، وذلك لاختيار النظام الذي يستخدم تقنيات تحقق انطباقاً حفافياً ونتائج أفضل.
- 3- مواكبة الأبحاث المتعلقة بتطور تقنيات تهيئة الترميمات المعتمدة في تركيبها على الزيركونيا وتطور أسمنات الإلصاق للوصول إلى الإلصاق مثاليًّا لهذه الأنواع من الترميمات.
- 4- إجراء دراسة تأثير نوع خط الإناء وعرضه في الانطباق الحفافي للتيجان المصنعة من الأنظمة المعتمدة في تركيبها على الزيركونيا.
- 5- إجراء دراسة تأثير خبز الخزف فوق النواة المصنعة من الأنظمة المعتمدة في تركيبها على الزيركونيا في الانطباق الحفافي للتيجان و الجسور.
- 6- إجراء دراساتٍ سريريةٍ لمقارنة الأداء السريري ومعدل النجاح و أنماط الفشل للجسور المصنعة من الأنظمة المعتمدة في تركيبها على الزيركونيا خلال فترةٍ طويلةٍ من بقاء الترميمات في الحفرة الفموية.

7- إجراء دراسة حول مقاومة الانكسار والانطباق الحفافي لجسور طويلة مصنوعة من أنظمة مختلفة معتمدة في تركيبها على الزيركونيا.

8- زيادة عدد الدراسات السريرية لدراسة خواص الجسور المصنعة من أنظمة مختلفة معتمدة في تركيبها على الزيركونيا لقلتها في الأدب الطبي.

2.6. التوصيات:

- 1- يُوصى بالتعاون الدائم و المستمر مع فنيي الأسنان الذين يتعاملون مع هذه الأنظمة الحديثة وإعطاؤهم الملاحظاتِ بتوخي الدقة أثناء عمل الاجراءات المخبرية للوصول إلى ترميماتٍ ناجحةٍ من الناحية السريرية تدوم لفترة طويلة في الحفرة الفموية نظراً لـ التكاليف المرتفعة التي يتحملها المريض عند تطبيق هذه الترميمات.
- 2- يُوصى بـ توخي الدقة عند اختيار التقنية المناسبة لـ صنع الجسور الخلفية الزركونية و ذلك تبعاً للحالة السريرية، بحيث لا يتردد الطبيب باختيار التقنية اليدوية (Slip-cast) أو التقنية المعتمدة على الكمبيوتر (CAD\CAM) في تصنيع الترميمات نظراً لتحقيقهما انتظاماً حافياً دقيقاً و مقبولاً سريرياً.
- 3- يُوصى بالطريقتين في تقنية النسخ المضاعف لأنهما متطابقتين من ناحية الدقة و لكن يفضل تقنية النسخ المضاعف المطورة لأنها سهلة التقطيع و أكثر تميزاً ووضواحاً تحت المجهر.
- 4- يوصى بالطريقتين (CAD\CAM ، Slip-cast) ولا فرق بينهما من ناحية الانطباق الحافي لأنهما مقبولين سريرياً تماماً، متماثلين و يكادا أن يكونا متطابقين.

الباب السابع

المراجع

References

A

- Aboushelib MN, Kleverlaan CJ, Feilzer AJ. Microtensile Bond Strength of Different Components of Core Veneered All-Ceramic Restorations .Part II Zirconia Veneering Ceramics. Dent Mater 2006; 22: 857-63.
- Akabar JH, Petrie CS, Walker MP, Williams K, Eick JD. Marginal adaptation of Cerec 3 CAD/CAM composite crowns using two different finish line preparation designs. J Prosthodont 2006; 15: 155-63.
- Andersson M, Oden A. A new all-ceramic crown a dense -sintered high purity alumina coping with porcelain. Acta Odontol Scand 1993; 51: 59-64.
- Andersson M, Carlsson L, Persson M, Bergmann B. Accuracy of machine milling and spark erosion with a CAD/CAM system. J Prosthet Dent 1996; 76: 187-93.
- Anusavice KJ. Phillip's science of dental materials, eleventh edition 2003, Elsevier science.
- Arikó K. Evaluation of the marginal fitness of tetragonal zirconia polycrystal all ceramic restorations. Kokubyo Gakkai Zasshi 2003;70:114-23.
- Assif D, Antopolski B, Helft M, Kaffe I. Comparison of methods of clinical evaluation of marginal fit of complete cast crowns. J Prosthet Dent 1985; 54:20-4.

B

- Balkaya MC, Cinar A, Pamuk S. Influence of firing cycles on the margin distortion of 3 all-ceramic crown systems. *J Prosthet Dent* 2005; 93:346-55.
- Bader J, Rozier R, McFall W. Effect of crown margins on periodontal conditions in regular attending patients. *J Prosthet Dent* 1991; 65:75-9.
- Behr M, Rosentritt M, Latzel D, Kreisler T, Comparison of three types of fiber-reinforced composite molar crowns on their fracture resistance and marginal adaptation. *Journal of Dentistry* 2001; 29 (3):187-196.
- Benoit G. Le système Wolceram. *Les échos technique* 2004; Avril N°30.
- Beschnidt SM, Strub JR. Evaluation of the marginal accuracy of different all-ceramic crown systems after simulation in the artificial mouth. *J Oral Rehabil* 1999; 26:582-93.
- Besimo C, Jeger C, Guggenheim R. Marginal adaptation of titanium frameworks produced by CAD/CAM techniques. *Int J Prosthodont* 1997; 10:541-6.
- Beuer F, Edelhoff D, Gernet W, Naumann M. Effect of preparation angles on the precision of zirconia crown copings fabricated by CAD/CAM system. *Dental Materials Journal* 2008; 27: 814 - 20.
- Beuer F, Richter J, Gernet W. Influence of preparation angle on marginal and internal fit of CAD/CAM-fabricated zirconia crown coping. *Quintessence Int* 2009; 40:243-50.

- Beuer F, Aggstaller H, Edelhoff D, Gernet W, Sorensen J. Marginal and internal fits of fixed dental prostheses zirconia retainers. *Dent Mater.* 2009; 25:94-102.
- Beure F. Marginal and internal fit of zirconia based fixed dental prostheses fabricated with different concepts. [Website]. Available from CCIDEN commendation1: [Accessed: 24 February 2010].
www.dovepress.com/marginal-and-internal-fit-of-zirconia-based-fixed-dental-prostheses-fa-peer-reviewed-article
- Bindle A, Mörmann WH. Survival rate of mono-ceramic and ceramic-core CAD/CAM generated anterior crowns over 2-5 years. *Eur J Oral Sci* 2004; 112:197-204.
- Bindle A, Mörmann WH. Marginal and internal fit of all-ceramic CAD/CAM crown-copings on chamfer preparations. *J Oral Rehabil* 2005; 32:441-447.
- Blackman R, Baes R, Barghi N. Marginal accuracy and geometry of cast titanium copings. *J Prosthet Dent* 1992; 67: 435-440.
- Boudrias P, Shoghikian E, Morin E, Hutnik P. Esthetic option for the Implant supported single-tooth restoration. Treatment sequence with a ceramic abutment. *J. Can. Dent. Assoc.* 2001; 67: 508–514.
- Boyle JJ, Naylor WP, Blackman RB. Marginal accuracy of metal-ceramic restorations with porcelain facial margins. *J Prosthet Dent* 1993; 69:19-27.
- Buso L, Hilgert E, Neisser MP, Bottino MA. Marginal fit of electroformed copings before and after the coction of the porcelain. *Braz J Oral Sci* 2004; 3:409-13.

C

- Cardash HS, Pilo R. In vivo retrospective study of cement thickness under crowns. *J Prosthet Dent* 1998; 79: 621-5.
- Carpentieri JR. Clinical protocol for an overdenture bar prosthesis fabricated with CAD/CAM technology. *Pract Procedures Aesthet Dent* 2004; 16:755-7.
- Coli P, Karlsson S. Fit of a new pressuresintered zirconium dioxide coping. *International Journal of Prosthodontics* 2004; 17 (1): 59-64.
- Comlekoglu M, Dundar M, Ozcan M, Gungor M, Gokce B, Artunc C. Influence of cervical finish line type on the marginal adaptation of zirconia ceramic crowns. *Oper Dent* 2009; 34:586-92.
- Conrad HJ, Seong W, Pseun IJ. Current ceramic materials and systems with clinical recommendations. A systematic review. *J Prosthet Dent* 2007; 98: 389-404.
- Covacciv, Bruzzese N, Maccauro G, Andreassi C, Ricci GA, Marmo E. In vitro evaluation of mutogenic and carcinogenic power of high purity zirconia ceramic. *Biomaterials* 1999; 20: 371–376.

D

- DE Oliveira Correa GHG, Mesquita MF, Sobinhol C. Over-refractory casting technique as an alternative to one-piece multi-unit fixed partial denture frameworks. *J Prosthet Dent.* 2006; 95: 243-248.
- Dedmon HW. Disparity in expert opinions on size of acceptable margin openings. *Oper Dent* 1982; 7: 97-101.

- Della Bona A, Anusavice KJ, Hood JA. Effect of ceramic surface treatment on tensile bond strength to resin cement. *Int J Prosthodont* 2002; 15(3):284-53.
- Della Bona A, Borba M, Benetti P, Cecchetti D. Effect of surface treatment on the bond strength of a zirconia reinforced ceramic to composite resin. *Brez Oral Res* 2007; 21(1):10-15.
- Denry I, Kelly RJ. State of the art of zirconia for dental applications. *Dent Mater* 2008; 24(3):299-307.
- Duret F, Preston JD. CAD/CAM imaging in dentistry. *Curr Opin Dent* 1991; 1: 150-154.

E

- Ece T, Suna T, Muhittin T. Clinical Marginal and Internal Adaptation of CAD/CAM Milling Laser Sintering, and Cast Metal Ceramic Crowns. *J Prosthet Dent*. 2014;1-5.
- Ehrenberg D, Weiner GI, Weiner S. Long-term effects of storage and thermal cycling on the marginal adaptation of provisional resin crowns: A pilot study. *J Prosthet Dent* 2006; 95:230-236.
- Ellingsen LA, Fasbinder DJ. In vitro evaluation of CAD/CAM ceramic crowns. *J Dent Res* 2002; 81:331.

F

- Felton D, Kenoy B, Bayne S. Effect of in vivo crown margin discrepancies on periodontal health. *J Prosthet Dent* 1991; 65:357-364.
- Ferracane J. Materials In Dentistry. 2nd ed, Lippincott Williams & Wilkins, Maryland, 2001, p.159-161.

- Ferraris, M., Verne, E., Appendino, P., Moisescu, C., Krajewski, A., Ravaglioli, A. & Piancastelli, A. Coatings On Zirconia For Medical Applications. *Biomaterials*. 2000; 21:765-73.

G

- Gavelis JR, Morency JD, Riley ED, Sozio RB. The effect of various finish line preparations on the marginal seal and occlusal seat of full crown preparations. *J Prosthet Dent* 1981; 45:136-145.
- Garvie RC, Nicholson PS. Phase analysis in zirconia systems. *J Am Ceram Soc* 1972; 55:303–5.
- Giordano RA, Pelletier L, Campbell S. Flexural strength of infused ceramic, glass ceramic and feldspathic porcelain. *J Prosthet Dent*. 1995; 73(5):411–8.
- Grasso J, Nalbandian J, Sanford C. Effect of restoration quality on periodontal health. *J Prosthet Dent* 1985; 53:15.
- Gremillard L. Relation microstructure-durabilité dans une zircone biomédicale. Thèse pour la doctorat de l'Université de l'INSA de Lyon 2002; 173.
- Groten M, Girthofer S, Probster L. Marginal fit consistency of copy-milled all-ceramic crowns during fabrication by light and scanning electron microscopic analysis in vitro. *J Oral Rehabil* 1997; 24:871-881.
- Groten M, Axmann D, Probster L, Weber H. Determination of the minimum number of marginal gap measurements required for practical in-vitro testing. *J Prosthet Dent* 2000; 83:40-49.

- Goldin EB, Biyd NW, Goldstein GR, Hittelman EL, Thompson VP. Marginal fit of lucite-glass pressable ceramic restorations and ceramic-pressed-to-metal restorations. *J Prosthet Dent* 2005; 93:143-147.
- Guazzato M, Albakry M, Swain M, Ironside J. Mechanical properties of In-Ceram Alumina and In-Ceram Zirconia . *Int J Prosthodont*. 2002; 15:339-346 .253.
- Guazzato M, Albakry M, Ringer SP, Swain MV. Strength, fracture toughness and microstructure of a selection of all-ceramic materials.Part I. Pressable and alumina glass-infiltrated ceramics. *Dent Mater*. 2004; 20:441-448.

H

- Habib YR, Georges ET, SalimM A, Albert SA. In vitro evaluation of the replica technique in the measurement of the fit of Procera crowns. *J Contemp Dent Pract* 2008; 9(2):25-32.
- Hansen PA, West LA. Allergic reaction following the insertion of a PD-Cu-Au fixed partial denture. A clinical report. *J Prosthodont* 1997; 6:144-8.
- Hertlein G, Kraemer M, Sprengart T. Milling time vs. marginal fit of CAD/CAM manufactured zirconia restorations. *J Dent Res* 2003; 82:194.
- Hertlein G, Hoscheler S, Frank S. Marginal fit of CAD/CAM manufactured all ceramic zirconia prosthesis. *J Dent Res* 2001; 80: 42.
- Heuer AH, Lange FF, Swain MV, Evans AG. Transformation toughening: an overview. *J Am Ceram Soc* 1986; 69: i–iv.

- Hikita K, Uchiyama Y. Studies on three dimensional measurement and restoration of tooth crown form by CAD/CAM. *J Jpn Prosthodont Soc* 1989; 33: 142.
- Hickel R, Dasch W, Mehl A. CAD/CAM Fillings of the future?. *Int Dent J* 1997; 47:247-58.
- Holmes JR, Bayne SC, Holland GA. Considerations in measurement of marginal fit. *J Prosthet Dent* 1989; 62:405- 408.
- Holmes JR, Pilcher ES, Rivers J, Stewart M. Marginal Fit of Electroformed Ceramometal Crowns. *J Prosthodont* 1996; 5:111-4.
- Hung SH, Hung KS, Eick JD, Chappel BP. Marginal fit of porcelain fused-to-metal and two types of ceramic crown. *J Prosthet Dent* 1990; 63:26-31.

I

- Ichikawa Y, Akagawa Y, Nikai H. Tissue compatibility and stability of a new zirconia ceramic in vivo. *J Prosthet Dent* 1992;68:322-6 .252
- Ironside LG. Light transmetting of a ceramic core material used in fixed prosthodontics. *Quintessence dent Technol* 1993; 16:103-106.

J

- Jalalian E, Jannati H, Mirzaei M. Evaluating the effect of a sloping shoulder and a shoulder bevel on the marginal integrity of porcelain-fused-to-metal (PFM) veneer crowns. *J Contemp Dent Pract* 2008; 9:17-24.

- Jeong SM, Ludwig.K, Kern.M. Investigation of the fracture resistance of three type of zirconia post in all-ceramic post and core restorations. *Int J Prosthodont* 2002; 15:154-8.

K

- Kappert HF. Modern metal-ceramic systems with omega 900 [Abstract]. *Zahnarztl Mitt* 1996; 18; 1.
- Kelly JR. Dental ceramics: What is this stuff anyway? *J Am Dent Assoc* 2008; 139:4S-7S.
- Kerschbaum, T. Practical Test of Crowns and Inlays. *Dtsch Zahnaerztl Z*. 1981; 36:243.
- Ki-Baek K, Jae-Hong K, Woong-chul K, Hae-young K, Ji-hwan, K. Evaluation of the Marginal and Internal Gap of Metal Ceramic Crown Fabricated with a Selective Laser Sintering Technology: Two and Three Dimensional Replica Techniques. *J Adv Prosthodont*. 2013; 5:179-86.
- Kianooch TA, Ahmad HA, Leila F. Marginal and Internal Fit of CAD/CAM and Slip-Cast Made Zirconia Copings. *J Dent Res Dent Clin Dent Prospect* 2012; 6 (2):42-48.
- Klaws WB, Burkhard HW, Annette, ES, Kathleen K, Micheal HW. Clinical Fit of Procera AllCeram Crowns. *J Prosthet Dent* 2000; 84:419-24.
- Kobayashi Y, Lee G, Hotta Y, Fujiwara N, Miyazaki T. Measuring accuracy of the shoulder of the crown abutment by using the experimentally developed laser digitizer. *J Showa Univ Dent Soc* 1999; 19:158-62.

- Kobayashi Y, Lee G, Hotta Y, Fujiwara N, Miyazaki T. The effect of proximal teeth on the digitizing accuracy of the shoulder margin of the crown abutment by a laser digitizer equipped in an experimentally developed CAD/CAM device. *J Showa Univ Dent Soc* 2000; 20: 158-64.
- Kohorst P, Brinkmann H, Li J, Borchers L, Stiesch M. Marginal accuracy of four-unit zirconia fixed dental prostheses fabricated using different computeraided design / computer - aided manufacturing systems. *Eur J Oral Sci* 2009 Jun; 117(3):319-25.
- Kohorst P, Brinkmann H, Dittmer MP, Borchers L, Stiesch M. Influence of the veneering process on the marginal fit of zirconia fixed dental prostheses. *J Oral Rehabil* 2010 Apr; 37(4):283-91. Epub 2010 Jan 5.
- Kokubo Y, Tsumita M, Kano T, Sakurai S, Fukushima S. Clinical marginal and internal gaps of zirconia all-ceramic crowns. *J Prosthodont Res* 2011; 55:40-3.
- Komine F, Gerds T, Witkowski S, Strub JR. Influence of Framework Configuration on the Marginal Adaptation of zirconium Dioxide ceramic Anterior Four-Unit Frameworks. *Acta Odontologica Scandinavica* 2005 Nov; 63(6):361-6.
- Koutayas SO, Kern M, All-Ceramic Posts And Cores: The State Of The Art. *Quintessence Int* 1999 ;30: 383-92
- Kurdvk B, Giuseppangelo Fonzi A. Industriala Fabrication Promoter of Porcelain Prosthetics. *J Hist Dent* 1999; 47: 79-82.

L

- Lampe K, Luthy H, M.rmann WH. Fracture load of all ceramic computer crowns CAD/CAM in Aesthetic Dentistry, Cerec 10 Year Anniversary Symposium. Chicago Quintessence 1996:463-82.
- Laurent M, Scheer P, Dejou J, Laborde G. Clinical evaluation of the marginal fit of cast crowns validation of the silicone replica method. Journal of Oral Rehabilitation 2008; 35 (2), 116-122.
- Lothar P, Matrin G. Guide pour la réalization de restauration en céramo-céramique au cabinet dentaire 2006; Juin, Edition 04-07.
- Limkangwalmongkol P, Chiche GJ, Blatz MB. Precision of fit of two margin designs for metal-ceramic crowns.J Prosthodont 2007; 16:233-7.
- Lin MT, Sy Munoz J, Munoz CA, Goodacre CJ, Naylor WP. The effect of tooth preparation form on the fit of procera copings. Int J Prosthodont 1998; 11:580-90.
- Liu PR. A panorama of dental CAD/CAM restorative systems. Compend Contin Educ Dent 2005; 26(7):507-8.

M

- Manappallili JJ. Basic Dental Materiels. 2nd ed, Jaypee Brothers Medical Publishers. New Delhi 2003, p.347-351.
- Manicone PF, Rossi Iommetti P, Raffaelli L, An overview of zirconia ceramics: basic properties and clinical applications. J Dent 2007; 35: 819-26.

- McLean JW. Perspectives of dental ceramics. In: McLean JW,ed. Dental Ceramics. Proceedings of the First International Symposium on Ceramics. Chicago Quintessence Publishing Co.1984:13-40.
- Mclean JW. The science and art of dental ceramic. Chicago Queintenses. 1979; Vol 1.
- McLaren EA. All-Ceramics alternatives to conventional metal-ceramic restorations. Compend Contin Educ Dent 1998; 19(3):307-325 .
- McLaren EA, Giordano RA, Pober R, Abozenada B. Material testing and layering techniques of a new two-phase all-glass veneering porcelain for bonded porcelain and high-alumina frameworks. Quintessence Dent Technol 2003; 26:69-81.
- McLaren EA, Hyo L. CAD/CAM update Technologies and materials and clinical perspectives. Inside Dentistry 2006; 2:98-103.
- Mehl C, Ludwig K, Steiner M, Kern M. Fracture Strength Of Prefabricated All-Ceramic Posterior Inlay-Retained Fixed Dental Prostheses. Dent Mater 2010; 26: 67-75.
- Mitchell CA, Pintado MR, Douglas WH. Nondestructive, in vitro quantification of crown margins. J Prosthet Dent 2001; 85:575-84.
- Mörmann WH, Brandestini M, Lutz F, Barbakow F. Chair side computer-aided direct ceramic inlays. Quintessence Int 1989; 20: 329-39.
- Mörmann WH, Bindle A. All-Ceramic, Chair-Side Computeraided Design Computer-Aided Machining Restorations. Dent Clin N Am 2002;46:405– 426.

- Morris HF. Quantitative and qualitative evaluation of the marginal fit of cast ceramic, porcelain shoulder, and cast metal full crown margins. *J Prosthet Dent* 1992; 67:198-203.
- Murat C, Murat A, Kivanc A. CAD/CAM Zirconia vs. Slip-cast Glassinfiltrated Alumina/Zirconia all-ceramic crowns- 2-year results of a randomized controlled clinical trial. *J Appl Ora Sci* 2009;17(1): 49-55 .

N

- Noack M.J. Adaptation of composite, glass-ceramic, ceramic - inlays *Dtsch Zahnärztl Z* 1994; 49:873-878.
- Noor A, Nawafleh M, Florian M, Jane E, John M, Muhanad MH. Accuracy and Reliability of Methods to Measure Marginal Adaptation of Crowns and FDPs: A Literature Review. *Journal of Prosthodontics* 2013 ; 22: 419–428.

O

- Oruc S, Tulunoglu Y. Fit of titanium and a base metal alloy metal-ceramic crown. *J Prosthet Dent* 2000; 83:314-8.
- Oyague RC, Sanchez-J MI, Sanchez TA. Evaluation of fit of zirconia posterior bridge structures constructed with different scanning methods and preparation angles. *Odontology* 2010; 98(2):170-172.
- Ozkurt Z, Kazazoglu E. Clinical Success Of Zirconia In Dental Applications. *J Prosthodont* 2010; 19: 64-8.

P

- Persson M, Andersson M, Bergman B. The accuracy of a high - precision digitizer for CAD/CAM crowns. *J Prosthet Dent* 1995; 74: 223-9.
- Persson A, Andersson M, Oden A, Englund GS. Athree - dimensional evaluation of a scanner and touch-probe scanner. *J Prosthodont* 2006; 95: 194–200.
- Piconi C, Maccauro G. Zirconia as a ceramic biomaterial. *Biomaterials* 1999;20:1-25.
- Posselt A, Kerschbaum T. Longevity of 2328 chairside Cerec inlays and onlays. *Int J Comput Dent* 2003;6(3):231-48.
- Probster L. Four year clinical study of glass infiltrated, sintered alumina crowns. *J Oral Rehabil* 1996;23:147-151.

Q

- Quintas AF, Oliveira F, Bottino MA. Vertical marginal discrepancy of ceramic copings with different ceramic materials, finish lines, and luting agents: An in vitro evaluation. *J Prosthet Dent* 2004; 92:250-7.

R

- Rahme HY, Tehini GE, Adib SM, Ardo AS, Rifai KT. In vitro evaluation of the "replica technique" in the measurement of the fit of Procera crowns. *Journal of Contemporary Dental Practice* 2008; 9 (2), 25-32.

- Raigrodski Ariel J, chiche GJ. The safety and the efficacy of anterior ceramic fixed partial dentures. A review of the literature J Prosthet.Dent 2001; 86:520-5.
- Raigrodski AJ. Contemporary all-ceramic fixed partial dentures. A review . Dent Clin North Am 2004;48:531-44.
- Rasmussen ST, Ngaji-Okumu W, Boenke K, O'Brien WJ. Optimum particle size distribution for reduced sintering shrinkage of dental porcelain. Dent Mater 1997; 13:43-50.
- Rehberg HJ. Exact marginal accuracy ,what does that mean , Dtsch Zahnärzt Z 1971;26:696-699
- Reich S, Wichmann M, Nkenke E, Proeschel P. Clinical fit of all - ceramic three - unit fixed partial dentures, generated with three different CAD/CAM systems. European Journal of Oral Sciences 2005; 113(2), 174-179.
- Rekow E, Harsono M, Janal M, Thompson V, Zkang G. Factorial analysis of variables influencing stress in all-ceramic crowns. Dent Mater 2006; 22:125-32.
- Rimondini L, Cerroni L, Carrasi A, Torricelli P. Bacterial colonization of zirconia ceramic surface: An in vitro and iv vivo study. Int J Oral Maxillofac Implants 2002; 17:793-8.
- Rosenstiel, Land, Fujimoto. Contemporary fixed prosthodontics, Fourth edition; 2006 Elsevier science.
- Rosentritt M, Sikora M, Behr M, Handel G. Fracture strength and marginal adaptation of all-ceramic FPDs. J Dent Res 85 2006; (Spec Iss B) , Abstract AADR.

S

- Sadoun M, All-Ceramic bridges with the slip cast technique presented at the seventh international symposium on ceramic, 1988 Septemper, Paris.
- Scarano A, Di carlo F, Quaranta M, Piattelli A. Bone response to zirconia ceramic implants : An experimental study in rabbits . J Oral Implant 2003; 29:8-12.
- Scarano A, Piattelli M, Caputi C, Favero GA, Piattelli A. Bacterial adhesion on commercially pure titanium and zirconium oxide disks: An in vivo human study.J Periodontol 2004;75:292-6 .
- Schwartz IS. A review of methods and techniques to improve the fit of cast restorations. J Prosthet Dent 1986; 56: 279-283.
- Scotti R, Catapano S, D'Elia A. A clinical examination of In-Ceram crowns. Int J Prosthodont 1995; 8:320-3.
- Shearer B, Gough MB, Setchell DJ. Influence of the marginal configuration and porcelain addition on the fit of In-Ceram crowns.Biomaterial 1996; 17:1891-5.
- Shillingburg HT, Hobo S, Whitsett LD, Jacobi R, Brackett SE. Fundamental of Fixed Prosthodontics. 3rd ed, Quintessence Publishing, Carol Stream, IL, 1997, p.433, 461.
- Shiratsuchi H, Futoshi K, Yoshiyuki K, Hideo M. Influence of finish line design on marginal adaptation of electroformed metal - ceramic crowns .J Prosthet Dent 2006;95:237-42.
- Sjogren G, Molin M, van Kijken JW. A 10-year prospective evaluation of CAD/CAM-manufactured (Cerec) ceramic inlays cemented with a chemically cured or dual-cured resin composite. Int J Prosthodont 2004; 17:241-6.

- Sorensen JA, Kang SK, Torres TJ, Knodel H. In-Ceram fixed partial dentures: three-year clinical trial results. *J Calif Dent Assoc* 1998; 26(3):207-214.
- Sorensen JA, Knodel H, Torres TJ. In-Ceram All-Ceramic bridges technology. *Quintessence Dent Techol* 1992;15:41-46 .
- Stappert J, Denner N, Gerds T, Strub JR. the marginal adaptation of different types of all-ceramic partial coverage restorations after exposure an artificial mouth , *British dental journal* 2005;199:799-783 .
- Strating H, Pameijer CH, Gildenhuis RR. Evaluation of the marginal integrity of ceramometal restorations. Part I. *J Prosthet Dent* 1981; 46:59-65.
- Studart AR, Filser F, Kocher P, Gauckler LJ. In-Vitro lifetime of dental ceramic under cyclic loading in water. *Biomaterials* 2007; 28:2695-705.
- Sturzenegger B, Feher A, Luthy H, Schumacher M, Loeffel O, Filser F, Kocher P, Gauckler L, Scharer P. [Clinical Study Of Zirconium Oxide Bridges In The Posterior Segments Fabricated With The Dcm System]. *Schweiz Monatsschr Zahnmed* 2000;110: 131-9.
- Suárez MJ, Villaumbrosia PG, Pradíes G, Lozano JF. Comparison of the marginal fit of procera allCeram crowns with two finish lines. *Int J Prosthodont* 2003; 16:229–232.
- Suliman F, Chai J, Jameson LM, Wozeniak WT. A comparsion of the marginal fit of In-Ceram, IPS Empress and Procera crowns. . *Int J Prosthodont* 1997; 10,478.

T

- Thompson JY, Stoner BR, Piascik JR, Smith R. Adhesion/cementation to zirconia and other non-silicate ceramics: where are we now?. Dent Mater 2011; 27:71-82.
- Tinschert J, Natt G, Mautsch W, Augthun M, Spiekermann H. Fracture Resistance Of Lithium Disilicate Alumina And Zirconia Based Three Unit Fixed Partial Dentures: A Laboratory Study. Int J Prosthodont 2001; 14: 231-8.
- Tholey MJ. Product Information VMK95. VITA Zahnfabrik H. Rauter GmbH & Co. KG, Bad Sackingen, July, 2006.
- Tholey MJ. Product Information VitaVM13. VITA Zahnfabrik H. Rauter GmbH & Co. KG, Bad Sackingen, September, 2008.
- Tsumita M, Kokubo Y, Ohkubo C, Sakurai S, Fukushima S. Clinical Evaluation Of Posterior All-Ceramic Fpds (Cercon): A Prospective Clinical Pilot Study. J Prosthodont Res 2010; 54: 102
- Ushiwata, Moraes JV, Bottino MA, Da silva EG. Marginal fit of nickel-chromium copings before and after internal adjustments with duplicated stone dies and disclosing agent. J Prosthet Dent 2000; 83: 634-43.

V

- Vahidi F, Egloff ET, Panno FV. Evaluation of marginal adaptation of all - ceramic crowns and metal ceramic crowns. J prosthet Dent 1991; 66:426-431.

- Van Noort R. Introduction to dental materials. 2nd ed, Elsevier Health Sciences 2002, p. 231-235.
- Vult von Steyern P. All-ceramic fixed partial dentures. Studies on aluminum oxide- and zirconium dioxide-based ceramic systems. *Swed Dent J Suppl* 2005; 173:1-69.
- Vult Von Steyern P, Ebbesson S, Holmgren J, Haag P, Nilner K. Fracture Strength Of Two Oxide Ceramic Crown SystemsAfter Cyclic Pre-Loading And Thermocycling. *J Oral Rehabil* 2006; 33: 682-9.

W

- Wey M. Scientific Documentation IPS d.SIGN. Scientific Service, R&D Ivoclar, Schaan, Liechtenstein. February, 2003.
- Weyns W, De Boever J. Radiographic assessment of the marginal fit of cast restorations. *J Prosthet Dent* 1984; 51:485-9.
- Wettstein F, Sailer I, Roos M, Hammerle CHF. Clinical study of the internal gaps of zirconia and metal frameworks for fixed partial dentures. *European Journal of Oral Sciences* 2008; 116 (3), 272-279.
- Wolfart S, Wegner SM, Al-Halabi A, Kern M. Clinical evaluation of marginal fit of a new experimental all-Ceramic system before and after cementation. *Int J Prosthodont* 2003; 16:587–592.
- Wolfhart R, Stefank, Wolfram W. Processing and properties of Zirconia ceramics for dental applications. *Spectrum dialogue reprint-March* 2008:1-12.

Y

- Yeo IS, Yang JH, Lee JB. In vitro marginal fit of three all-ceramic crown systems. *J Prosthet Dent* 2003; 90:459-464.

Z

- Zitzmann NU, Galindo ML, Hagmann E, Marinello CP. Clinical evaluation of Procera All Ceram crowns in the anterior and posterior regions. *Int J Prosthodont* 2007 May-Jun;20(3):239-41.

- الشعراوي فندي. التعويضات الثابتة (1) 1994,2015. منشورات جامعة دمشق.

الملاعنة

الملخص:

مقدمة :

يرتبط فشل التعويضات الثابتة بضعف انطباقها الحفافي، الأمر الذي يسبب حدوث النخر وتطور المرض حول السن. لذلك لوحظ في الآونة الأخيرة أن السعي كان حيثاً ومتسارعاً لتطوير المواد السنية عموماً، و المواد المستخدمة في التيجان و الجسور خصوصاً لتطوير تقنيات تساعد على تحسين انطباق هذه التعويضات، و نتيجة لهذا التطوير ظهرت بعض الأنظمة الخزفية التي أعادت الثقة بهذا النوع من التعويض و أعطت نتائج مخبرية و سريرية رائعة، كان من أهمها نظام الزيركونيا المصنوع بالطريقة اليدوية (Slip-cast) أو بواسطة الكمبيوتر (CAD\CAM). تبقى تقنية النسخ المضاعف التقنية الأكثر استخداماً لقياس الانطباق الحفافي في الأدب الطبي، ويعتبر المطاط السليكوني الإضافي المطاط الأكثر دقة و الأقل تغيراً بالأبعاد.

هدف البحث :

دراسة لمقارنة الانطباق الحفافي لقبعات الجسور الزيركونيا الخفيفة المصنعة بالتقنية اليدوية (Slip – cast) و بواسطة الكمبيوتر CAD\CAM بدراسةٍ مخبريةٍ و سريريةٍ. مقارنة الدقة والسهولة لتقنيتي النسخ المضاعف المطورة و النسخ المضاعف التقليدية المستخدمة لقياس الانطباق الحفافي للجسور الزركونية المصنعة بطريقة لا CA\CAM.

المواد و الطرائق :

الدراسة المخبرية : بعد إزالة الرحى الأولى السفلية اليمنى من (typodont) تم تحضير الضاحكة الثانية و الرحى الثانية المجاورتين بما يتناسب مع الترميمات الخزفية الكاملة. باستخدام طابع إفرادي أكريلي أخذت طبعة هذا الجسر بالمطاط السيليكوني الإضافي (Zhermack Elite HD⁺) و بطريقة المزيج المتعدد، و تم تصنيع المثال الرئيسي المعدي بـ دك الأملغم السنوي داخل هذه الطبعة. عملت 15 طبعة للمثال الرئيسي المعدي باستخدام 15 طابع إفرادي أكريلي، صُبّت كل طبعة مرتين للحصول على 30 مثلاً جبيساً تم استخدامها لصنع 15 جسراً خزفياً بطريقة CAD\CAM و 15 جسراً خزفياً بطريقة Slip – Cast حسب تعليمات الشركة المصنعة، تم حقن المطاط السيليكوني الإضافي منخفض اللزوجة داخل الجسر، وثبت الجسر على المثال الجبسي تحت ضغط إصبعي لإتمام تصلب المطاط، وبعد معالجة الثخانة المطاطية (rubber thickness)، تم قصّ بطريقة النسخ المضاعف المطورة (developed replica technique)، تم قصّ الثخانة المطاطية للرحى إلى 8 قطع، وللضاحكة إلى 4 قطع متساوية تقريباً، ثم قيست ثناتها بمجهر ضوئي (OLYMPUS OPTICAL CO. LTD, Japan) بتكبير × 10، إذ قيس الانطباق الحفافي لكل مقطع بقياس الفجوة الحفافية المطلقة.

الدراسة المخبرية الثانية: باستخدام الجسور الزركونية الخلفية المصنعة بطريقة لا CAD\CAM و المستخدمة في الدراسة المخبرية السابقة، أخذت رفاقتان مطاطيتان للانطباق الحفافي لكل جسر فوق مثاله الجبسي باستخدام المطاط السيليكوني الإضافي

الرخو، ثم تمت معالجة الرقاقة الأولى بـ تقنية النسخ المضاعف المطورة لتشكل المجموعة A من الدراسة و معالجة الرقاقة الثانية بـ تقنية النسخ المضاعف التقليدية لتشكل المجموعة B من الدراسة. و قيس الانطباق الحفافي بالطريقة السابقة نفسها.

الدراسة السريرية : تكونت عينة الدراسة السريرية من 42 جسراً خلفياً زركونياً طُبّقت عند 39 مريضاً (20 رجلاً و 19 إمرأة تراوحت أعمارهم بين 19-48)، قسمت الجسور بعد تصنيعها حسب تعليمات الشركة المصنعة إلى مجموعتين (كل مجموعة تتكون من 21 جسراً). اُستخدمت تقنية النسخ المضاعف المطورة لدراسة الانطباق الحفافي بقياس الثانة المطاطية بواسطة المجهر الضوئي (COLYMPUS OPTICAL CO. LTD, Japan) بتكبير $\times 10$.

النتائج:

الدراسة المخبرية: متوسط الفجوة الحفافية لجسور CAD/CAM 13,92 ميكروناً، و لجسور Slip-Cast 11.30 ميكروناً. ونتيجة التراسة الاحصائية تبيّن أنَّ قيم مقدار الفجوة الحفافية في مجموعة جسور Slip-Cast أصغر منها في مجموعة CAD/CAM.

الدراسة المخبرية الثانية: كان متوسط الفجوة الحفافية لمجموعة تقنية النسخ المضاعف المعدلة 14.20 ميكروناً، بينما كانت 14.40 ميكروناً في مجموعة تقنية النسخ المضاعف

التقليدية. بينت نتائج اختبار T ستويونت ($P > 0.05$) للعينات المستقلة أنه لا يوجد فروق دالة إحصائياً بين المجموعتين.

الدراسة السريرية: كان متوسط الفجوة الحفافية عند الجسور وفق CAD/CAM 21.17 ميكروناً و عند الجسور وفق Slip-Cast 7.58 ميكروناً. ووفقاً لنتائج اختبار T للعينات المستقلة ($P > 0.05$) و بنتيجة الدراسة الإحصائية تبين أن قيم مقدار الفجوة الحفافية في مجموعة جسور Slip-Cast أصغر منها في مجموعة جسور CAD/CAM.

الاستنتاجات:

الانطباق الحفافي لتقنية Slip-Cast أفضل إحصائياً من تقنية CAD/CAM في الدراسة السريرية والمخبرية. و نستنتج أن تقنية النسخ المضاعف المطورة تقنية موثوقة لدراسة الانطباق الحفافي للتنيجان و الجسور و قياسه، و أنها إحصائياً أكثر دقة من التقنية التقليدية.

كلمات مفتاحية:

الترميمات الخزفية الخالية من المعden، الزيirkونيا، الجسور الزيirkونية، الانطباق الحفافي، طريقة المعلق المائي (Slip-cast)، تقنية التّصميم و التّصنيع بوساطة الكمبيوتر (CAD/CAM).

Abstract:

Background:

The failure of fixed prosthodontics is associated with the weakness of marginal fit, which causes the occurrence of caries and progression of periodontal disease. For this, it was recently noted that there are serious rapid trials to develop dental materials in general, including the materials used in the prosthodontics especially. As a result of this development, some ceramic systems have been appeared, which restored confidence in this type of restoration, and gave a wonderful and practical clinical result. The most important was the system of zirconium made by CAD-CAM technique or manual technique (Slip-cast). Replica technique remains most commonly used technique for measuring the marginal fit in the medical literature, the silicone rubber addition is considered most accurate and least changing dimensions.

Aim of study:

It is to compare marginal fit of Zirconium posteriors bridges manufactured by CAD/CAM and Slip-Cast techniques in clinical and laboratory study. In addition, it is the accuracy and simplicity of modified replica technique and traditional replica technique used to measure marginal fit of zirconium posterior bridges manufactured by CAD\CAM.

Materials and methods:

In-Vitro Study: After removal of first lower molar from TYPODENT (Frasco, Tettnang, Germany), the second lower molar and premolar adjacent were prepared commensurate with full ceramic restoration. Final impression of this bridge was taken by silicone rubber additional (Zhermack Elite HD+) with the aid of custom tray. The impression was condensed with amalgam to make the main metal cast. Fifteen custom acrylic resin trays were used for fabricate fifteen impressions of main metal cast. Each impression was poured twice to got 30 gypsum cast, that were used for manufactured 15 zirconium bridges by CAD\CAM technique and 15 zirconium bridges by slip-cast technique according to the manufacturer's instructions. The silicone rubber addition low viscosity was injected inside the bridge, and the bridge was put on its gypsum cast and was fixed under the figure pressure still the rubber was taken. The rubber thickness was treated by developed replica technique. The rubber thickness of the molar was divided to 8 sections and the premolar was divided to 4 sections. The marginal fit was evaluated by measuring this rubber thickness by used the optical microscope (OLYMPUS OPTICAL CO. LTD, Japan). The marginal fit for each section has assessed by measuring the absolute marginal discrepancy.

In-Vitro Study 2 : Fifteen custom acrylic resin trays were used for fabricate fifteen impressions of the same main metal cast, these impressions were used for fabricate 15 zirconium bridges by CAD\CAM technique According to the manufacturer's instructions. Tow rubber thicknesses were taken for the marginal fit of each bridge

over its cast gypsum by used light silicone rubber additional. Then the first rubber thickness was treated by developed replica technique to form the Group (A) of the study and the second rubber thickness was treated by replica technique to form the group (B) of the study. The marginal fit was evaluated by the same previous methods.

In-Vivo Study: The sample consists of 42 posterior zirconium bridges were fitted in 39 patients (20 male and 19 female range: 19 - 48). The bridges have been divided after manufacturing according to the manufacturing techniques (In-ceram Zirconia , CAD\CAM) in the two groups (each group consist of 21 bridges). Developed replica technique was used in study the marginal fit by measuring the rubber thickness by optical microscope (OLYMPUS OPTICAL CO. LTD, Japan).

Result:

In vitro study: the marginal fit for CAD/CAM groups was 13.92μ and 11.30μ for Slip-Cast techniques. Depending on T-test, the marginal fit for Slip-Cast technique was less than CAD/CAM technique.

In vitro study 2: the marginal fit for group of developed replica technique was 14.20μ , therefore, marginal fit for group of traditional replica technique was 14.40 . Depending on T-test ($P > 0.05$), no significant difference between two techniques was detected.

In vivo study: the marginal fit for CAD/CAM groups was 21.17μ and 17.58μ for Slip-Cast techniques.

Conclusion:

The marginal fit of Slip-Cast techniques was significantly better than CAD/CAM techniques in vitro and vivo study. And we conclude that developed replica technique reliable technique to study and measure the marginal gap of bridge and crown, and it is statistically more accurate than the traditional technique.

Keywords:

Free metal restorations, Zirconium, Zirconia FDP, Marginal Fit, Slip-cast, CAD\CAM.

الملاحق

الاستماراة الخاصة بالبحث

..... العنوان : اسم المريض :

..... الهاتف : العمر :

..... المهنة : الجنس :

الفحص السريري :

• حالة الدعامات :

مستأصل اللب	السن حي	تطاول	ميلان	سحل	طبيعية	رقم الداعمة

• حالة اللثة و الأنسجة الداعمة :

آفة ذروية	امتصاص جذور	جيوب لثوية	انحسار لثوي	التهاب لثوي	طبيعية	رقم الداعمة

• العناية الفموية : ممتازة جيدة متوسطة سيئ

• دليل اللوحة الجرثومية :

٣. تراكم متوسط من اللوحة

١. لا يوجد لوحة

٤. تراكم كثيف من اللوحة

٢. تراكم معتدل من اللوحة

1	2	3	4	5	6	7	8	9	10	11	12	13	14	15	16	17	18	19																	
1 H هيدروجين الوزن المداري 1.008	2 ذري رمز الاسم المداري	3 C صلب	4 Hg سائل	5 H غاز	6 Li لليوم الوزن المداري 6.94	7 Be وطيف الوزن المداري 9.012	8 Rf غير معروف	9 Sc فلز	10 V فلزات قلوية	11 Na صوديوم الوزن المداري 22.987...	12 Mg مشغف الوزن المداري 24.315	13 Ti فلز	14 Cr كروم الوزن المداري 51.996	15 Mn مختصر الوزن المداري 54.938	16 Fe حديد الوزن المداري 55.85	17 Co كوبالت الوزن المداري 58.933	18 Ni نikel الوزن المداري 58.933	19 Cu نickel الوزن المداري 63.546	20 Zn زنك الوزن المداري 65.458	21 Ga غالوم الوزن المداري 69.713	22 Ge جرمانيوم الوزن المداري 72.613	23 As زرنيخ الوزن المداري 75.911	24 Se سيلين الوزن المداري 78.913	25 Br بروم الوزن المداري 79.904	26 Kr كريون الوزن المداري 83.818										
27 K وتشي الوزن المداري 39.093	28 Ca كلسي الوزن المداري 40.078	29 Sc سكلفيون الوزن المداري 44.955	30 Ti فلز	31 V فلز	32 Cr كروم الوزن المداري 50.915	33 Mn مختصر الوزن المداري 55.938	34 Fe حديد الوزن المداري 55.85	35 Co كوبالت الوزن المداري 58.933	36 Ni نikel الوزن المداري 58.933	37 Cu نickel الوزن المداري 63.546	38 Zn زنك الوزن المداري 65.458	39 Ga غالوم الوزن المداري 69.713	40 Ge جرمانيوم الوزن المداري 72.613	41 As زرنيخ الوزن المداري 75.911	42 Se سيلين الوزن المداري 78.913	43 Br بروم الوزن المداري 79.904	44 Kr كريون الوزن المداري 83.818	45 Rb روبتنيوم الوزن المداري 85.47	46 Sr سوريون الوزن المداري 87.62	47 Y يورانيوم الوزن المداري 88.902	48 Zr زيركونيوم الوزن المداري 91.272	49 Nb نباليون الوزن المداري 92.927	50 Mo مولبديون الوزن المداري 95.90	51 Tc تكالون الوزن المداري 97.90	52 Ru روبيون الوزن المداري 101.00	53 Rh روبيون الوزن المداري 102.90	54 Pd روبيون الوزن المداري 106.92	55 Ag فضة الوزن المداري 107.887	56 Cd كالميون الوزن المداري 113.811	57 In فلز	58 Sn فلز	59 Sb فلز	60 Te فلز	61 I فلز	62 Xe فلز
63 Cs ستراتون الوزن المداري 132.905...	64 Ba طربون الوزن المداري 137.329	65 Hf هافنديون الوزن المداري 178.919	66 Ta تالليون الوزن المداري 180.978	67 W وولفانيون الوزن المداري 183.918	68 Re ريزونيون الوزن المداري 185.927	69 Os أوزونيون الوزن المداري 190.927	70 Ir إيرانيون الوزن المداري 192.927	71 Pt بولتيون الوزن المداري 190.956	72 Au ذهب الوزن المداري 196.967...	73 Hg ثالثون الوزن المداري 200.959	74 Tl ثالثون الوزن المداري 204.938	75 Pb روليون الوزن المداري 207.2	76 Bi باليون الوزن المداري 208.983	77 Po باليون الوزن المداري 210.911	78 At أكتينون الوزن المداري 221.0	79 Rn داراون الوزن المداري 222.0	80 Fr فلبيون الوزن المداري 223.0	81 Ra داراون الوزن المداري 225.0	82 Rf فلبيون الوزن المداري 227.0	83 Db داراون الوزن المداري 228.0	84 Sg سيربيون الوزن المداري 229.0	85 Bh باليون الوزن المداري 229.0	86 Hs هالبيون الوزن المداري 229.0	87 Mt موربيون الوزن المداري 229.0	88 Ds داراون الوزن المداري 229.0	89 Rg داراون الوزن المداري 229.0	90 Cn كوكسيون الوزن المداري 229.0	91 Uut فلبيون الوزن المداري 229.0	92 Fl فلبيون الوزن المداري 229.0	93 Uup فلبيون الوزن المداري 229.0	94 Lv فلبيون الوزن المداري 229.0	95 Uus فلبيون الوزن المداري 229.0	96 Lu فلبيون الوزن المداري 229.0		
97 La لاكتون الوزن المداري 138.905	98 Ce سيربيون الوزن المداري 140.116	99 Pr موربيون الوزن المداري 140.976	100 Nd سيربيون الوزن المداري 140.976	101 Pm سيربيون الوزن المداري 141.926	102 Sm سيربيون الوزن المداري 150.36	103 Eu سيربيون الوزن المداري 151.926	104 Gd سيربيون الوزن المداري 157.926	105 Tb سيربيون الوزن المداري 158.926	106 Dy سيربيون الوزن المداري 162.926	107 Ho سيربيون الوزن المداري 164.926	108 Er سيربيون الوزن المداري 167.926	109 Tm سيربيون الوزن المداري 168.926	110 Yb سيربيون الوزن المداري 170.926	111 Lu سيربيون الوزن المداري 170.926	112 Ac فلبيون الوزن المداري 227.0	113 Th فلبيون الوزن المداري 232.0	114 Pa فلبيون الوزن المداري 231.028	115 U فلبيون الوزن المداري 231.028	116 Np فلبيون الوزن المداري 231.028	117 Pu فلبيون الوزن المداري 239.028	118 Am فلبيون الوزن المداري 243.028	119 Cm فلبيون الوزن المداري 243.028	120 Bk فلبيون الوزن المداري 247.028	121 Cf فلبيون الوزن المداري 251.028	122 Es فلبيون الوزن المداري 251.028	123 Fm فلبيون الوزن المداري 257.028	124 Md فلبيون الوزن المداري 258.028	125 No فلبيون الوزن المداري 259.028	126 Lr فلبيون الوزن المداري 261.028						

بالنسبة للعناصر التي ليس لها نظائر متوازنة، الرقم الكافي للنظير مع أطول نصف عمر يكون بين فوسفين

آخر تحديث ٢٠١٤/٩/٢٠ جدول دوري حقوق حفظ الواجهة والتصميم © 1997 Michael Dayah, Ptable.com

La لاكتون الوزن المداري 138.905	Ce سيربيون الوزن المداري 140.116	Pr موربيون الوزن المداري 140.976	Nd سيربيون الوزن المداري 140.976	Pm سيربيون الوزن المداري 141.926	Sm سيربيون الوزن المداري 150.36	Eu سيربيون الوزن المداري 151.926	Gd سيربيون الوزن المداري 157.926	Tb سيربيون الوزن المداري 158.926	Dy سيربيون الوزن المداري 162.926	Ho سيربيون الوزن المداري 164.926	Er سيربيون الوزن المداري 167.926	Tm سيربيون الوزن المداري 168.926	Yb سيربيون الوزن المداري 170.926	Lu سيربيون الوزن المداري 170.926	Ac فلبيون الوزن المداري 227.0	Th فلبيون الوزن المداري 232.0	Pa فلبيون الوزن المداري 231.028	U فلبيون الوزن المداري 231.028	Np فلبيون الوزن المداري 231.028	Pu فلبيون الوزن المداري 239.028	Am فلبيون الوزن المداري 243.028	Cm فلبيون الوزن المداري 243.028	Bk فلبيون الوزن المداري 247.028	Cf فلبيون الوزن المداري 251.028	Es فلبيون الوزن المداري 251.028	Fm فلبيون الوزن المداري 257.028	Md فلبيون الوزن المداري 258.028	No فلبيون الوزن المداري 259.028	Lr فلبيون الوزن المداري 261.028
------------------------------------	-------------------------------------	-------------------------------------	-------------------------------------	-------------------------------------	------------------------------------	-------------------------------------	-------------------------------------	-------------------------------------	-------------------------------------	-------------------------------------	-------------------------------------	-------------------------------------	-------------------------------------	-------------------------------------	----------------------------------	----------------------------------	------------------------------------	-----------------------------------	------------------------------------	------------------------------------	------------------------------------	------------------------------------	------------------------------------	------------------------------------	------------------------------------	------------------------------------	------------------------------------	------------------------------------	------------------------------------

بيانات التفصيلية لعينة البحث

بيانات التفصيلية لعينة البحث

البيانات التفصيلية لعينة البحث

رقم الجسر	الدراسة	المجموعة المدرستة	الجسر																				أعداد الجسر
			الجسر-١	الجسر-٢	الجسر-٣	الجسر-٤	الجسر-٥	الجسر-٦	الجسر-٧	الجسر-٨	الجسر-٩	الجسر-١٠	الجسر-١١	الجسر-١٢	الجسر-١٣	الجسر-١٤	الجسر-١٥	الجسر-١٦	الجسر-١٧	الجسر-١٨	الجسر-١٩	الجسر-٢٠	الجسر-٢١
20	19.42	22	18.125	21	22	16	29	16	19	18	20	25	16	16	15	C-C-٢٠-	الجسر	CAD/CAM	مجموعة جسور CAD/CAM	دراسة السريرية	معتمد	71	
28	17.73	16.67	18.125	18	17	15	12	21	11	16	24	21	22	18	C-C-٢١-	الجسر	CAD/CAM	مجموعة جسور CAD/CAM	دراسة السريرية	معتمد	72		
	16.08	21.25	13.5	20	20	25	20	15	10	8	10	20	20	20	5	L-C-١-	الجسر	CAD/CAM	دراسة المقارنة بين طرقين CAD/CAM بالطريقة المعدلة	دراسة المقارنة بين طرقين CAD/CAM بالطريقة المعدلة	معتمد	73	
10	8.92	8.75	9	7	3	15	10	20	15	7	5	5	5	5	10	L-C-٢-	الجسر	CAD/CAM	مجموعة جسور CAD/CAM	دراسة المقارنة بين طرقين CAD/CAM بالطريقة المعدلة	معتمد	74	
18	19.50	23	17.75	27	25	20	20	12	25	25	25	20	15	10	10	L-C-٣-	الجسر	CAD/CAM	مجموعة جسور CAD/CAM	دراسة المقارنة بين طرقين CAD/CAM بالطريقة المعدلة	معتمد	75	
15	15.91	15	16.429	20	15	15	10	15	20	20	20	20	20	10	10	L-C-٤-	الجسر	CAD/CAM	مجموعة جسور CAD/CAM	دراسة المقارنة بين طرقين CAD/CAM بالطريقة المعدلة	معتمد	76	
10	13.08	17	11.125	27	15	6	20	12	12	7	11	14	12	10	11	L-C-٥-	الجسر	CAD/CAM	مجموعة جسور CAD/CAM	دراسة المقارنة بين طرقين CAD/CAM بالطريقة المعدلة	معتمد	77	
	19.71	15	23.25	25	10		10	28		15	25			25		L-C-٦-	الجسر	CAD/CAM	مجموعة جسور CAD/CAM	دراسة المقارنة بين طرقين CAD/CAM بالطريقة المعدلة	معتمد	78	
10	10.91	14	9.75	10	10		22	14	10	8	10	15	10	6	5	L-C-٧-	الجسر	CAD/CAM	مجموعة جسور CAD/CAM	دراسة المقارنة بين طرقين CAD/CAM بالطريقة المعدلة	معتمد	79	
15	11.75	10.5	12.375	12	10	10	20	10	10	13	20	7	10	9	L-C-٨-	الجسر	CAD/CAM	مجموعة جسور CAD/CAM	دراسة المقارنة بين طرقين CAD/CAM بالطريقة المعدلة	معتمد	80		
15	15.08	16.25	14.5	15	25	20	5	17	10	25	19	15	15	5	10	L-C-٩-	الجسر	CAD/CAM	مجموعة جسور CAD/CAM	دراسة المقارنة بين طرقين CAD/CAM بالطريقة المعدلة	معتمد	81	
21	12.83	9.5	14.5	8	4	17	9	25	20	10	18	10	8	10	15	L-C-١٠-	الجسر	CAD/CAM	مجموعة جسور CAD/CAM	دراسة المقارنة بين طرقين CAD/CAM بالطريقة المعدلة	معتمد	82	
10	14.08	11.75	15.25	10	20	7	10	10	12	25	20	20	20	7	8	L-C-١١-	الجسر	CAD/CAM	مجموعة جسور CAD/CAM	دراسة المقارنة بين طرقين CAD/CAM بالطريقة المعدلة	معتمد	83	
10	11.00	8	12.5	10	6	5	11	15	10	10	10	12	25	10	8	L-C-١٢-	الجسر	CAD/CAM	مجموعة جسور CAD/CAM	دراسة المقارنة بين طرقين CAD/CAM بالطريقة المعدلة	معتمد	84	
17	13.75	14.25	13.5	11	20	20	6	17	15	20	11	20	10	10	5	L-C-١٣-	الجسر	CAD/CAM	مجموعة جسور CAD/CAM	دراسة المقارنة بين طرقين CAD/CAM بالطريقة المعدلة	معتمد	85	
5	11.42	14.25	10	15	5	22	15	10	20	10	10	5	10	5	10	L-C-١٤-	الجسر	CAD/CAM	مجموعة جسور CAD/CAM	دراسة المقارنة بين طرقين CAD/CAM بالطريقة المعدلة	معتمد	86	
10	11.92	15.25	10.25	20	11	20	10	10	20	5	10	5	15	7	10	L-C-١٥-	الجسر	CAD/CAM	مجموعة جسور CAD/CAM	دراسة المقارنة بين طرقين CAD/CAM بالطريقة المعدلة	معتمد	87	
15	15.75	12.5	19	19	6		22							16	L2-C-٢-	الجسر	CAD/CAM	مجموعة جسور CAD/CAM	دراسة المقارنة بين طرقين CAD/CAM بالطريقة التقليدية	مشكوك فيه	73		
15	18.63	16.25	21	25	15	5	20	15	25	25				19		L2-C-٢-	الجسر	CAD/CAM	مجموعة جسور CAD/CAM	دراسة المقارنة بين طرقين CAD/CAM بالطريقة التقليدية	معتمد	74	
14	13.27	12	14	9	20	10	9	11	17	21	20	11	9	9	9	L2-C-٣-	الجسر	CAD/CAM	مجموعة جسور CAD/CAM	دراسة المقارنة بين طرقين CAD/CAM بالطريقة التقليدية	معتمد	75	
13.92	12.5	14.625	6	16	17	11	15	15	17	20	15	19	10	6	6	L2-C-٤-	الجسر	CAD/CAM	مجموعة جسور CAD/CAM	دراسة المقارنة بين طرقين CAD/CAM بالطريقة التقليدية	معتمد	76	
21	14.00	12.5	14.75	10	15	20	5	20	20	13	20	20	10	10	5	L2-C-٥-	الجسر	CAD/CAM	مجموعة جسور CAD/CAM	دراسة المقارنة بين طرقين CAD/CAM بالطريقة التقليدية	معتمد	77	
20	9.00	9	9	5	12	14	5	5	5	17	5	10	14	11	5	L2-C-٦-	الجسر	CAD/CAM	مجموعة جسور CAD/CAM	دراسة المقارنة بين طرقين CAD/CAM بالطريقة التقليدية	معتمد	78	
15	9.75	12.25	8.5	20	9	15	5	5	10	12	11	5	10	10	5	L2-C-٧-	الجسر	CAD/CAM	مجموعة جسور CAD/CAM	دراسة المقارنة بين طرقين CAD/CAM بالطريقة التقليدية	معتمد	79	
17	11.58	7.5	13.625	10	10	5	5	10	9	20	19	16	20	10	5	L2-C-٨-	الجسر	CAD/CAM	مجموعة جسور CAD/CAM	دراسة المقارنة بين طرقين CAD/CAM بالطريقة التقليدية	معتمد	80	
15	13.67	11.25	14.875	5	15	18	7	5	20	18	15	25	20	10	6	L2-C-٩-	الجسر	CAD/CAM	مجموعة جسور CAD/CAM	دراسة المقارنة بين طرقين CAD/CAM بالطريقة التقليدية	معتمد	81	
18	7.25	7.75	7	5	10	11	5	5	7	13	7	5	9	5	5	L2-C-١٠-	الجسر	CAD/CAM	مجموعة جسور CAD/CAM	دراسة المقارنة بين طرقين CAD/CAM بالطريقة التقليدية	معتمد	82	
20	11.92	9	13.375	10	10	6	5	10	20	17	15	25	10	5	5	L2-C-١١-	الجسر	CAD/CAM	مجموعة جسور CAD/CAM	دراسة المقارنة بين طرقين CAD/CAM بالطريقة التقليدية	معتمد	83	
16	14.25	10.25	16.25	5	10	16	10	5	20	17	8	20	12	25	23	L2-C-١٢-	الجسر	CAD/CAM	مجموعة جسور CAD/CAM	دراسة المقارنة بين طرقين CAD/CAM بالطريقة التقليدية	معتمد	84	
23	17.00	15.67	18.333	17		25	5	20					25	10	L2-C-١٣-	الجسر	CAD/CAM	مجموعة جسور CAD/CAM	دراسة المقارنة بين طرقين CAD/CAM بالطريقة التقليدية	مشكوك فيه	85		
20	8.75	7	9.625	5	5	13	5	7	7	10	11	7	15	15	5	L2-C-١٤-	الجسر	CAD/CAM	مجموعة جسور CAD/CAM	دراسة المقارنة بين طرقين CAD/CAM بالطريقة التقليدية	معتمد	86	
12	13.82	11.25	15.286	10	10	20	5	11	16	17	20	20	11	12	L2-C-١٥-	الجسر	CAD/CAM	مجموعة جسور CAD/CAM	دراسة المقارنة بين طرقين CAD/CAM بالطريقة التقليدية	معتمد	87		

البيانات التفصيلية لعينة البحث

رقم الجسر	اعتند المجرد	الدراسة	المجموعة المدارسة
1	معتمد	الدراسة المخبرية	مجموعة جسور Slip-Casting
2	معتمد	الدراسة المخبرية	مجموعة جسور Slip-Casting
3	معتمد	الدراسة المخبرية	مجموعة جسور Slip-Casting
4	معتمد	الدراسة المخبرية	مجموعة جسور Slip-Casting
5	معتمد	الدراسة المخبرية	مجموعة جسور Slip-Casting
6	معتمد	الدراسة المخبرية	مجموعة جسور Slip-Casting
7	معتمد	الدراسة المخبرية	مجموعة جسور Slip-Casting
8	معتمد	الدراسة المخبرية	مجموعة جسور Slip-Casting
9	معتمد	الدراسة المخبرية	مجموعة جسور Slip-Casting
10	معتمد	الدراسة المخبرية	مجموعة جسور Slip-Casting
11	معتمد	الدراسة المخبرية	مجموعة جسور Slip-Casting
12	معتمد	الدراسة المخبرية	مجموعة جسور Slip-Casting
13	معتمد	الدراسة المخبرية	مجموعة جسور Slip-Casting
14	معتمد	الدراسة المخبرية	مجموعة جسور Slip-Casting
15	معتمد	الدراسة المخبرية	مجموعة جسور Slip-Casting
16	معتمد	الدراسة المخبرية	مجموعة جسور CAD/CAM
17	معتمد	الدراسة المخبرية	مجموعة جسور CAD/CAM
18	معتمد	الدراسة المخبرية	مجموعة جسور CAD/CAM
19	معتمد	الدراسة المخبرية	مجموعة جسور CAD/CAM
20	معتمد	الدراسة المخبرية	مجموعة جسور CAD/CAM
21	معتمد	الدراسة المخبرية	مجموعة جسور CAD/CAM
22	معتمد	الدراسة المخبرية	مجموعة جسور CAD/CAM
23	معتمد	الدراسة المخبرية	مجموعة جسور CAD/CAM
24	معتمد	الدراسة المخبرية	مجموعة جسور CAD/CAM
25	معتمد	الدراسة المخبرية	مجموعة جسور CAD/CAM
26	معتمد	الدراسة المخبرية	مجموعة جسور CAD/CAM
27	معتمد	الدراسة المخبرية	مجموعة جسور CAD/CAM
28	معتمد	الدراسة المخبرية	مجموعة جسور CAD/CAM
29	معتمد	الدراسة المخبرية	مجموعة جسور CAD/CAM
30	معتمد	الدراسة المخبرية	مجموعة جسور CAD/CAM
31	معتمد	الدراسة السريرية	مجموعة جسور Slip-Casting
32	معتمد	الدراسة السريرية	مجموعة جسور Slip-Casting
33	معتمد	الدراسة السريرية	مجموعة جسور Slip-Casting
34	معتمد	الدراسة السريرية	مجموعة جسور Slip-Casting
35	معتمد	الدراسة السريرية	مجموعة جسور Slip-Casting

البيانات التفصيلية لعينة البحث

المجموعة المدارسة															رقم الجسر	أعتقد المصدر	الدراسة
مقدار الفجوة الحفافية (بالميكرون) عند أعمق نقطه في الجسر عموماً	نقطة عند الضاحك (بالميكرون) عند أعمق																
12.09	13.00	11.75	6		25	8	6	12	7	14	22	15	11	Slip-Casting	الدراسة السريرية	معتمد	36
20.50	20.00	20.714	20	20		20	15	25	20		25	20	20	Slip-Casting	الدراسة السريرية	معتمد	37
16.56	15.00	16.75	15			22	16	15	15	22	14	15	Slip-Casting	الدراسة السريرية	معتمد	38	
21.78	22.00	21.6	20	28	18	22	20	22		26			22	Slip-Casting	الدراسة السريرية	معتمد	39
20.00	23.75	18.125	23	22	24	26	18	17	10	16	18	22	22	Slip-Casting	الدراسة السريرية	معتمد	40
21.64	19.25	23	24	16	23	14	24	26	12	22	26	22		Slip-Casting	الدراسة السريرية	معتمد	41
21.40	22.75	20.5	26	26	22	17	22		23	12	23	21		Slip-Casting	الدراسة السريرية	معتمد	42
19.80	23.67	18.143	27	24		20	19	20	20	20	20	15		Slip-Casting	الدراسة السريرية	معتمد	43
17.17	16.50	17.5	20	12	19	15	20	18	12	16	21	20	22	Slip-Casting	الدراسة السريرية	معتمد	44
17.08	17.50	16.875	22	15	11	22	22	15	10	13	15	22	20	Slip-Casting	الدراسة السريرية	معتمد	45
19.30	19.00	19.5	27	20	18	11	22		27		15	21	19	Slip-Casting	الدراسة السريرية	معتمد	46
21.00	25.00	20	22	28			23	23	12	20	20	19	28	Slip-Casting	الدراسة السريرية	معتمد	47
24.00		24							28	20				Slip-Casting	الدراسة السريرية	معتمد	48
24.83	22.33	27.333		28	18	21			27			28		Slip-Casting	الدراسة السريرية	معتمد	49
20.00	22.50	18.75	19	24	27	20	19	20	17	22	19	20	15	Slip-Casting	الدراسة السريرية	معتمد	50
22.17	23.25	21.625	21	23	23	26	18	22	19	22	20	22	24	Slip-Casting	الدراسة السريرية	معتمد	51
17.00	22.50	6		27		18					6			CAD/CAM	الدراسة السريرية	معتمد	52
23.45	21.33	24.25	21	29	14		27	16	27	22	24	27	27	مجموعة جسور CAD/CAM	الدراسة السريرية	معتمد	53
22.00	20.00	23.143	26	20	24	10	18	24	22		20	28	28	CAD/CAM	الدراسة السريرية	معتمد	54
24.56	20.00	25.125				20	22	22	20	28	28	23	29	CAD/CAM	الدراسة السريرية	معتمد	55
20.60	19.50	21.333	20	17	20	21	15	27		15		25	18	CAD/CAM	الدراسة السريرية	معتمد	56
20.67	19.00	21.5	22	16	18	20	20	21	28	21	21	23	15	CAD/CAM	الدراسة السريرية	معتمد	57
21.90	23.50	20.833	24	16	25	29	23		15	19	19	22		CAD/CAM	الدراسة السريرية	معتمد	58
22.00	21.67	22.5	26	16		23	20						25	CAD/CAM	الدراسة السريرية	معتمد	59
22.71	21.50	24.333	23	22	22	19	23			22			28	CAD/CAM	الدراسة السريرية	معتمد	60
20.25	19.75	20.5	20	18	21	20	20	20	21	20	23	20	18	CAD/CAM	الدراسة السريرية	معتمد	61
19.29	20.00	19.167	20					16	14	21	14	28		CAD/CAM	الدراسة السريرية	معتمد	62
26.50	26.00	27				25	27			28				CAD/CAM	الدراسة السريرية	معتمد	63
23.20	25.67	19.5		29	29	19		16	23					CAD/CAM	الدراسة السريرية	معتمد	64
24.67	24.00	25		20	26	26	28	28	22	22	28	22		CAD/CAM	الدراسة السريرية	معتمد	65
20.71	22.67	19.25	20	28		20	16	20	27	14				CAD/CAM	الدراسة السريرية	معتمد	66
13.45	12.25	14.143	12	12	15	10	12		11	16	16	11	9	CAD/CAM	الدراسة السريرية	معتمد	67
17.83	15.00	23.5	18	14	14	14	29	18						CAD/CAM	الدراسة السريرية	معتمد	68
23.33	22.75	23.8	25	21	22	23			28	24	27	18	22	CAD/CAM	الدراسة السريرية	معتمد	69
21.09	19.50	22	22	24	14	18	23		29	26	28	13	24	CAD/CAM	الدراسة السريرية	معتمد	70

بيانات التفصيلية لعينة البحث



قبول نشر بحث

طالب دراسات عليا

الرقم: ١٥٩٩

التاريخ ٢٠١٤ / ٦ / ٨٨

Maher قصبة

إلى طالب الدراسات العليا

كلية : طب الأسنان

نود إعلامكم بقبول بحثكم الموسوم:

جامعة : دمشق

دراسة سريرية للإنطباق الحفافي لطريقي صنع الجسور الزيركونية

Slip - Casting و CAD \ CAM

لعام 2014 م

للنشر في مجلة جامعة البعث بالمجلد 36

بالمشاركة مع السيد الدكتور: إياد سويد

بعد أن تم تحكيمه من قبل مختصين.

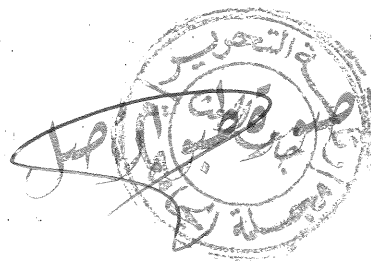
نشكر لكم هذه المساهمة الطيبة ونتطلع إلى استمرار تواصلكم مع مجلتنا ومدتها بما لديكم من جديد
والاطلاع على الأبحاث المنشورة في المجلة على موقع المجلة والرابط المدونين في أسفل الصفحة .

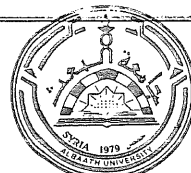
magazine @ albaath-univ.edu.sy

www.albaath-univ.edu.sy

رئيس تحرير مجلة جامعة البعث للعلوم الطبية
في الهندسة والأساسية والتطبيقية

د. محمد حداد





قبون نشر بحث
طالب دراسات عليا

الرقم: ٦٣٦

التاريخ ٢٠١٤ / ١٠ / ٢٠

Maher قصبة إلى طالب الدراسات العليا

جامعة: دمشق

كلية: طب الأسنان

نود إعلامكم بقبول بحثكم الموسوم:

دراسة مخبرية لمقارنة تفتيت النسخ المضاعف و النسخ المضاعف المطورة
المستخدمة لقياس الإنطباق الحفافي للجسور الزيركونية الخلفية CAD\CAM

لعام 2014م 36 للنشر في مجلة جامعة البحث بالمجلد

بالمشاركة مع السيد الدكتور: إيمان سويد

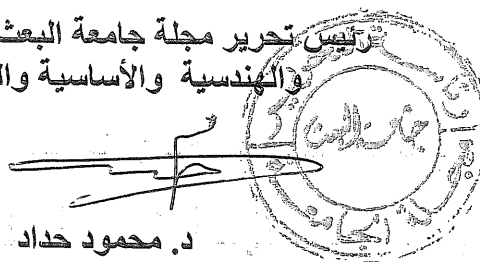
بعد أن تم تحكيمه من قبل مختصين.

نشكر لكم هذه المساهمة الطيبة ونطلع إلى استمرار تواصلكم مع مجلتنا ومدتها بما لديكم من جديد
والاطلاع على الأبحاث المنشورة في المجلة على موقع المجلة والرابط المدونين في أسفل الصفحة.

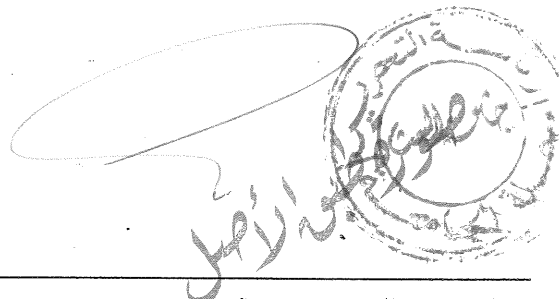
والرابط magazine @ albaath-univ.edu.sy

موقع الجامعة www.albaath-univ.edu.sy

من تأسيس تحرير مجلة جامعة البحث للعلوم الطبية
واليهندسية والأساسية والتطبيقية



Dr. Mahmoud Haddad



Syrian Arab Republic

Tishreen University

Tishreen University Journal
for Research and Scientific Studies

Refereed Scientific Journal

Established 1978

Lattakia - SYRIA



الجمهورية العربية السورية

جامعة تشرين

مجلة جامعة تشرين

للحوث والدراسات العلمية

مجلة علمية محكمة - تأسست عام 1978

اللاذقية - سوريا

الرقم: ٤٢ / ٣ م ج

التاريخ: ٢٠١٥ / ١ / ١٣ م.

السيد الدكتور إياد سويد - أستاذ مساعد - كلية طب الأسنان - جامعة دمشق.

السيد ماهر قصبة - طالبة دكتوراه - كلية طب الأسنان - جامعة دمشق.

يسرنا إعلامكم أنه تمّت الموافقة على نشر بحثكم المحكم المقدم للنشر في مجلة جامعة تشرين
للحوث والدراسات العلمية بتاريخ 2014/11/2 وهو بعنوان:

دراسة مخبرية للإنطباق الحفافي لطريقي صنع الجسور

الزيركونية Slip-Casting و CADICAM

في سلسلة العلوم الصحية (ISSN: 2079-309X) في المجلد (37) العدد (1) لعام 2015 من مجلة
جامعة تشرين لبحوث والدراسات العلمية.

شكراً لاختياركم مجلتنا لنشر بحثكم، وتقضوا بقبول وافر التقدير

رئيس تحرير مجلة جامعة تشرين

لبحوث والدراسات العلمية

عصام محمد الدالي



أمين تحرير مجلة جامعة تشرين

لبحوث والدراسات العلمية

د. أمير درويش تفيحة

